

Diseño e Implementación de un Medidor de Energía Trifásica para Sistemas Eléctricos no Lineales.

**German Andres Sanchez Motta
Kevin Fabian Carrillo Carrillo**

Universidad Santo Tomas
Facultad de Ingeniería Electrónica
Bogotá, Colombia
2020

Diseño e Implementación de un Medidor de Energía Trifásica para Sistemas Eléctricos no Lineales.

German Andres Sanchez Motta
Kevin Fabian Carrillo Carrillo

Monografía de proyecto de grado para optar al título de:
Ingeniero Electrónico

Director:
Ing. Edwin Francisco Forero Garcia, M.Sc.

Universidad Santo Tomas
Facultad de Ingeniería Electrónica
Bogotá, Colombia
2020

Dedicatoria

Principalmente a Dios y después a nuestros padres, quienes fueron de gran ayuda y confianza incondicional en esta trayectoria de formación personal y profesional.

Agradecimientos

Este proyecto ha sido realizado bajo el acompañamiento y dirección de el ingeniero Edwin Francisco Forero Garcia, M.Sc, por habernos brindado su tiempo, conocimientos, paciencia, le expresamos nuestro más sincero agradecimiento por hacer posible la realización de este proyecto.

A nuestros padres por habernos forjado como las personas que somos en la actualidad; muchos de nuestros logros se los debemos a ustedes en los que se incluye este. Clara Ines Motta Almario, German Sanchez Pinto, Nelly Faviola Carrillo Carrillo, William Marquez Carrillo Rey.

A nuestras parejas, amigos y colegas, por ayudarnos en este proceso, por aportar algún comentario y crítica a nuestro proyecto, por darnos motivación para culminar este proceso y por los momentos compartidos en espacios académicos y sociales. Julieth Garzon, David Ortiz, Sergio Zambrano, Nicolas Ramirez y Mateo Rojas.

A nuestros docentes, quienes desde el primer día que empezamos este proceso nos brindaron sus conocimientos y tiempo para ayudarnos a crecer como personas y profesionales.

GRACIAS

Contenido

Dedicatoria	3
Agradecimientos	5
Lista de Figuras	9
Lista de tablas	13
Lista de Símbolos y Abreviaciones	14
1. Introducción	17
2. Justificación	19
3. Objetivos	20
3.1. Objetivo General	20
3.2. Objetivos Específicos	20
4. Marco teórico	21
4.1. Factor de potencia y distorsión de la onda.	21
4.2. Distorsión armónica total (THD) y valor RMS de la corriente distorsionada .	22
4.3. Definiciones del STD IEEE 1459 para la medición de calidad energética bajo condiciones balanceadas y des balanceadas	24
4.3.1. Mono-fase	24
4.3.2. Mono-fase no sinusoidal	28
4.3.3. Ejemplo monofásico	31
4.3.4. Sistema trifásico sinusoidal balanceado	34
4.3.5. Sistema trifásico sinusoidal no balanceada	35
4.4. Ejercicio Práctico	39
4.4.1. Análisis de datos obtenidos de tres cargas no lineales	39
4.5. Desarrollo de Software	46
4.5.1. Programación Orientada a Objetos	47
4.5.2. Desarrollo Web	47
4.5.3. Frontend	47
4.5.4. Backend	47
4.5.5. REST	47

4.6. Fourier	48
4.6.1. Transformada de Fourier	48
4.6.2. Teorema de muestreo de Nyquist-Shannon	48
4.6.3. Transformada rápida de Fourier (FFT)	48
4.7. Convertidores ADC	49
4.8. Internet de las cosas	49
4.8.1. Raspberry pi 4	49
5. Desarrollo y ejecución del proyecto	51
5.1. Arquitectura del proyecto	51
5.2. Fase de integración	52
5.2.1. EVM430-F6779-3 Phase Electronic Watt-Hour EVM	52
5.2.2. EVAL-ADE 7978	53
5.2.3. 78M6631 3-Phase PowerMeasurement IC	54
5.3. Desarrollo del Hardware	55
5.3.1. Configuración inicial	55
5.3.2. Caracterización de la resistencia Shunt	57
5.3.3. Conversión de voltaje	64
5.3.4. Conversión de corriente	66
5.4. Desarrollo de Software	74
5.4.1. Implementación del protocolo I2C entre la raspberry y el ADE7978	74
5.4.2. Backend Solución en c++	77
5.4.3. Backend Configuración del servidor	79
5.4.4. Backend Solución con Node.js	81
5.4.5. Frontend Solución en Angular	81
6. Resultados del proyecto	86
6.1. Primer Prueba	86
6.2. Segunda Prueba	89
6.2.1. Análisis en el ciclo heavy	91
6.2.2. Análisis en el ciclo regular	95
6.2.3. Análisis en el ciclo super wash	99
6.2.4. Análisis en el ciclo centrifugado	104
6.2.5. Análisis en el ciclo rinse	108
6.2.6. Análisis en el ciclo llenado	112
6.3. Tercer Prueba	117
6.3.1. Resultados de la prueba	118

<i>Contenido</i>	<i>Contenido</i>
<hr/>	
7. Conclusiones	123
8. Trabajo Futuro	126
Bibliografía	127
A. Anexo: Certificación de software de la raspberry	129
B. Anexo: Certificación de software del servicio web(API)	132
C. Anexo: Certificación de software de la página web	134

Listado de Figuras

4-1. Circuito RL	21
4-2. Señal de corriente con distorsión: (a) Fase de la corriente y su componente fundamental; (b) Componente de distorsión	22
4-3. Cuatro cuadrantes de las direcciones del flujo de potencia	27
4-4. Potencias aparentes aritméticas y vectoriales	38
4-5. Voltaje RMS	40
4-6. Clasificación, denominación y valores tensión nominal	41
4-7. Corriente RMS	43
4-8. Porcentaje de THD_V	44
4-9. Porcentaje de THD_I	44
4-10. Límites de distorsión de corriente para sistemas de distribución general	46
5-1. Arquitectura del proyecto	51
5-2. Tarjeta EVM430-F6779-3	53
5-3. Tarjeta EVAL-ADE7978	53
5-4. Tarjeta 78M6631-EVM-DSL	54
5-5. Esquema de conexión para una distribución en Y, 3 fases, 4 hilos.	56
5-6. ADE 7978 configurado con las resistencias Shunt	57
5-7. Esquema caracterización de las resistencias Shunt	58
5-8. Caracterización ShuntA	60
5-9. Caracterización ShuntB	62
5-10. Caracterización ShuntC	64
5-11. Divisor de voltaje ADC	66
5-12. Salida de voltaje del ADE 7978	66
5-13. Circuito de protección para los pines IP e IM	67
5-14. Nodos aplicados al circuito	67
5-15. Relacion ADC corriente	72
5-16. Conexión I2C	74
5-17. Protocolo de escritura I2C	75
5-18. Protocolo de lectura I2C	75
5-19. Descarga de Node JS	82
5-20. Creación de proyecto en Angular	82
5-21. Levantar servidor local en Angular	83
5-22. Creación de componentes en Angular	84

5-23. Componentes home y navbar	85
5-24. Componentes graphic y dashboard	85
6-1. Corriente Tarjeta vs Corriente Multímetro	88
6-2. Cargas utilizadas en la primera prueba	89
6-3. Esquema de conexión utilizado en la primera prueba	89
6-4. Carga utilizada en la segunda prueba	90
6-5. Esquema de conexión utilizado en la segunda prueba	90
6-6. AIRMS, AFIRMS Y AIHRMS-CAL VS DATETIME EN EL CICLO HEAVY	91
6-7. AVHRMS Y APF VS DATETIME EN EL CICLO HEAVY	91
6-8. AITHD Y AVTHD VS DATETIME EN EL CICLO HEAVY	91
6-9. APF1-CAL Y AWATT VS DATETIME EN EL CICLO HEAVY	92
6-10. AP1-CAL Y APH-CAL VS DATETIME EN EL CICLO HEAVY	92
6-11. AVAR Y AVA VS DATETIME EN EL CICLO HEAVY	92
6-12. ASH-CAL Y AS1-CAL VS DATETIME EN EL CICLO HEAVY	93
6-13. ASN-CAL Y ADI-CAL VS DATETIME EN EL CICLO HEAVY	93
6-14. ADV-CAL Y ADH-CAL VS DATETIME EN EL CICLO HEAVY	93
6-15. AN-CAL Y NIRMS VS DATETIME EN EL CICLO HEAVY	94
6-16. AFVARHR Y AFWATTHR VS DATETIME EN EL CICLO HEAVY	94
6-17. AVAHR Y AVARHR VS DATETIME EN EL CICLO HEAVY	94
6-18. AWATTHR VS DATETIME EN EL CICLO HEAVY	95
6-19. AIRMS, AFIRMS Y AIHRMS-CAL VS DATETIME EN EL CICLO REGULAR	95
6-20. AVHRMS Y APF VS DATETIME EN EL CICLO REGULAR	95
6-21. AITHD Y AVTHD VS DATETIME EN EL CICLO REGULAR	96
6-22. APF1-CAL Y AWATT VS DATETIME EN EL CICLO REGULAR	96
6-23. AP1-CAL Y APH-CAL VS DATETIME EN EL CICLO REGULAR	96
6-24. AVAR Y AVA VS DATETIME EN EL CICLO REGULAR	97
6-25. ASH-CAL Y AS1-CAL VS DATETIME EN EL CICLO REGULAR	97
6-26. ASN-CAL Y ADI-CAL VS DATETIME EN EL CICLO REGULAR	97
6-27. ADV-CAL Y ADH-CAL VS DATETIME EN EL CICLO REGULAR	98
6-28. AN-CAL Y NIRMS VS DATETIME EN EL CICLO REGULAR	98
6-29. AFVARHR Y AFWATTHR VS DATETIME EN EL CICLO REGULAR	98
6-30. AVAHR Y AVARHR VS DATETIME EN EL CICLO REGULAR	99
6-31. AWATTHR VS DATETIME EN EL CICLO REGULAR	99
6-32. AIRMS, AFIRMS Y AIHRMS-CAL VS DATETIME EN EL CICLO SUPER WASH	99
6-33. AVHRMS Y APF VS DATETIME EN EL CICLO SUPER WASH	100

6-34. AITHD Y AVTHD VS DATETIME EN EL CICLO SUPER WASH	100
6-35. APF1-CAL Y AWATT VS DATETIME EN EL CICLO SUPER WASH	100
6-36. AP1-CAL Y APH-CAL VS DATETIME EN EL CICLO SUPER WASH	101
6-37. AVAR Y AVA VS DATETIME EN EL CICLO SUPER WASH	101
6-38. ASH-CAL Y AS1-CAL VS DATETIME EN EL CICLO SUPER WASH	101
6-39. ASN-CAL Y ADI-CAL VS DATETIME EN EL CICLO SUPER WASH	102
6-40. ADV-CAL Y ADH-CAL VS DATETIME EN EL CICLO SUPER WASH	102
6-41. AN-CAL Y NIRMS VS DATETIME EN EL CICLO SUPER WASH	102
6-42. AFVARHR Y AFWATTHR VS DATETIME EN EL CICLO SUPER WASH	103
6-43. AVAHR Y AVARHR VS DATETIME EN EL CICLO SUPER WASH	103
6-44. AWATTHR VS DATETIME EN EL CICLO SUPER WASH	103
6-45. AIRMS, AFIRMS Y AIHRMS-CAL VS DATETIME EN EL CICLO CEN- TRIFUGADO	104
6-46. AVHRMS Y APF VS DATETIME EN EL CICLO CENTRIFUGADO	104
6-47. AITHD Y AVTHD VS DATETIME EN EL CICLO CENTRIFUGADO	104
6-48. APF1-CAL Y AWATT VS DATETIME EN EL CICLO CENTRIFUGADO	105
6-49. AP1-CAL Y APH-CAL VS DATETIME EN EL CICLO CENTRIFUGADO	105
6-50. AVAR Y AVA VS DATETIME EN EL CICLO CENTRIFUGADO	105
6-51. ASH-CAL Y AS1-CAL VS DATETIME EN EL CICLO CENTRIFUGADO	106
6-52. ASN-CAL Y ADI-CAL VS DATETIME EN EL CICLO CENTRIFUGADO	106
6-53. ADV-CAL Y ADH-CAL VS DATETIME EN EL CICLO CENTRIFUGADO	106
6-54. AN-CAL Y NIRMS VS DATETIME EN EL CICLO CENTRIFUGADO	107
6-55. AFVARHR Y AFWATTHR VS DATETIME EN EL CICLO CENTRIFU- GADO	107
6-56. AVAHR Y AVARHR VS DATETIME EN EL CICLO CENTRIFUGADO	107
6-57. AWATTHR VS DATETIME EN EL CICLO CENTRIFUGADO	108
6-58. AIRMS, AFIRMS Y AIHRMS-CAL VS DATETIME EN EL CICLO RINSE	108
6-59. AVHRMS Y APF VS DATETIME EN EL CICLO RINSE	108
6-60. AITHD Y AVTHD VS DATETIME EN EL CICLO RINSE	109
6-61. APF1-CAL Y AWATT VS DATETIME EN EL CICLO RINSE	109
6-62. AP1-CAL Y APH-CAL VS DATETIME EN EL CICLO RINSE	109
6-63. AVAR Y AVA VS DATETIME EN EL CICLO RINSE	110
6-64. ASH-CAL Y AS1-CAL VS DATETIME EN EL CICLO RINSE	110
6-65. ASN-CAL Y ADI-CAL VS DATETIME EN EL CICLO RINSE	110
6-66. ADV-CAL Y ADH-CAL VS DATETIME EN EL CICLO RINSE	111
6-67. AN-CAL Y NIRMS VS DATETIME EN EL CICLO RINSE	111
6-68. AFVARHR Y AFWATTHR VS DATETIME EN EL CICLO RINSE	111
6-69. AVAHR Y AVARHR VS DATETIME EN EL CICLO RINSE	112

6-70. AWATTHR VS DATETIME EN EL CICLO RINSE	112
6-71. AIRMS, AFIRMS Y AIHRMS-CAL VS DATETIME EN EL CICLO LLENADO	112
6-72. AVHRMS Y APF VS DATETIME EN EL CICLO LLENADO	113
6-73. AITHD Y AVTHD VS DATETIME EN EL CICLO LLENADO	113
6-74. APF1-CAL Y AWATT VS DATETIME EN EL CICLO LLENADO	113
6-75. AP1-CAL Y APH-CAL VS DATETIME EN EL CICLO LLENADO	114
6-76. AVAR Y AVA VS DATETIME EN EL CICLO LLENADO	114
6-77. ASH-CAL Y AS1-CAL VS DATETIME EN EL CICLO LLENADO	114
6-78. ASN-CAL Y ADI-CAL VS DATETIME EN EL CICLO LLENADO	115
6-79. ADV-CAL Y ADH-CAL VS DATETIME EN EL CICLO LLENADO	115
6-80. AN-CAL Y NIRMS VS DATETIME EN EL CICLO LLENADO	115
6-81. AFVARHR Y AFWATTHR VS DATETIME EN EL CICLO LLENADO	116
6-82. AVAHR Y AVARHR VS DATETIME EN EL CICLO LLENADO	116
6-83. AWATTHR VS DATETIME EN EL CICLO LLENADO	116
6-84. Cargas utilizadas en la tercera prueba	117
6-85. Esquema de conexión utilizado en la tercera prueba	118
6-86. CORRIENTE RMS Y CORRIENTE FUNDAMENTAL	118
6-87. CORRIENTE ARMÓNICA Y DISTORSIÓN ARMÓNICA DE CORRIENTE	119
6-88. VOLTAJE RMS Y VOLTAJE FUNDAMENTAL	119
6-89. VOLTAJE ARMÓNICA Y DISTORSIÓN ARMÓNICA DE VOLTAJE	120
6-90. FACTOR DE POTENCIA TOTAL Y FACTOR DE POTENCIA FUNDAMENTAL	120
6-91. POTENCIA APARENTE TOTAL Y POTENCIA APARENTE FUNDAMENTAL	121
6-92. POTENCIA APARENTE ARMÓNICA Y ÁNGULO DE DESFASE ENTRE FASES	121
6-93. POTENCIA ACTIVA TOTAL Y POTENCIA ACTIVA ARMÓNICA	122
6-94. DISTORSIÓN DE POTENCIA (VAR) EN CORRIENTE Y VOLTAJE	122
6-95. CORRIENTE RMS EN NEUTRO Y POTENCIA (VAR) NO ACTIVA	122
A-1. Certificación de software raspberry	131
B-1. Certificación de software del servicio web	133
C-1. Certificación de software de la página web	136

Lista de Tablas

4-1.	Datos de caracterización de frecuencia	40
4-2.	Tabla de rangos máximos y mínimos de VRMS	42
4-3.	Datos de caracterización de corriente	42
4-4.	Distorsión armónica en corriente y voltaje	43
4-5.	TDD de corrientes	46
5-1.	Corriente vs Voltaje en la resistencia shunt A	59
5-2.	Corriente vs Voltaje en la resistencia shunt B	61
5-3.	Corriente vs Voltaje en la resistencia shunt C	63
6-1.	Resultados de la prueba N° 1	87

Lista de Símbolos y Abreviaciones

V	Voltaje Rms total
V_1	Voltaje Rms de los componentes de frecuencia
V_H	Voltaje Rms término restante
I	Corriente Rms total
I_1	Corriente Rms de los componentes de frecuencia
I_H	Corriente Rms término restante
THD_V	Distorsión armónica total en voltaje
THD_I	Distorsión armónica total en corriente
THD_{eV}	Distorsión armónica total en voltaje efectivo
THD_{eI}	Distorsión armónica total en corriente efectiva
V_a	Voltaje en la línea A
V_b	Voltaje en la línea B
V_c	Voltaje en la línea C
V_{ll}	Voltaje línea a línea
V_{ab}	Voltaje entre línea A a línea B
V_{bc}	Voltaje entre línea B a línea C
V_{ca}	Voltaje entre línea C a línea A
I_a	Corriente en la línea A
I_b	Corriente en la línea B
I_c	Corriente en la línea C
I_E	Corriente efectiva
I_{E1}	Corriente efectiva fundamental
I_{EH}	Corriente efectiva armónica
V_E	Voltaje efectivo
V_{E1}	Voltaje efectivo fundamental

0 Lista de Símbolos y Abreviaciones

V_{EH}	Voltaje efectivo armónico
P	Potencia activa total
P_1	Potencia activa fundamental
P_H	Potencia armónica activa (Potencia activa no fundamental)
Q	Potencia reactiva total
Q_1	Potencia reactiva fundamental
Q_H	Potencia reactiva armónica
S	Potencia aparente total
S_1	Potencia aparente fundamental
S_H	Potencia aparente armónica (Potencia aparente no fundamental)
S_N	Potencia aparente no fundamental
S_A	Potencia aparente aritmética
S_V	Potencia aparente vectorial
S_E	Potencia aparente efectiva
S_{E1}	Potencia aparente efectiva fundamental
S_{EH}	Potencia aparente efectiva
S_{EN}	Potencia aparente no fundamental efectiva
S_U	Potencia desbalanceada
D_I	Distorsión de potencia en corriente
D_V	Distorsión de potencia en voltaje
D_H	Potencia de distorsión armónica
D_{EI}	Distorsión de potencia en corriente efectiva
D_{EV}	Distorsión de potencia en voltaje efectivo
D_{EH}	Potencia de distorsión armónica efectiva
N	Potencia no activa
P_{F1}	Factor de potencia fundamental
P_{Fe}	Factor de potencia efectivo

PF	Factor de potencia
VA	Potencia aparente
WATT	Potencia activa
VAR	Potencia reactiva
WATTHR	Potencia activa hora
VARHR	Potencia reactiva hora
VAHR	Potencia aparente hora
CAL	Dato calculado

1. Introducción

El presente proyecto se refiere al diseño e implementación de un medidor en energía trifásica para sistemas eléctricos no lineales, debido a que los medidores eléctricos actuales están diseñados en su hardware y software para leer el consumo eléctrico, con el problema que estos medidores no tienen en cuenta las perturbaciones que tiene la carga en voltaje y corriente, ya que la mayoría de dispositivos eléctricos que tenemos, no son lineales y la onda fundamental del consumo de estos, no es ideal, es decir que existen perturbaciones en la onda, pero los medidores no las tienen en cuenta, como lo afirma el artículo de evaluación de rendimiento de medidores de energía en ambientes no sinusoidales basados en el estandar IEEE 1459 [1]

La característica principal de este tipo de medidores, es que fueron diseñados asumiendo que tanto el voltaje como la corriente eran sinusoidal y no se contempló la existencia de cargas desbalanceadas y las perturbaciones que estas le generan a la red eléctrica de 60Hz como lo menciona Andrew J Berrisfold en el proyecto del impacto armónico [2]. Dado esto, las empresas de energía no están realizando un tarificación correcta del KW/h por mes a los hogares, residencias, industrias, etc... Por lo tanto se queda en incertidumbre si la factura que se paga mensual, es mayor o menor de lo que se debería cancelar.

Para analizar la problemática es necesario mencionar sus causas. Una de ellas es la evolución de la tecnología. Últimamente la tecnología ha avanzado en gran magnitud y esto permite que muchos errores humanos son fácilmente corregidos por la tecnología, debido a este avance, ya se es posible diseñar un medidor que lea las distorsiones armónicas presentes en la onda, con el fin de que entregue el valor exacto de su consumo.

La investigación a esta problemática en el ámbito social y económico, nos permite dar una posible solución al decrecimiento en la economía que ha tenido Colombia en los últimos años, ya que si se logra realizar un medidor para cargas no lineales y si se demuestra que el consumo en dinero es menor, sería un ahorro que los colombianos podrían tener y solventar en una escala mediana la crisis económica que se está viviendo Colombia en distintos sectores de la economía.

Desde el enfoque académico, se quiere promover el uso nuevas tecnologías por medio de la investigación, para así lograr descomponer la onda por medio de los coeficientes de Fourier y así poder analizarla con sus distorsiones. Así mismo, nos interesamos por aportar nuevos descubrimientos o conclusiones a la academia que puedan servir de ayuda para otros proyectos.

En el marco de la instrumentación industrial, este proyecto se realiza seleccionando el tipo de tarjeta de desarrollo a utilizar para la medida de señales trifásicas, después de tener los instrumentos necesarios, implementar el sistema de medición, en donde a partir de sus coeficientes de Fourier de voltaje y corriente, se aplica el std IEEE 1459 del 2010, que se basa en la medición de energía en sistemas monofásicos y trifásicos con cargas desbalanceadas con sus respectivas fórmulas. Una vez obtenidos los resultados, se realizará un cuadro de comparación con otros medidores para determinar un porcentaje de error y garantizar los resultados obtenidos. Finalmente corroborados los datos, por medio de una página web se visualiza el valor exacto de consumo mensual a las empresas de energía.

2. Justificación

La economía es un factor que domina a todo el mundo, en el caso de Colombia, se busca lograr el ahorro o mejoramiento de este, por medio del medidor de energía que se plantea en este proyecto; dado las circunstancias, se plantea obtener el valor total de la energía consumida por la población y dar un valor exacto en la factura del consumo de energía, esto debido a que el consumo que se registra se realiza con medidores lineales a sistemas de cargas no lineales, por lo tanto, las pérdidas a la red no se contemplan y hace que en ocasiones el consumidor tenga que pagar por energía que no ha consumido o viceversa.

El estándar de medición IEEE 1459 del 2010, mejora la forma de medición de las cargas que se encuentran en una condición desbalanceada o no lineal que se refleja en la industria y en el hogar. Esto motiva a realizar estudios del mejoramiento y el uso de la energía eléctrica con el fin de mantener y preservar las fuentes hidroeléctricas que tiene Colombia y así crear un mejor impacto ambiental.

Al tener valores más exactos sobre el consumo de energía eléctrica en los hogares y en la industria, se puede generar una cultura social con buenos hábitos de consumo eléctrico, creando conciencia de la cantidad de energía que se está desperdiciando en labores cotidianas.

Actualmente en los sectores comerciales no existen medidores que consideren los armónicos presentes en la señales de energía, por esta razón, es viable implementar un medidor que los considere en su medición, ya que éste tendría una alta demanda en el mercado.

Se requiere fortalecer los conceptos de potencias energéticas y adquirir nuevos conocimientos acerca de educación energética, con el fin de que el medidor propuesto, procese y analice señales con ondas no sinusoidales y cargas desbalanceadas. Dicho esto, se crean oportunidades de implementar herramientas como smart grids o redes inteligentes, donde la energía se pueda generar de otras fuentes y la medición siga siendo precisa y exacta.

3. Objetivos

3.1. Objetivo General

Implementar un medidor de energía trifásica para sistemas eléctricos no lineales basados en la norma IEEE STD 1459 del 2010 para el manejo de cargas desbalanceadas y ondas no sinusoidales.

3.2. Objetivos Específicos

- Determinar los parámetros matemáticos y electrónicos a considerar para el diseño propuesto de acuerdo con el estándar IEEE 1459-2010.
- Diseñar el sistema electrónico y digital para el sistema de medida propuesto, junto con un software que realice el tratamiento digital de las señales requeridas.
- Implementar el medidor diseñado con la arquitectura y software desarrollado.
- Desarrollar un banco y conjunto de pruebas para comparar los resultados del CIRCUITOR y el AEMC 45b y verificar la trazabilidad del sistema implementado.

4. Marco teórico

4.1. Factor de potencia y distorsión de la onda.

Las distorsiones presentes en la onda se interpretan como ruido eléctrico. Estas distorsiones es la sobre posición de señales en múltiplos de la frecuencia fundamental. Los armónicos se encuentran en equipos principales generadores de armónicos que efectúan circuitos de rectificación como por ejemplo computadores, televisores, microondas; etc. [3]
Como un caso base, se considera una carga lineal R-L mostrado en la figura 4-1 alimentado por medio de una fuente sinusoidal en estado estable. Usando valores rms para las magnitudes de voltaje y corriente, la potencia suministrada por la fuente es:[4]

$$P = V_s I_s \cos\phi \quad (4-1)$$

El factor de potencia (FP), se conoce como la analogía entre la potencia real media P y el producto de la tensión y corriente rms:

$$PF = \frac{P}{V_s I_s} = \cos\phi \quad (\text{Usando 4-1}) \quad (4-2)$$

Y por lo tanto, la corriente rms es:

$$I = \frac{P}{V_s PF} \quad (\text{Usando 4-2}) \quad (4-3)$$

Esto demuestra que el PF y la corriente I_s son inversamente proporcional.

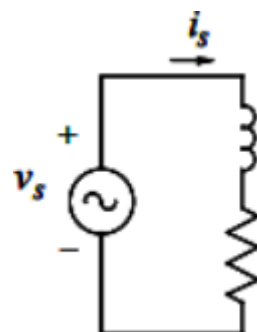


Figura 4-1.: Circuito RL

4.2. Distorsión armónica total (THD) y valor RMS de la corriente distorsionada

Una señal de corriente sinusoidal para una carga lineal como en la figura 4-1, no tiene distorsión, sin embargo, hay señales de corrientes que su forma de onda es distorsionada, esto se debe a que el proceso de rectificar la corriente alterna en corriente directa, transforma la señal haciéndola no sinusoidal, es decir la onda se distorsiona. [4] Un ejemplo de una señal con distorsión se puede ver en 4-2 en donde i_s es la señal de corriente distorsionada y $V_s(t)$ es sinusoidal. El análisis se aplica a la utilidad de suministros ya sean en monofásico o trifásico, en donde el estudio se realiza por fases.

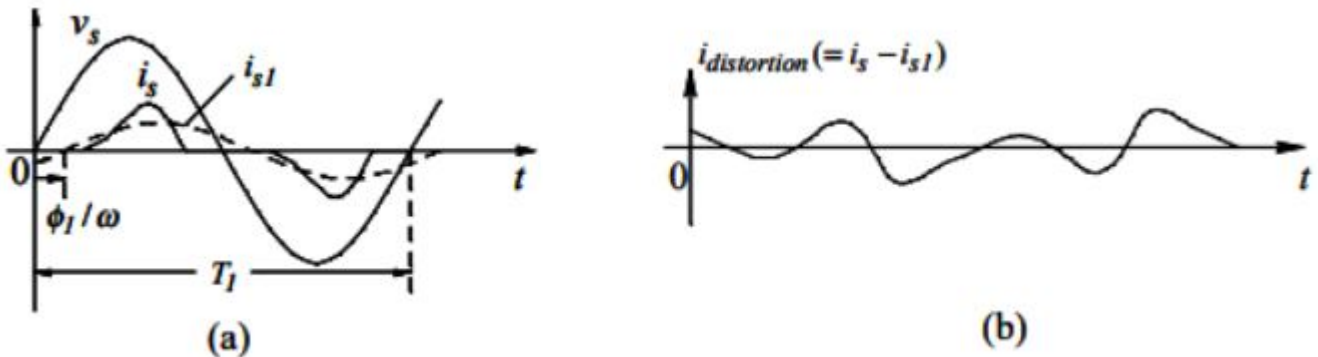


Figura 4-2.: Señal de corriente con distorsión: (a) Fase de la corriente y su componente fundamental; (b) Componente de distorsión

[4]

La onda periódica de la corriente $i_s(t)$, se puede expresar en componentes de Fourier:

$$i_s(t) = i_{s1}(t) + \sum_{h=2}^{\infty} i_{sh}(t) \quad (4-4)$$

Donde:

$$\sum_{h=2}^{\infty} i_{sh}(t) = i_{distortion}(t)$$

El componente dc se asume como cero e i_s es la componente fundamental mostrada en la figura 4-2(a). Partiendo de la ecuación 4-4 la componente de distorsión en la corriente es la diferencia entre $i_s(t)$ y su componente de frecuencia fundamental:[4]

$$i_{distortion}(t) = i_s(t) - i_{s1}(t) \quad (4-5)$$

En una forma de onda con su frecuencia de línea f_1 y su tiempo de periodo $T_1 (= \frac{1}{f_1})$, los componentes en la expresión de 4-5 son en los múltiplos de h en la frecuencia fundamental, como por ejemplo, el 3^{er} armónico ($h = 3$) está en 180Hz con un sistema de 60Hz.[4]

Un concepto básico que se usa es que en una forma de onda repetitiva, la integral de el producto de dos componentes armónicos (incluyendo la fundamental) en frecuencias desiguales sobre repeticiones del tiempo de periodo es igual a cero: [4]

$$\int_{T_1} f_{h1}(t) \cdot g_{h2}(t) \cdot dt = 0 \quad (4-6)$$

Donde:

$$h1 \neq h2$$

Con el fin de obtener el valor rms de $i_s(t)$ en la figura 4-2(a), se aplica el concepto básico de rms:

$$I_s = \sqrt{\frac{1}{T_1} \int_{T_1} (i_s)^2(t) \cdot dt} \quad (4-7)$$

Donde, de la ecuación 4-4

$$i_s^2 = (i_{s1} + (\sum_{h=2}^{\infty} i_{sh})^2 = i_{s1}^2 + \sum_{h=2}^{\infty} i_{sh}^2 + \text{productos en términos de frecuencia de cruce} \quad (4-8)$$

Sustituyendo la ecuación 4-8 en la ecuación 4-7, con el concepto visto en la ecuación 4-6, cada integral de las frecuencias cruzadas es igual a cero,

$$I_s = \sqrt{\frac{1}{T_1} \int_{T_1} i_{s1}^2(t) \cdot dt + \sum_{h=2}^{\infty} \frac{1}{T_1} \int_{T_1} i_{sh}^2(t) \cdot dt} \quad (4-9)$$

Donde:

$$\frac{1}{T_1} \int_{T_1} i_{s1}^2(t) \cdot dt = I_{s1}^2$$

$$\sum_{h=2}^{\infty} \frac{1}{T_1} \int_{T_1} i_{sh}^2(t) \cdot dt = I_{distortion}^2$$

Por lo tanto,

$$I_s = \sqrt{I_{s1}^2 + I_{distortion}^2} \quad (4-10)$$

Donde los valores rms del componente de la frecuencia fundamental y los componentes de distorsión son los siguientes:

$$I_{s1} = \sqrt{\frac{1}{T} \int_{T_1} i_{s1}^2(t) \cdot dt} \quad (4-11)$$

y

$$I_{distortion} = \sqrt{\sum_{h=2}^{\infty} \left(\frac{1}{T_1} \int_{T_1} i_{sh}^2(t) \cdot dt \right)} = \sqrt{\sum_{h=2} I_{sh}^2} \quad (4-12)$$

La ecuación descrita anteriormente, presenta que el valor rms de la componente de distorsión en la figura 4-2 puede ser obtenido de los valores de las componentes individuales de los armónicos.[4]

Tomando como referencia los valores rms de los componentes de la distorsión y la fundamental en la corriente $i_s(t)$, un índice de distorsión llamado Distorsión Armónica Total (THD) es definida en porcentaje y este mismo puede ser presentado en distintas formas bajo las siguientes ecuaciones:

$$\%THD = 100 * \frac{I_{distortion}}{I_{s1}} = 100 * \frac{\sqrt{I_s^2 - I_{s1}^2}}{I_{s1}} = 100 * \frac{\sqrt{\sum_{h=2}^{\infty} I_{sh}^2}}{I_{s1}} \quad (4-13)$$

4.3. Definiciones del STD IEEE 1459 para la medición de calidad energética bajo condiciones balanceadas y des balanceadas

4.3.1. Mono-fase

Mono-fase sinusoidal

Se parte de una entrada de tipo sinusoidal:

$$v = \sqrt{2}V \sin(\omega t) \quad (4-14)$$

Y si a esta, se le conecta una carga lineal, se producirá una corriente sinusoidal de tipo:

$$i\sqrt{2}I \sin(\omega t - \theta) \quad (4-15)$$

Donde:

V es el valor rms de el voltaje (V)

I es el valor rms de el voltaje (*I*)

ω es la frecuencia angular $2\pi f(\text{rad/s})$

f es la frecuencia del sistema (Hz)

θ es el ángulo de fase entre el voltaje y la corriente (rad)

t es el tiempo (s)

Potencia activa(W)

La potencia activa P o también conocida como potencia real, es la medición del flujo de energía durante un intervalo de tiempo τ a $\tau + KT$. [5]

$$P = \frac{1}{KT} \int_{\tau}^{\tau+KT} pdt = \frac{1}{KT} \int_{\tau}^{\tau+KT} p_a dt \quad (4-16)$$

Donde:

$T = 1/f$ es el ciclo de tiempo (s)

k es un número entero positivo (*s*)

τ es el momento cuando empieza la medición (s)

$$P = VI\cos\theta$$

Potencia Reactiva (var)

La magnitud de la potencia reactiva Q iguala la amplitud de la potencia reactiva instantánea P_a .[5]

$$Q = VI \sin \theta \quad (4-17)$$

$$Q = \frac{\omega}{KT} \int_{\tau}^{\tau+KT} i \left[\int v dt \right] dt \quad (4-18)$$

Sí la carga es inductiva, entonces $Q > 0$. Sí la carga es capacitiva, entonces $Q < 0$. Por lo tanto, cuando la corriente atrasa el voltaje $\theta > 0$ y viceversa.

Potencia Aparente (VA)

La potencia aparente S es el producto del voltaje rms y corriente rms.[5]

$$S = VI \quad (4-19)$$

$$S = \sqrt{P^2 + Q^2}$$

La potencia aparente de una carga monofásica se puede interpretar como la potencia activa total que se puede transmitir a través de la misma línea mientras se mantiene el voltaje rms constante de la carga y a línea de alimentación de pérdida de potencia constante.[5]

Factor de potencia

$$PF = \frac{P}{S} \quad (4-20)$$

El factor de potencia se puede interpretar como el radio entre la energía transmitida a la carga sobre la energía máxima que podría transmitirse, siempre y cuando las pérdidas de línea se mantengan iguales.[5]

Para un S y V dados, la utilización máxima de la línea es obtenida cuando $P = S$, por lo tanto, el radio P/S es un indicador de factor de utilización.[5]

Potencia Compleja (VA)

La potencia compleja es una cantidad la cual la potencia activa es la parte real y la potencia reactiva es la parte imaginaria.[5]

$$S = P + jQ = VI^* \quad (4-21)$$

Esta expresión proviene del triángulo de potencias S, P Y Q . En la figura 4-3 se observa un resumen de las direcciones del flujo de potencia. El ángulo θ es el ángulo de fase de la impedancia equivalente compleja $Z/\theta = V/I$.[5]

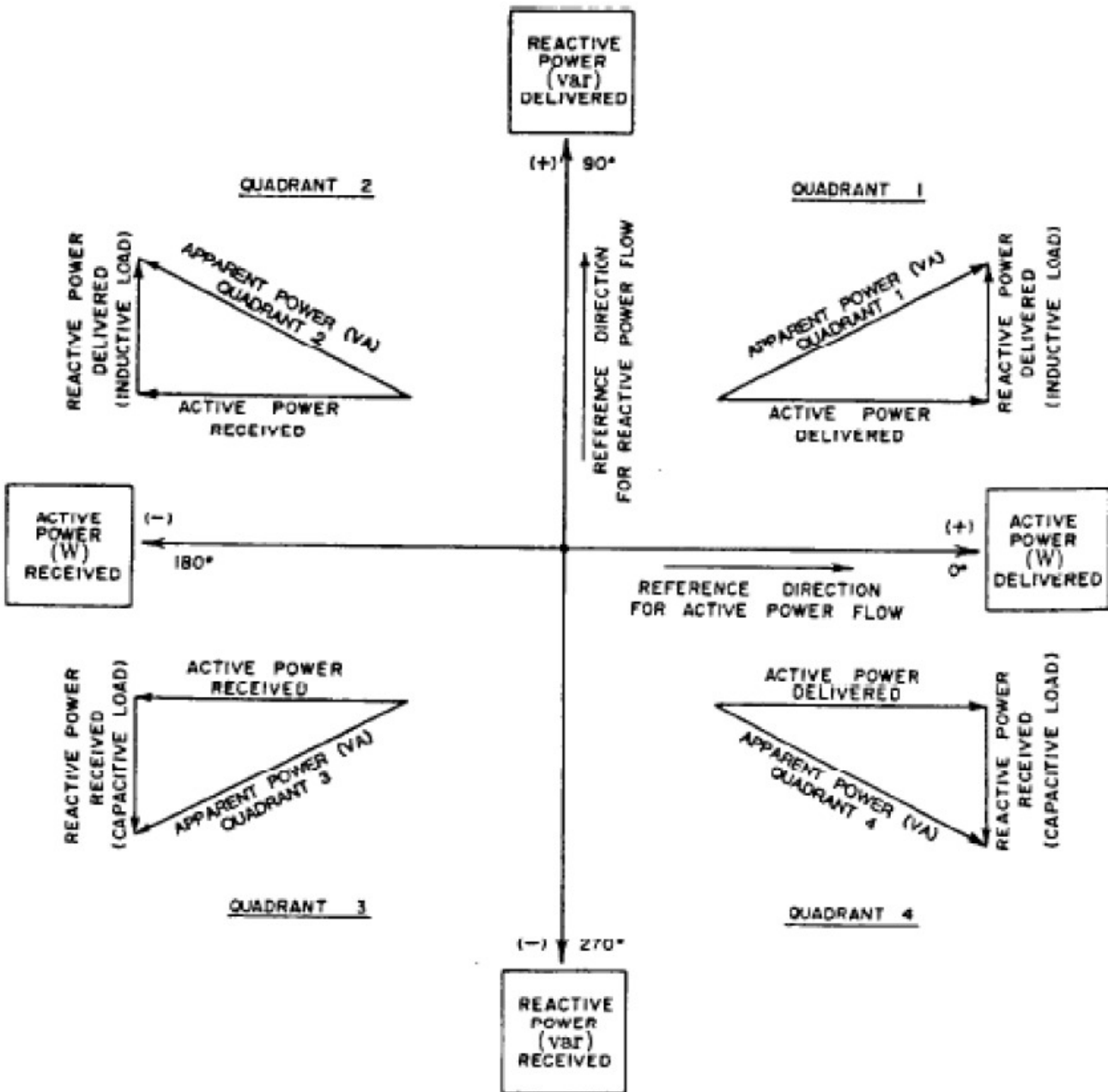


Figura 4-3.: Cuatro cuadrantes de las direcciones del flujo de potencia [5]

4.3.2. Mono-fase no sinusoidal

Para condiciones estables, una señal de corriente o voltaje no sinusoidal periódica, tiene dos componentes distintos: Los componentes del sistema de frecuencia V_1 e i_1 y el término restante v_H e i_H .[5]

$$v = v_1 + v_H \quad (4-22)$$

e

$$i = i_1 + i_H$$

Donde:

$$v_1 = \sqrt{2V_1} \sin(\omega t - \alpha_1)$$

$$i_1 = \sqrt{2I_1} \sin(\omega t - \beta_1)$$

$$v_H = V_0 + \sqrt{2} \sum_{h \neq 1} V_h \sin(h\omega t - \alpha_h)$$

$$i_H = I_0 + \sqrt{2} \sum_{h \neq 1} I_h \sin(h\omega t - \beta_h)$$

Los valores valores rms al cuadrado son los siguientes:

$$\begin{aligned} V^2 &= V_1^2 + V_H^2 \\ I^2 &= I_1^2 + I_H^2 \end{aligned} \quad (4-23)$$

Las formas de ondas distorsionadas de a menudo contienen componentes de frecuencias llamadas armónicos. Un grupo especial de inter-armónicos es caracterizado por $h < 1$. Estos armónicos tienen períodos más largos que el periodo T de la frecuencia fundamental.[5]

Si la onda distorsionada de corriente y voltaje está compuesta únicamente de armónicos, la medición en intervalos de tiempo kT , permitirá una medición correcta de rms y valores de potencia. [5]

Si al menos uno de los inter-armónicos de orden h es irracional, la onda observada no es periódica. En tal caso las mediciones deberían ser infinitas con el fin de tener una medición correcta del rms y las potencias.[5]

Distorsión Total Armónica (THD)

La desviación en general de una onda distorsionada, se puede estimar con la ayuda de la distorsión armónica total. La distorsión armónica total del voltaje es el siguiente:

$$THD_v = \frac{V_H}{V_1} = \sqrt{\left(\frac{V}{V_1}\right)^2 - 1} \quad (4-24)$$

La distorsión armónica total de corriente es el siguiente:

$$THD_I = \frac{I_H}{I_1} = \sqrt{\left(\frac{I}{I_1}\right)^2 - 1} \quad (4-25)$$

Potencia Activa (W)

$$P = \frac{1}{kT} \int_{\tau}^{\tau+kT} p dt = \int_{\tau}^{\tau+kT} p_a dt \quad (4-26)$$

$$P = P_1 + P_H$$

Potencia activa fundamental (W)

$$P_1 = \frac{1}{kT} \int_{\tau}^{\tau+kT} v_1 i_1 dt = V_i I_1 \cos \theta_1 \quad (4-27)$$

Potencia Aparente (VA)

$$S = VI \quad (4-28)$$

La potencia aparente es la cantidad de potencia activa que pueden ser suministradas a la carga en condiciones ideales.[5]

Potencia aparente fundamental (VA)

La potencia fundamental S_1 y sus componentes P_1 y Q_1 son las cantidades actuales que ayudan a definir el tipo de flujo del campo magnético asociado con el voltaje y la corriente fundamental.[5]

$$S_1 = V_1 I_1 \quad (4-29)$$

Potencia Aparente no fundamental

$$S_N = \sqrt{S^2 - S_1^2} \quad (4-30)$$

También se puede expresar mediante la siguiente ecuación:

$$S_N^2 = D_I^2 + D_V^2 + S_H^2 \quad (4-31)$$

Potencia de la Distorsión de Corriente (var)

$$D_I = V_1 I_H = S_1 (THD_I) \quad (4-32)$$

Potencia de la Distorsión de Voltaje (var)

$$D_V = V_H I_1 = S_1 (THD_V) \quad (4-33)$$

Potencia de la Armónica Aparente (VA)

$$S_H = V_H I_H = S_1 (THD_I) (THD_V) \quad (4-34)$$

Potencia de distorsión armónica (var)

$$D_H = \sqrt{S_H^2 - P^2} \quad (4-35)$$

Potencia no activa (var)

$$N = \sqrt{S^2 - P^2} \quad (4-36)$$

Esta potencia agrupa componentes no activas fundamentales y no fundamentales.[5]

Factor de potencia fundamental

$$P_{F1} = \cos\theta_1 = \frac{P_1}{S_1} \quad (4-37)$$

Este radio, facilita la evaluación de las condiciones del flujo energía.[5]

Factor de potencia

$$PF = \frac{P}{S} \quad (4-38)$$

Dados un S y un V , la máxima utilización de la línea es obtenido cuando $P = S$, por lo tanto, el radio P/S es un indicador de factor de utilización.[5]

Cuando el $THD_v < 5\%$ y $THD_i > 40\%$, es conveniente usar la siguiente ecuación:

$$PF = \frac{1}{\sqrt{1 + THD_I^2}} PF_1 \quad (4-39)$$

4.3.3. Ejemplo monofásico

En un circuito de alimentación monofásico se tienen las siguientes medidas tomadas por un analizador de redes eléctricas: $V_{Total} = 120V$; $THD_i = 45\%$; $THD_v = 4\%$; $S_1 = 200 + j40VA$.

Estimar de acuerdo a los criterios de la norma IEEE 1459 las magnitudes de los siguientes parámetros: $V_1, I_1, P_1, Q_1, S_T, P_T, V_h, I_h, D_V, D_i, S_h$.

Según la ecuación 4-19:

$$S_1 = \sqrt{P^2 + Q^2}; \quad S_1 = \sqrt{200^2 + 40^2}$$

* $S_1 = 203,9608\text{VA}$

Según la ecuación 4-24:

$$THD_v = \sqrt{\left(\frac{V}{V_1}\right)^2 - 1}; \quad THD_v^2 = \left(\frac{V}{V_1}\right)^2 - 1; \quad THD_{v1}^2 = \frac{V^2 - V_1^2}{V_1^2}$$

$$THD_{v1}^2 * V_1^2 = V^2 - V_1^2; \quad THD_{v1}^2 * V_1^2 + V_1^2 = V^2; \quad V_1^2(THD_{v1}^2 + 1) = V^2;$$

$$V_1^2 = \frac{V^2}{THD_{v1}^2 + 1}; \quad V_1 = \sqrt{\frac{V^2}{THD_{v1}^2 + 1}}; \quad V_1 = \sqrt{\frac{120V^2}{0.04^2 + 1}}$$

* $V_1 = 119,9041V$

$$V_H = THD_v * V_1; \quad V_H = 0,04 * 119,9041V$$

$$* V_H = 4,7962V$$

Según la ecuación 4-29:

$$S_1 = V_1 * I_1; \quad I_1 = \frac{S_1}{V_1}; \quad I_1 = \frac{203,9608VA}{119,9041V}$$

$$* I_1 = 1,7010A$$

$$I_H = THD_I * I_1; \quad I_H = 0,45 * 1,7010A$$

$$* I_H = 0,7654A$$

Según la ecuación 4-23:

$$I^2 = I_1^2 + I_H^2; \quad I = \sqrt{I_1^2 + I_H^2}; \quad I = \sqrt{1,7010A^2 + 0,7654A^2}$$

$$* I = 1,8653A$$

Según la ecuación 4-29:

$$S = V * I; \quad S = 119,9041V * 1,8653A$$

$$* S = 223,836VA$$

$$S_H = V_H * I_H; \quad * S_H = 4,7962V * 0,7654A = 3,6710VA$$

Según la ecuación 4-30:

$$S_N = \sqrt{S^2 - S_1^2}; \quad S_N = \sqrt{223,836VA^2 - 203,9608VA^2}$$

$$* S_N = 92,2094VA$$

Según la ecuación 4-32:

$$* D_1 = V_1 * I_H = 119,9041V * 0,7654A = 91,7745VA$$

$$* D_v = V_H * I_1 = 4,7962V * 1,7010A = 8,1583VA$$

Según la ecuación 4-27:

$$P_1 = V_1 * I_1 * \cos\theta_1; \quad \theta_1 = \cos^{-1}\left(\frac{P_1}{V_1 * I_1}\right); \quad \theta_1 = \cos^{-1}\left(\frac{200VA}{119.9041V * 1.7010A}\right)$$

* $\theta_1 = 11,3044$

Según la ecuación 4-38:

$$PF_1 = \frac{P_1}{S_1}; \quad PF_1 = \frac{203,960\text{VA}}{200\text{VA}};$$

* $PF_1 = 0,9805$

Según la ecuación 4-39:

$$PF = \frac{1}{\sqrt{1+THD_I^2}} PF_1; \quad PF = \frac{1}{\sqrt{1+0.45^2}} 0,9805$$

* $PF = 0,8941$

Según la ecuación 4-38:

$$PF = \frac{P}{S}; \quad P = PF * S; \quad P = 0,8941 * 223,836 \text{VA}$$

* $P = 200,1317\text{VA}$

Según la ecuación 4-36:

$$N = \sqrt{S^2 - P^2}; \quad \sqrt{223,836VA^2 - 200,1317VA^2}$$

* $N = 100,2489$ VAR

Según la ecuación 4-26:

$$P_H = P - P_1; \quad P_H = 200,1317VA - 200VA$$

* $P_H = 0,1317\text{VA}$

Según la ecuación 4-35:

$$D_H = \sqrt{S_H^2 - P^2 H}; \quad D_H = \sqrt{3,6710VA^2 - 0,1317VA^2}$$

$$* D_H = 3,6686VAR$$

4.3.4. Sistema trifásico sinusoidal balanceado

Para este caso se asume un sistema de secuencia positiva rotativa en sentido anti-horario, a, b, c, los voltajes linea a neutro son los siguientes:

$$v_a = \sqrt{2}V \sin(\omega t) \quad (4-40)$$

$$v_b = \sqrt{2}V \sin(\omega t - 120^\circ)$$

$$v_c = \sqrt{2}V \sin(\omega t + 120^\circ)$$

Las líneas de corriente tienen ecuaciones similares, las cuales son:

$$i_a = \sqrt{2}I \sin(\omega t - \theta) \quad (4-41)$$

$$i_b = \sqrt{2}I \sin(\omega t - \theta - 120^\circ)$$

$$i_c = \sqrt{2}I \sin(\omega t - \theta + 120^\circ)$$

En sistemas trifásicos balanceados y perfectamente sinusoidal, los sistemas de bajo voltaje no son comunes, solo bajo condiciones de laboratorio en donde se usan amplificadores de potencia de baja distorsión.[5]

En el caso de un sistemas de tres líneas, con voltajes linea a neutro son definidas asumiendo un nodo neutral artificial, el cual se obtienen con ayuda de tres resistencias idénticas conectadas en Y .

Potencia activa (w)

$$P = \frac{1}{kT} \int_{\tau}^{\tau+kT} pdt \quad (4-42)$$

$$P = 3VI \cos \theta = \sqrt{3}V_{\ell\ell}I \cos \theta$$

Donde

V es el voltaje rms de línea a neutro

$V_{\ell\ell}$ es el voltaje rms línea a línea

Potencia reactiva

$$Q = 3VI \sin \theta = \sqrt{3}V_{\ell\ell}I \sin \theta \quad (4-43)$$

$$|Q| = \sqrt{S^2 - P^2}$$

Potencia aparente

$$S = 3VI = \sqrt{3}V_{\ell\ell}I \quad (4-44)$$

Factor de potencia

$$PF = \frac{P}{s} \quad (4-45)$$

4.3.5. Sistema trifásico sinusoidal no balanceada

En este caso, los tres hilos de corriente I_a, I_b y I_c , no tienen las mismas magnitudes y no están desplazadas exactamente 120° con respecto una a la otra. Las cargas no balanceadas conlleva a corrientes asimétricas que a su vez causan asimetría de voltaje. En algunas ocasiones sucede que los tres fasores de voltaje no son simétricos. Esto conduce a corrientes asimétricas incluso cuando la carga está perfectamente balanceada.[5]

Las ecuaciones de voltaje línea a neutro son los siguientes:

$$v_a = \sqrt{2}V_a \sin(\omega t + \alpha_a) \quad (4-46)$$

$$v_b = \sqrt{2}V_b \sin(\omega t + \alpha_b - 120^\circ)$$

$$v_c = \sqrt{2}V_c \sin(\omega t + \alpha_c + 120^\circ)$$

Donde por lo menos una de las tres amplitudes linea a neutro $\sqrt{2}V_q$, $\sqrt{2}V_b$, o $\sqrt{2}V_c$ tiene un valor diferente que al de las otras dos amplitudes. Lo mismo debe aplicar a los ángulos de las fases α_a , α_b , y α_c . Si un ángulo de fase tiene un valor distinto que los otros dos, el sistema está perdiendo simetría y no es balanceado.[5]

Las ecuaciones de corriente línea a neutro son los siguientes:

$$i_a = \sqrt{2}I_a \sin(\omega t + \beta_a) \quad (4-47)$$

$$i_b = \sqrt{2}I_b \sin(\omega t + \beta_b - 120^\circ)$$

$$i_c = \sqrt{2}i_c \sin(\omega t + \beta_c + 120^\circ)$$

Potencia Activa

$$P = \frac{1}{kT} \int_{\tau}^{\tau+kT} pdt \quad (4-48)$$

$$P = P_a + P_b + P_c$$

Donde P_a, P_b y P_c son potencias de fases activas:

$$P_a = \frac{1}{kT} \int_{\tau}^{\tau+kT} v_a i_a dt = V_a I_a \cos \theta_a; \quad \theta_a = \alpha_a - \beta_a \quad (4-49)$$

$$P_b = \frac{1}{kT} \int_{\tau}^{\tau+kT} v_b i_b dt = V_b I_b \cos \theta_b; \quad \theta_b = \alpha_b - \beta_b$$

$$P_c = \frac{1}{kT} \int_{\tau}^{\tau+kT} v_c i_c dt = V_c I_c \cos \theta_c; \quad \theta_c = \alpha_c - \beta_c$$

Potencias activa en secuencias positivas, negativas y cero (w)

En sistemas de cuatro hilos, hay situaciones cuando el uso componentes simétricos pueden ser de ayuda. Los componentes simétricos de voltaje V^+, V^- y V_0 y las componentes de corriente I^+, I^- e I_0 con sus respectivos ángulos θ^+, θ^- y θ^0 producen los siguientes tres componentes de potencia activa:[5]

La potencia de secuencia positiva:

$$P^+ = 3V^+I^+ \cos \theta^+ \quad (4-50)$$

La potencia de secuencia negativa:

$$P^- = 3V^-I^- \cos \theta^- \quad (4-51)$$

La potencia de secuencia cero:

$$P^0 = 3V^0 I^0 \cos\theta^0 \quad (4-52)$$

La potencia activa total es:

$$P = P^+ + P^- + P^0 \quad (4-53)$$

Potencia reactiva (var)

Las potencias reactivas por fase son definidas con la ayuda de las siguientes ecuaciones:

$$Q_a = \frac{\omega}{kT} \int_{\tau}^{\tau+kT} i_a \left[\int v_a dt \right] dt = V_a I_a \sin \theta_a \quad (4-54)$$

$$Q_b = \frac{\omega}{kT} \int_{\tau}^{\tau+kT} i_b [\int v_b dt] dt = V_b I_b \sin \theta_b$$

$$Q_c = \frac{\omega}{kT} \int_{\tau}^{\tau+kT} i_c [\int v_c dt] dt = V_c I_c \sin \theta_c$$

La potencia reactiva total es:

$$Q = Q_a + Q_a + Q_c \quad (4-55)$$

Potencias aparentes en fase

$$S_a = V_a I_a; \quad S_b = V_b I_b; \quad S_c = V_c I_c \quad (4-56)$$

$$S_a^2 = P_a^2 Q_a^2; \quad S_b^2 = P_b^2 Q_b^2; \quad S_c^2 = P_c^2 I_c$$

Potencia aparente aritmética

$$S_A = S_a + S_b + S_c \quad (4-57)$$

$$S_A \neq \sqrt{P^2 + Q^2}$$

Potencia aparente del vector

$$S_V = \sqrt{P^2 + Q^2} \quad (4-58)$$

En la figura 4-4, se muestra un interpretación de S_V y S_A .

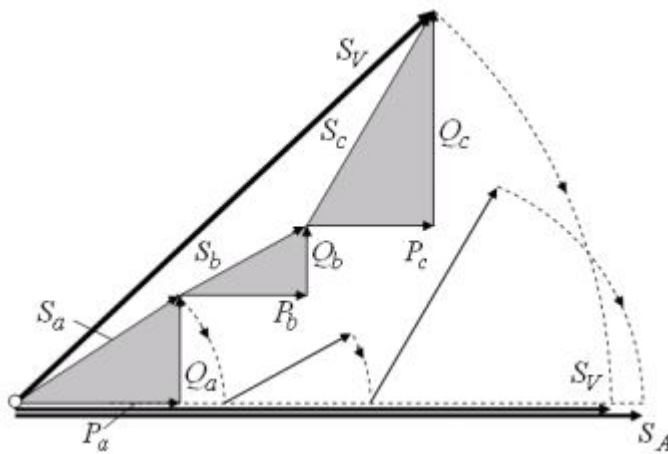


Figura 4-4.: Potencias aparentes aritméticas y vectoriales

Factor de potencia aritmético y del vector

$$PF_V = \frac{P}{S_V} \quad (4-59)$$

$$PF_A = \frac{P}{S_A}$$

Una línea trifásica que abastece a uno o más clientes debería ser vista como un solo camino, una entidad que transmite la energía eléctrica a lugares donde es convertida en otras forma de energía. Esta mal ver cada fase como una ruta de energía independiente.[5]

Potencia aparente efectiva

Este concepto asume un circuito balanceado virtual que tiene exactamente las mismas líneas de perdidas como el circuito des balanceado actual. Para un sistema de 4 líneas, el balance de la perdida de potencia es expresado en la siguiente ecuación:[5]

$$r(I_a^2 + I_b^2 + I_c^2 + \rho I_n^2) = 3rI_e^2 \quad (4-60)$$

Donde:

r es la resistencia

I_n es la corriente actual (rms)

r_n Es el cable neutro de la resistencia

De las ecuaciones anteriores, la corriente equivalente de un sistema de 4 líneas es el siguiente:

$$I_e = \sqrt{\frac{I_a^2 + I_b^2 + I_c^2 + \rho I_n^2}{3}} = \sqrt{(I^+)^2 + (I^-)^2 + (1 + 3\rho)(I^0)^2} \quad (4-61)$$

Y para un sistema de tres hilos donde $I^0 = 0$

$$I_e = \sqrt{\frac{I_a^2 + I_b^2 + I_c^2}{3}} = \sqrt{(I^+)^2 + (I^-)^2} \quad (4-62)$$

Factor de potencia efectiva

$$PF_e = \frac{P}{S_e} \quad (4-63)$$

4.4. Ejercicio Práctico

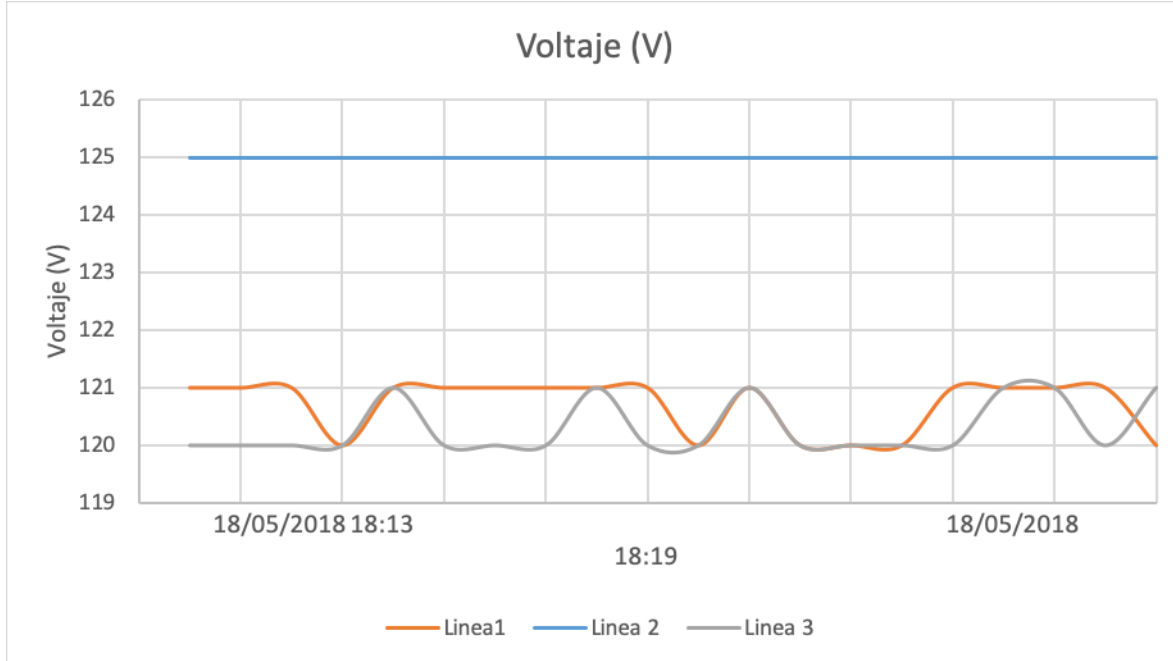
4.4.1. Análisis de datos obtenidos de tres cargas no lineales

A continuación, se muestra el análisis de los datos obtenidos por el circutor de tres computadores de los ETM de la Universidad Santo Tomás en la sede central, siguiendo las normas establecidas para cada caso a nivel nacional.

El circutor no posee una memoria que almacene los datos medidos, por tal razón, los datos obtenidos se transmiten en tiempo real por comunicación serial a un computador por medio de un programa realizado en Visual Studio, donde se pueden adquirir las medidas de potencia, tensiones, voltajes, THDi, THDv, en una hoja de cálculo.

Las medidas tomadas y el análisis de estas, se realizaron tomando como referencia la norma NTC 1340 (tercera actualización) y el IEEE 1159, el cual establece el tiempo de muestreo para el monitoreo de calidad de energía eléctrica que es mayor a un minuto para sistemas de larga duración en variaciones de rms.

Nombre	Fecha	Hora	Prom	Min	Max	Muestras	Duración	Unidades
Frecuencia	18/05/2018	18:13	60	60	60	30	6:00	min:s

Tabla 4-1.: Datos de caracterización de frecuencia**Figura 4-5.:** Voltaje RMS

Según la norma NTC 1340 (Tercera actualización) expresa que el 100 % de los valores medidos en el rango establecido del IEEE 1159, deben estar dentro del intervalo definido en la figura 4-6

Tabla 2. Clasificación, denominación y valores de la tensión nominal

Clasificación	Nivel	Tensión Nominal (V)		Tensión máxima (% de la nominal)	Tensión mínima (% de la nominal)
		Sistemas Trifásico de 3 ó 4 conductores	Sistemas Monofásico de 3 ó 4 conductores		
Baja Tensión $V_n < 1 \text{ kV}$	Nivel 1 $V_n < 1 \text{ kV}$	-	120	+5	-10
		120/208	-		
		-	120/240		
		127/220	-		
		220	-		
		277/480	-		
Media Tensión $1 \text{ kV} \leq V_n < 57,5 \text{ kV}$	Nivel 2 $1 \text{ kV} \leq V_n < 30 \text{ kV}$	4 160	-	+5	-10
		-	7 620		
		11 400	-		
		13 200	-		
	Nivel 3 $30 \text{ kV} \leq V_n < 57,5 \text{ kV}$	13 800	-		
		34 500	-		
	Nivel 4 $57,5 \text{ kV} \leq V_n < 220 \text{ kV}$	44 000	-	+5	-5
		57 500	-		
		66 000	-		
		115 000	-		
Alta Tensión $57,5 \text{ kV} \leq V_n \leq 230 \text{ kV}$		-	230 000		
		500 000	-		
Extra Alta Tensión $230 \text{ kV} < V_n$					

NOTA La clasificación por niveles es de tipo informativo y corresponden con la regulación CREG 082/2002 o la resolución que la modifique o sustituya.

Figura 4-6.: Clasificación, denominación y valores tensión nominal

Con los valores de la figura 4-5 se evidencia que los valores máximos y mínimos de VRMS, cumplen con los porcentajes establecidos.

$$X1 = \frac{V_{maxl1}}{120} = \frac{121}{120} = 1,008; \mathbf{0,8\%VRMS}$$

$$X2 = \frac{V_{maxl2}}{120} = \frac{125}{120} = 1,041; \mathbf{4,1\%VRMS}$$

$$X3 = \frac{V_{maxl3}}{120} = \frac{121}{120} = 1,008; \mathbf{0,8\%VRMS}$$

Porcentaje máximos de volatjes

VRMS	MÁXIMO	MÍNIMO
L1V	0.8 %	0 %
L2V	4,1 %	4,1 %
L3V	0.8 %	0 %

Tabla 4-2.: Tabla de rangos máximos y mínimos de VRMS

$$y1 = \frac{Vminl1}{120} = \frac{120}{120} = 1,00; \textbf{0 \%VRMS}$$

$$y2 = \frac{Vminl2}{120} = \frac{125}{120} = 1,041; \textbf{4,1 \%VRMS}$$

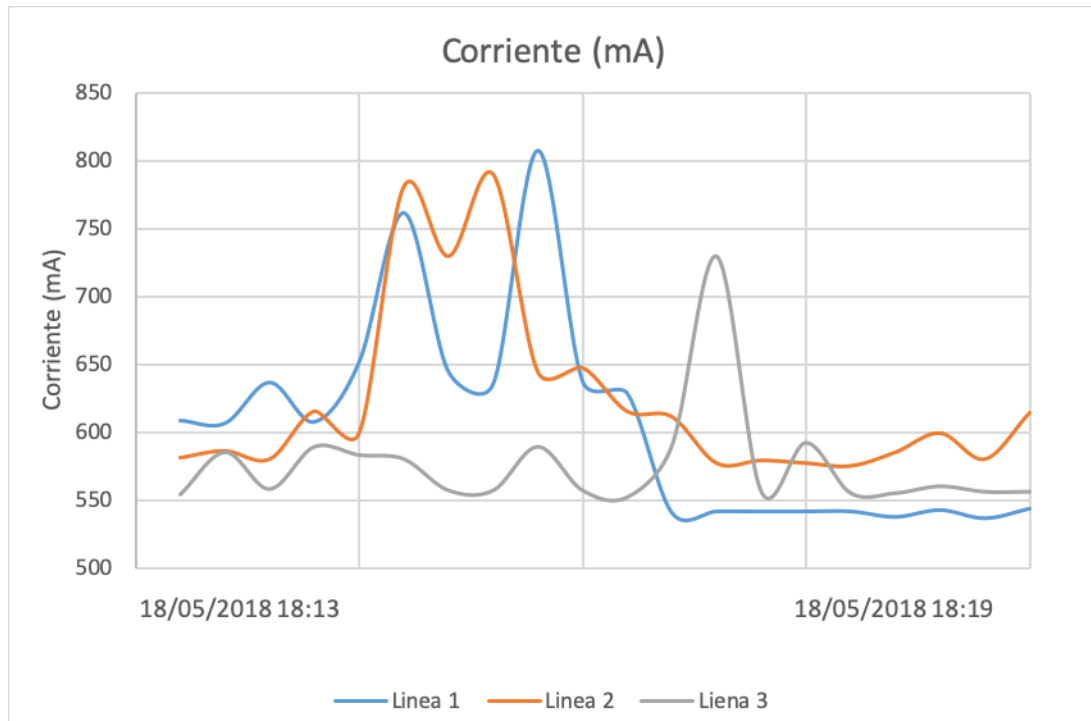
$$y3 = \frac{Vminl3}{120} = \frac{120}{120} = 1,00; \textbf{0 \%VRMS}$$

Porcentaje mínimos de volatjes

Al comparar los datos de la tabla en la figura 4-6 con la tabla 4-2, se afirma que la tensión nominal de las cargas cumple con los intervalos establecidos en la norma NTC 1340.

Nombre	Fecha	Hora	RMS	Min	Max	Unidades	Duración	Unidades
L1 Irms	18/05/2018	18:13	605,1	537	808	mA	6:00	min:s
L2 Irms	18/05/2018	18:13	624,1	576	790	mA	6:00	min:s
L3 Irms	18/05/2018	18:13	576,5	553	730	mA	6:00	min:s

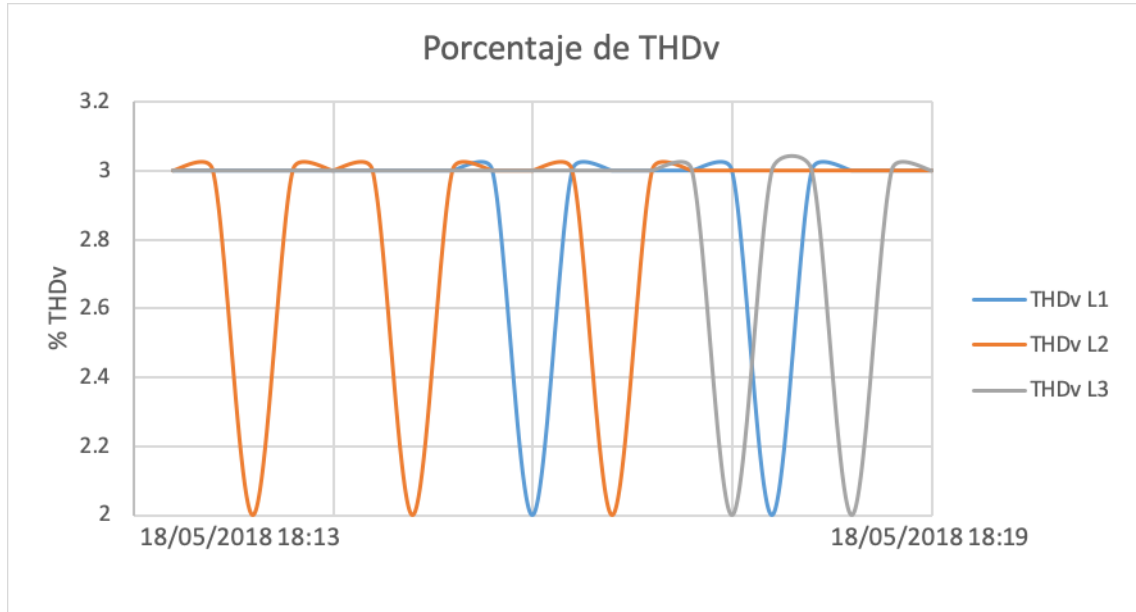
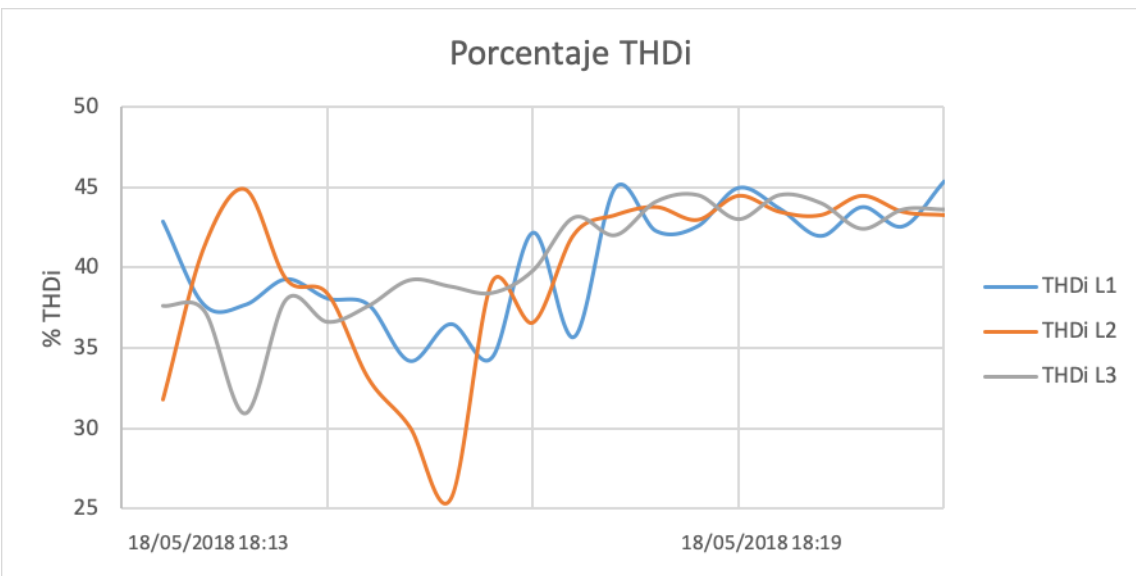
Tabla 4-3.: Datos de caracterización de corriente

**Figura 4-7.: Corriente RMS**

La figura 4-7 corresponde a la corriente consumida dentro del intervalo ya establecido, se observa que los valores cambian en un rango de 300 mA, debido al uso que le aplican al computador.

Nombre	Fecha	Hora	RMS	Min	Max	Unidades	Duración	Unidades
L1 THDv	18/05/2018	18:13	2,9	2	3	%	6:00	min:s
L2 THDv	18/05/2018	18:13	2,85	2	3	%	6:00	min:s
L3 THDv	18/05/2018	18:13	2,9	2	3	%	6:00	min:s
L1 THDi	18/05/2018	18:13	40,44	34,2	45,4	%	6:00	min:s
L2 THDi	18/05/2018	18:13	39,75	25,6	44,9	%	6:00	min:s
L3 THDi	18/05/2018	18:13	40,45	30,9	44,5	%	6:00	min:s

Tabla 4-4.: Distorsión armónica en corriente y voltaje

**Figura 4-8.**: Porcentaje de THD_V **Figura 4-9.**: Porcentaje de THD_I

Los datos de distorsión armónica reflejados en la tabla 4-4 y las figuras 4-8, 4-9 dan a entender como esta afectando las cargas no lineales en el sistema. Según el estándar IEEE 519 en el capítulo 11.1 indica el límite máximo que debe tener el THD en tensión (5%), de acuerdo

en la figura 4-8, los THD de tensión no exceden el valor indicado anteriormente, por lo tanto, la red está cumpliendo la normatividad internacional.

En los THD de corriente, para su análisis es necesario hallar la distorsión de la demanda total con la siguiente ecuación:

$$TDD = \frac{I1 * THD}{IL} \quad (4-64)$$

Ecuación 4-64. Distorsión de demanda total.

La corriente de carga (IL1) se toma el promedio de la tabla de datos que se obtiene por medio del CIRCUTOR de la siguiente manera:

$$IL1 = L1I_{rms\ RMS} = 605,1$$

$$I_{1a1} = IL1 - (IL1 * 0,4044) = 0,605 - (0,605 * 0,4044) = 0,3603$$

Aplicando la ecuación 4-64

$$TDD_1 = \frac{I_{1a1} * THD_1}{IL1} = \frac{0,3603 * 0,4044}{0,605} = 0,2408 = 24,08\%$$

La corriente de carga (IL2) se toma el promedio de la tabla de datos que se obtiene por medio del CIRCUTOR de la siguiente manera:

$$IL2 = L2I_{rms\ RMS} = 624,1$$

$$I_{1a2} = IL2 - (IL2 * 0,3975) = 0,624 - (0,624 * 0,3975) = 0,3760$$

Aplicando la ecuación 4-64

$$TDD_2 = \frac{I_{1a2} * THD_2}{IL2} = \frac{0,3760 * 0,3975}{0,624} = 0,2395 = 23,95\%$$

La corriente de carga (IL3) se toma el promedio de la tabla de datos que se obtiene por medio del CIRCUTOR de la siguiente manera:

$$IL3 = L3I_{rms\ RMS} = 576,5$$

$$I_{1a3} = IL3 - (IL3 * 0,4045) = 0,576 - (0,576 * 0,4045) = 0,2330$$

Aplicando la ecuación 4-64

$$TDD_3 = \frac{I_{1a3} * THD_3}{IL3} = \frac{0,2330 * 0,4045}{0,576} = 0,1636 = 16,36\%$$

Corrientes	TDD
AL1	24.08 %
AL2	23.95 %
AL3	16.63 %

Tabla 4-5.: TDD de corrientes

Tomando como referencia la figura 4-10, la cual está en el estándar IEEE 519 y la tabla 4-5, se observa que los resultados de TDD obtenidos en las ecuaciones anteriores están dentro del rango aceptado en el estándar, comprobando que el sistema está trabajando en un estado estable.

Table 10.3
Current Distortion Limits for General Distribution Systems
(120 V Through 69 000 V)

I_{sh}/I_L	Maximum Harmonic Current Distortion in Percent of I_L					
	Individual Harmonic Order (Odd Harmonics)					
	<11	11≤ h <17	17≤ h <23	23≤ h <35	35≤ h	TDD
<20*	4.0	2.0	1.5	0.6	0.3	5.0
20<50	7.0	3.5	2.5	1.0	0.5	8.0
50<100	10.0	4.5	4.0	1.5	0.7	12.0
100<1000	12.0	5.5	5.0	2.0	1.0	15.0
>1000	15.0	7.0	6.0	2.5	1.4	20.0

Even harmonics are limited to 25% of the odd harmonic limits above.

Current distortions that result in a dc offset, e.g., half-wave converters, are not allowed.

*All power generation equipment is limited to these values of current distortion, regardless of actual I_{sh}/I_L .

where

I_{sc} = maximum short-circuit current at PCC.

I_L = maximum demand load current (fundamental frequency component) at PCC.

Figura 4-10.: Límites de distorsión de corriente para sistemas de distribución general

4.5. Desarrollo de Software

El desarrollo de software es un campo de la ciencia computacional dedicado a la creación, diseño, implementación y soporte de software.

El software se compone de una serie de instrucciones o programas que le dicen al computador que debe hacer. Es independiente del hardware y hace a los computadores programables. [6]

4.5.1. Programación Orientada a Objetos

La programación orientada a objetos (POO) es un paradigma de programación basado en convertir objetos que puedan ser tangibles o intangibles a objetos digitales los cuales tienen métodos y propiedades. Esto genera ventajas en modularidad y reusabilidad en código. Los objetos que usualmente son instancias de clases, son utilizados para interactuar uno con otro para diseñar aplicaciones y programas de computadores. [7]

4.5.2. Desarrollo Web

El desarrollo web es una área del desarrollo de software la cual construye, crea y mantiene sitios web. Dentro de su funcionamiento incluye el diseño web, publicación web y administración de base de datos. [8]

4.5.3. Frontend

Frontend se entiende como la parte de un programa en la cual se crea una interfaz de usuario para que el programa interactúe con las personas. Los lenguajes principales desarrollo del frontend son Html5, Javascript y Css 3; aunque hay muchos frameworks facilitan la creación de frontend, cómo lo son: React, Angular2+, Vuejs y Bootstrap entre otros.

4.5.4. Backend

En la capa de arquitectura de un proyecto de software, el backend no es accesible por los usuarios ya que este es el encargado de ejecutar todas las funciones y la lógica del sistema, administra, guarda y envía información a la base de datos.

4.5.5. REST

REST se compone de una serie de principios de comunicación web en la cual se diseñan servicios web orientados a recursos de sistemas, incluyendo como los estados de los recursos son ubicados y transferidos a través del protocolo HTTP por un gran rango de clientes que usan distintos lenguajes de programación. [9]

4.6. Fourier

4.6.1. Transformada de Fourier

La transformada de Fourier transforma una señal que depende del tiempo en una señal que depende de la frecuencia (tiempo continuo a tiempo discreto).

$$F(g(t)) = G(f) = \int_{-\infty}^{\infty} g(t) e^{-i2\pi ft} dt \quad (4-65)$$

Se define como la transformada de Fourier. [10]

$$F^{-1}(G(f)) = g(t) = \int_{-\infty}^{\infty} G(f) e^{i2\pi ft} df \quad (4-66)$$

Se define como la inversa de Fourier. [10]

4.6.2. Teorema de muestreo de Nyquist-Shannon

Sea una señal de $x(t)$ de finita y de banda limitada a B , entonces:

$$x(t) = \frac{1}{\pi} \sum_{n=-\infty}^{\infty} x\left(\frac{n}{2B}\right) \frac{\sin(\pi(2Bt - n))}{2Bt - n} \quad [11]$$

para reconstruir una señal limitada entre la banda B es necesario tener una señal de muestreo de $2B$, esta frecuencia se denomina frecuencia de Nyquist.

$$F_{min} > 2f \quad (4-67)$$

Donde:

F_{min} = Frecuencia mínima de muestreo.

f = Frecuencia fundamental de la señal.

4.6.3. Transformada rápida de Fourier (FFT)

Todas las señales periódicas pueden ser representadas en sumatorias de Fourier, de esta sumatoria de Fourier se puede sacar la transformada de Fourier discreta calculando un tiempo finito, esta transformada se define como:

$$X[k] = \sum_{n=0}^{N-1} x[n] W_N^{kn}; \quad k = 0, 1, 2, 3 \dots N-1 \quad (4-68)$$

$$\text{donde } W_N = e^{-j \frac{2\pi}{N}}$$

La FFT surge en dividir el tiempo, es decir en la descomposición en transformadas de Fourier

Discretas mas simples, para esto se asume que la N es potencia de 2, descomponiendo la como:

$$X[k] = \sum_{r=0}^{N/2-1} x[2r](W_{N/2})^r k + W_N^K \sum_{r=0}^{N/2-1} x[2r+1](W_{N/2})^r k \quad (4-69)$$

donde $W_{N/2} = e^{-j\frac{2\pi}{N/2}}$, N siendo el número de muestras. [12]

Esta manera es la que usan la mayoría de conversores análogos digitales y procesadores.

4.7. Convertidores ADC

El convertidor análogo digital (ADC) fue creado para representar en una palabra digital el nivel de voltaje existente en una en una entrada análoga, transformándola en una señal binaria de un número de muestras (N), en la electrónica la resolución de la señal de entrada la da la cantidad de bits disponibles para la conversión, entre mas grande sea la cantidad de bits, mayor es la resolución de la señal y mas confiable es ésta.

4.8. Internet de las cosas

El concepto de internet de las cosas o por su sigla en inglés (IoT) - internet of things, tiene como objetivo conectar lo desconectado, esto significa que algún dispositivo que no tenga comunicación con la red lo pueda tener y así puedan interactuar con las personas y otros objetos. IoT es una tecnología de transición en donde los dispositivos permitirán sentir y controlar el mundo físico haciendo los objetos inteligentes y conectándolos a través de una red inteligente. Esta transición de volver un dispositivo intelectual se puede realizar de distintas formas pero la más común para empezar es la Raspberry. [13]

4.8.1. Raspberry pi 4

Las Raspberry Pi 4 es la nueva generación de computadores soportando más memoria RAM y un mejor rendimiento en CPU, GPU y puertos de entrada y salida. Esta tarjeta cuenta con conectividad Bluetooth 2.0, USB, Red y Wifi, también tiene el protocolo de comunicación I2C el cual permite comunicarse con sistemas digitales electrónicos con el fin de recibir y transmitir información y por medio de la conectividad Wifi, se puede hacer conectividad a la red dispositivos que no tienen conectividad. El mayor beneficio de esta funcionalidad de

la Raspberry hace posible el concepto de IoT y así puede haber una interacción entre las personas y los dispositivos. [14]

5. Desarrollo y ejecución del proyecto

5.1. Arquitectura del proyecto

El medidor se planteó con base a una arquitectura combinada entre software y hardware, en donde las cargas que se miden serán la entrada inicial del sistema; dicha entrada pasa por un proceso de converison y analizis de datos, estos resultados se pueden visualizar de manera gráfica y numérica en una aplicación web.

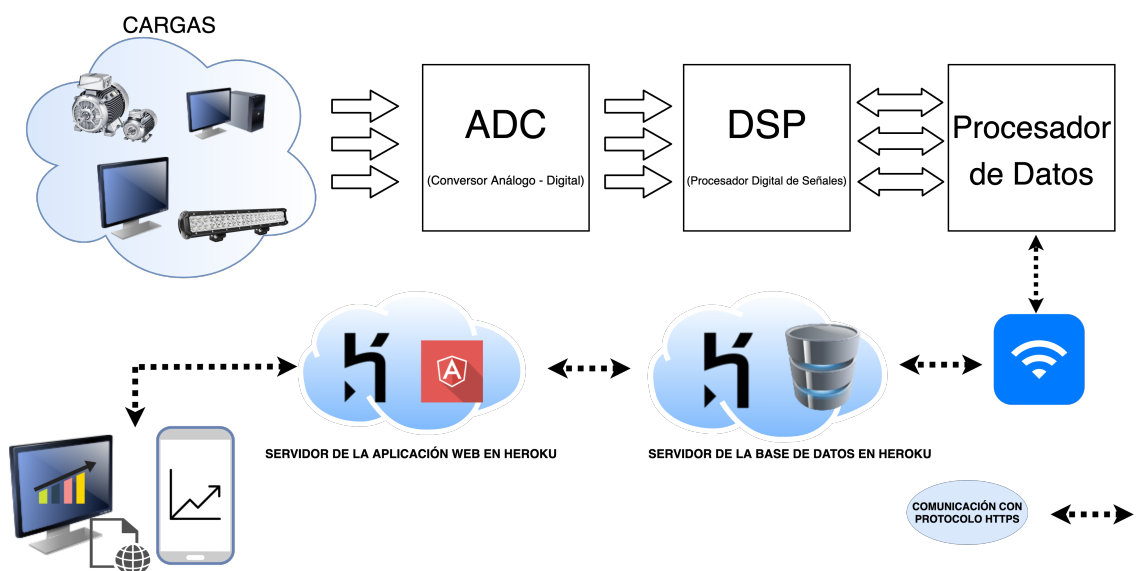


Figura 5-1.: Arquitectura del proyecto

El proceso de medición empieza en el momento de conectar una carga eléctrica al conversor de señal analógica a digital. Estas señales pasan a un procesador digital de señales, dónde se aplica los parámetros matemáticos establecidos en el estándar IEEE 1459 del 2010, el cual permite la medición de la potencia eléctrica en cualquier tipo de condición.

Dicho esto, la información se envía a un procesador de datos encargado de administrar la lectura, escritura y filtración de datos. El procesador debe contar con conexión a internet, con el fin de enviar la información al servidor de base datos alojado en la nube. La comunicación entre el procesador de datos y el servidor se realiza a través del protocolo de comunicación HTTPS.

Por lo tanto, el servidor en la nube que se planteó es Heroku ya que tiene la opción de una cuenta gratuita y así alojar la base de datos y la aplicación web sin ningún costo. Por ende las restricciones que tiene este plan, es que no se puede escoger el dominio de la página y hay un límite de espacio de 512MB pero es más que suficiente para el peso que tiene la base de datos de 21.5MB y la aplicación web de 65.2MB.

Una vez configurado el servidor, se escogió el framework javascript Angular 7 para el desarrollo de la aplicación web, ya que por medio del lenguaje de programación Typescript, el cual es un lenguaje tipado y robusto, nos permite tener mayor manipulación y consistencia en los datos; la aplicación utiliza una arquitectura RESTful y este permite, realizar peticiones HTTPS a la base de datos.

Finalmente, la información se visualiza de forma gráfica y numérica en una página web, en donde se pueden ver los valores de voltaje (V), corriente (A), potencia activa(W), potencia aparente (VA), potencia reactiva(VAR) y porcentaje de distorsión armónica en corriente y voltaje en cada fase.

Dicha arquitectura se puede ver en la figura 5-1

5.2. Fase de integración

Considerando las fases y la magnitud del proyecto se decidió investigar e integrar un dispositivo que hiciera el análisis de las señales aplicando las ecuaciones del STD IEEE 1459 del 2010. Durante la búsqueda se encontró que los dispositivos más cercanos son los siguientes:

1. EVM430-F6779-3 Phase Electronic Watt-Hour EVM
2. EVAL-ADE 7978
3. 78M6631 3-Phase PowerMeasurement IC

A continuación se detalla las tarjetas mencionadas:

5.2.1. EVM430-F6779-3 Phase Electronic Watt-Hour EVM

- Es posible ejecutar aplicaciones de medición en tiempo real.



Figura 5-2.: Tarjeta EVM430-F6779-3

- Viene con software de medición.
- Se puede conectar a cualquier sistema de prueba o voltaje AC.
- Fuentes de alimentación capacitiva y aisladas presentes
- Fácil visualización de resultados y calibración a través de RS-232
- Pantalla LCD de 160 segmentos
- Conectores RF para soporte AMR / AMI
- Soporte RTC de 32 kHz (cabecera disponible para calibración RTC)
- Encabezados para alimentación MSP430 o solo RTC a través de fuentes de alimentación auxiliares

5.2.2. EVAL-ADE 7978



Figura 5-3.: Tarjeta EVAL-ADE7978

- Permite sensores Shunt en medidores de energía polifásica.
- Inmune a la manipulación magnética.
- Alta precisión; admite EN 50470-1, EN 50470-3, IEC 62053-21, IEC 62053-22, IEC 62053-23, ANSI C12.20, y la estándar IEEE 1459.
- Compatible con 3 fases, 3 o 4 líneas (Delta o estrella).

- Calcula la energía Activa, Pasiva y Aparente en cada fase y en el sistema general.
- Menos del 0.2 % de error en energía activa y reactiva en un rango dinámico de 2000 a 1 a TA = 25°C
- Menos del 0.1 % de error en voltaje rms en un rango dinámico de 500 a 1 a TA = 25°C.
- Menos del 0.25 % de error en corriente rms en un rango dinámico de 500 a 1 a TA = 25°C.
- Mediciones de calidad de , incluida la distorsión armónica total (THD).
- Suministro de 3.3 V.
- Temperatura de funcionamiento: -40°C a +85°C.
- Interfaces seriales flexibles I2C, SPI y HSDC.

5.2.3. 78M6631 3-Phase PowerMeasurement IC

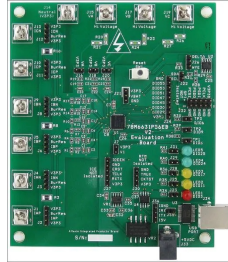


Figura 5-4.: Tarjeta 78M6631-EVM-DSL

- 0.5 % de precisión de vatios sobre 2000 : 1 corriente Rango y temperatura exclusiva
- Excede los estándares IEC 62053 / ANSI C12.20.
- Referencia de voltaje <40 ppm/ °C.
- Seis entradas analógicas que admiten entradas de medición de corriente y voltaje trifásico.
- Configuración delta o estrella.
- ADC Delta-Sigma de 22 bits con motor de cómputo (CE) independiente de 32 bits.
- MPU de 8 bits (80515), un ciclo de reloj por instrucción con 4 KB MPU XRAM.
- 128 KB Flash con seguridad.
- Base de tiempo de 32 kHz con temporizador de vigilancia de hardware

- Opciones de interfaz de host UART, I2C y High-Speed Slave SPI.

- 17 pines I/O tolerante a 5V de uso general.

Teniendo en cuenta las características encontradas en las tres tarjetas, se decidió escoger el dispositivo ADE 7978 ya que cumple con la norma IEEE 1459 y tiene una medición precisa, ademas de esto la resolución del dispositivo es mucho mejor que el de los otros (24 bits).

5.3. Desarrollo del Hardware

5.3.1. Configuración inicial

La conexión que se realizó, fue una configuración de 3 fases, 4 hilos, distribución estrella. El diagrama de conexión se ve en la figura 5-5

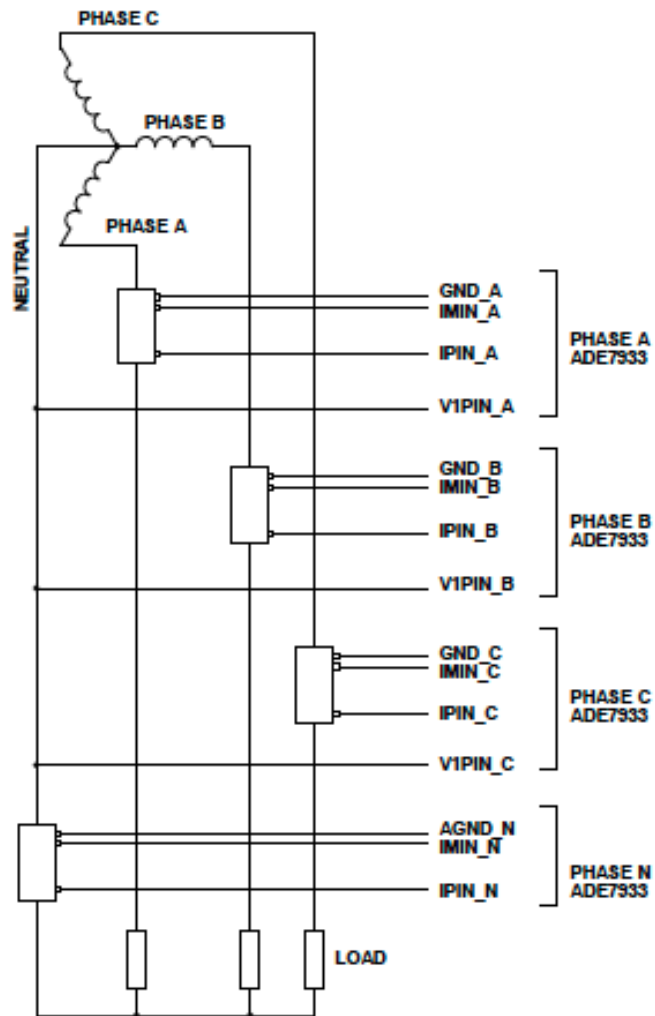


Figura 5-5.: Esquema de conexión para una distribución en Y, 3 fases, 4 hilos.

Materiales

- 4 resistencias Shunt.
- 1m de cable 7 hilos 22 AWG azul - V1PIN.
- 1m de cable 7 hilos 22 AWG cafe - GND.
- 1m de cable 7 hilos 22 AWG amarillo - IMIN.
- 1m de cable 7 hilos 22 AWG rojo - IPIN.
- 2m de cable duplex 2x10 AWG blanco

- 10 TYP UK2.50.
- Carril de aluminio.
- lamina de acetato.
- 20 terminales.
- 4 postes Met 10mm.

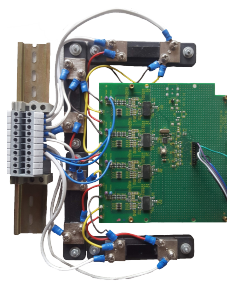


Figura 5-6.: ADE 7978 configurado con las resistencias Shunt

Para configurar la tarjeta fue necesario encontrar una resistencia Shunt que se ajustará a las especificaciones del circuito a implementar, sin embargo este trabajo fue mas complicado, ya que las resistencias Shunt disponibles en el mercado son costosas y la mayoría de ellas vienen con resistencias bajas, elevando el voltaje de salida y ampliando el rango de medición del medidor ($\frac{I}{R} = V$), se decidió comprar 4 resistencias Shunt caseras las cuales tenían un costo de tan solo \$4.000 COP muy bajo comparado con las importadas o fabricadas industrialmente, en las que su valor esta entre \$50.000 COP - \$ 200.000 COP.

Teniendo todos los materiales, se realiza la conexión de la figura 5-5, utilizando el cable azul para el pin V1PIN, el cable café para el pin GND, el cable amarillo para el pin IMIN, el cable rojo para el pin IPIN y el cable blanco para conectar las shunt con el bloque de terminales, todo el montaje puesto sobre una lamina de acetato elevando la tarjeta con los 4 postes Met como se muestra en la figura 5-6

5.3.2. Caracterización de la resistencia Shunt

Ya que las resistencias que se compraron son caseras o no tienen una procedencia muy confiable, se realizó la caracterización con los siguientes materiales

Materiales

- Fuente AC fija.
- Resistencia lineal variable.
- Shunt.
- Osciloscopio.
- Sonda atenuada de tensión.
- Sonda de corriente.

Con estos materiales se crea un circuito para variar la corriente que pasa por la resistencia Shunt, cambiando la resistencia lineal variable, de esta manera se mide la corriente y el voltaje que cae sobre la resistencia figura: 5-7.

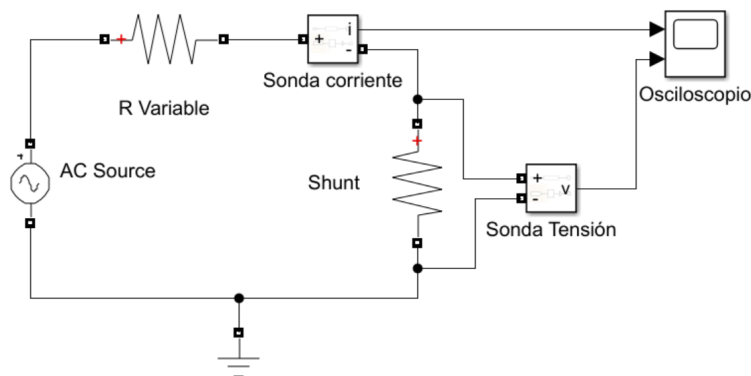


Figura 5-7.: Esquema caracterización de las resistencias Shunt

Shunt A

Corriente (A)	0.552	0.558	0.565	0.566	0.575	0.583	0.586	0.597
Voltaje (V)	0.00105	0.00105	0.00107	0.00107	0.00107	0.00108	0.00109	0.00109
Corriente (A)	0.609	0.621	0.639	0.651	0.68	0.7	0.73	0.757
Voltaje (V)	0.00111	0.00113	0.00115	0.00117	0.0012	0.00122	0.00125	0.0013
Corriente (A)	0.784	0.813	0.85	0.888	0.935	1.02	1.06	1.12
Voltaje (V)	0.00134	0.00136	0.00143	0.00148	0.00153	0.00162	0.0017	0.00179
Corriente (A)	1.21	1.28	1.38	1.45	1.59	1.63	1.75	1.8
Voltaje (V)	0.0019	0.002	0.0022	0.00226	0.00246	0.00254	0.0027	0.00277
Corriente (A)	1.75	1.67	1.5	1.42	1.35	1.24	1.18	1.1
Voltaje (V)	0.00269	0.00257	0.00233	0.00222	0.00211	0.00196	0.00187	0.00176
Corriente (A)	1.06	1.01	0.97	0.92	0.879	0.84	0.816	0.777
Voltaje (V)	0.00169	0.00163	0.00158	0.00151	0.00145	0.0014	0.00137	0.00131
Corriente (A)	0.753	0.734	0.71	0.693	0.67	0.652	0.629	0.616
Voltaje (V)	0.00127	0.00125	0.00122	0.00119	0.00116	0.00115	0.00112	0.00111
Corriente (A)	0.605	0.591	0.575	0.562	0.555			
Voltaje (V)	0.0011	0.00108	0.00107	0.00105	0.00104			

Tabla 5-1.: Corriente vs Voltaje en la resistencia shunt A

```

x = [0.552 0.558 0.565 0.566 0.575 0.583 0.586 0.597 0.609 0.621
     0.639 0.651 0.68 0.7 0.73 0.757 0.784 0.813 0.85 0.888 0.935
     1.02 1.06 1.12 1.21 1.28 1.38 1.45 1.59 1.63 1.75 1.8 1.75
     1.67 1.5 1.42 1.35 1.24 1.18 1.1 1.06 1.01 0.97 0.92 0.879
     0.84 0.816 0.777 0.753 0.734 0.71 0.693 0.67 0.652 0.629
     0.616 0.605 0.591 0.575 0.555 0.562]
y = [0.00105 0.00105 0.00107 0.00107 0.00107 0.00108 0.00109
     0.00109 0.00111 0.00113 0.00115 0.00117 0.0012 0.00122
     0.00125 0.0013 0.00134 0.00136 0.00143 0.00148 0.00153
     0.00162 0.0017 0.00179 0.0019 0.002 0.0022 0.00226 0.00246
     0.00254 0.0027 0.00277 0.00269 0.00257 0.00233 0.00222
     0.00211 0.00196 0.00187 0.00176 0.00169 0.00163 0.00158
     0.00151 0.00145 0.0014 0.00137 0.00131 0.00127 0.00125
     0.00122 0.00119 0.00116 0.00115 0.00112 0.00111 0.0011
     0.00108 0.00107 0.00105 0.00104]

```

```
plot( x, y, 'ob', 'markersize', 4, 'markerfacecolor', 'b' ),
grid,xlabel( 'Corriente ( A )' ), ylabel( 'Voltaje (V)' ),
title( 'Caracterización de la resistencia Shunt A' )
```

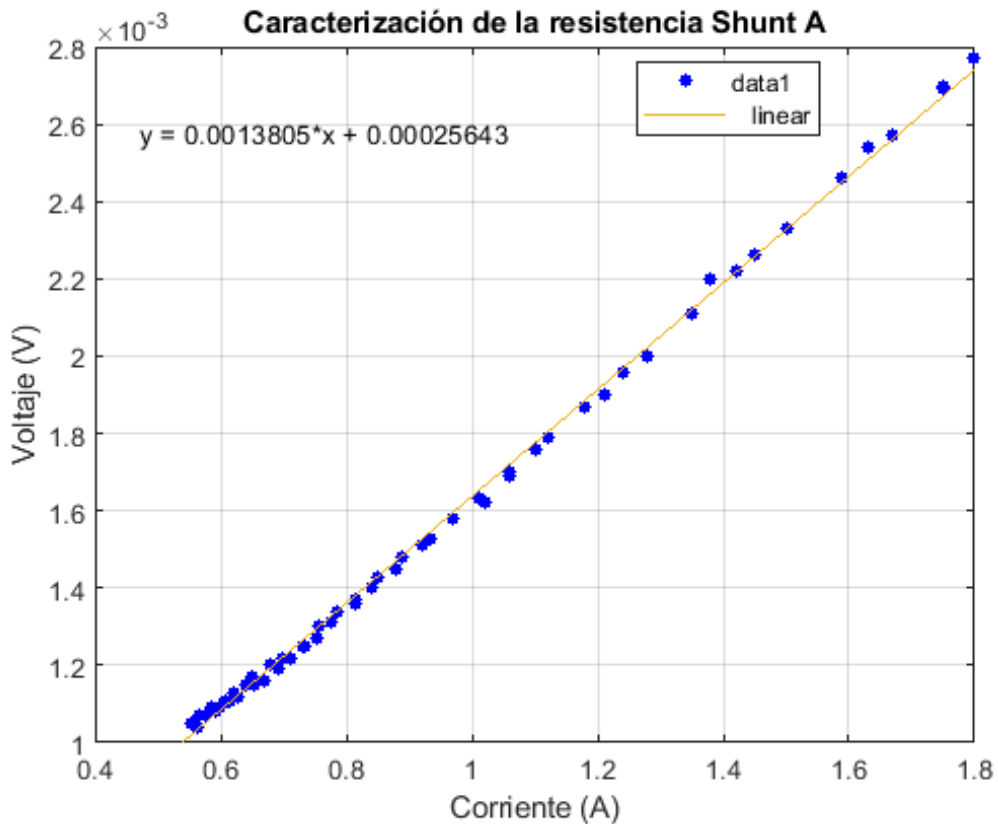


Figura 5-8.: Caracterización ShuntA

Con ayuda de matlab se optine la ecuacion de la recta que mas se ajusta a los datos donde V_{out} = Voltaje de salida de la Shunt, I = Corriente de entrada a la Shunt

$$V_{out} = 0,0013805 * I + 0,00025643 \quad (5-1)$$

Shunt B

Corriente (A)	0.549	0.574	0.606	0.633	0.67	0.698	0.744	0.77
Voltaje (V)	0.00107	0.00111	0.00112	0.00115	0.00119	0.00125	0.0013	0.00133
Corriente (A)	0.823	0.867	0.922	0.99	1.05	1.15	1.23	1.36
Voltaje (V)	0.0014	0.00145	0.00152	0.0016	0.0017	0.00186	0.00196	0.00213
Corriente (A)	1.48	1.69	1.8	1.7	1.48	1.35	1.22	1.15
Voltaje (V)	0.0023	0.0026	0.00278	0.00262	0.0023	0.00214	0.00194	0.00182
Corriente (A)	1.05	0.977	0.913	0.85	0.811	0.76	0.728	0.685
Voltaje (V)	0.0017	0.00162	0.00151	0.00143	0.00139	0.00132	0.00127	0.0012
Corriente (A)	0.662	0.635	0.611	0.599	0.58	0.557		
Voltaje (V)	0.00119	0.00116	0.00113	0.0011	0.00109	0.00108		

Tabla 5-2.: Corriente vs Voltaje en la resistencia shunt B

```

x = [ 0.549 0.574 0.606 0.633 0.67 0.698 0.744 0.77 0.823 0.867
      0.922 0.99 1.05 1.15 1.23 1.36 1.48 1.69 1.8 1.7 1.48 1.35
      1.22 1.15 1.05 0.977 0.913 0.85 0.811 0.76 0.728 0.685 0.662
      0.635 0.611 0.599 0.58 0.557 ]
y = [ 0.00107 0.00111 0.00112 0.00115 0.00119 0.00125 0.0013
      0.00133 0.0014 0.00145 0.00152 0.0016 0.0017 0.00186 0.00196
      0.00213 0.0023 0.0026 0.00278 0.00262 0.0023 0.00214 0.00194
      0.00182 0.0017 0.00162 0.00151 0.00143 0.00139 0.00132
      0.00127 0.0012 0.00119 0.00116 0.00113 0.0011 0.00109
      0.00108 ]
plot(x,y,'ob','markersize',4,'markerfacecolor','b'),
grid,xlabel('Corriente (A)'),ylabel('Voltaje (V)'),
title('Caracterización de la resistencia Shunt B')

```

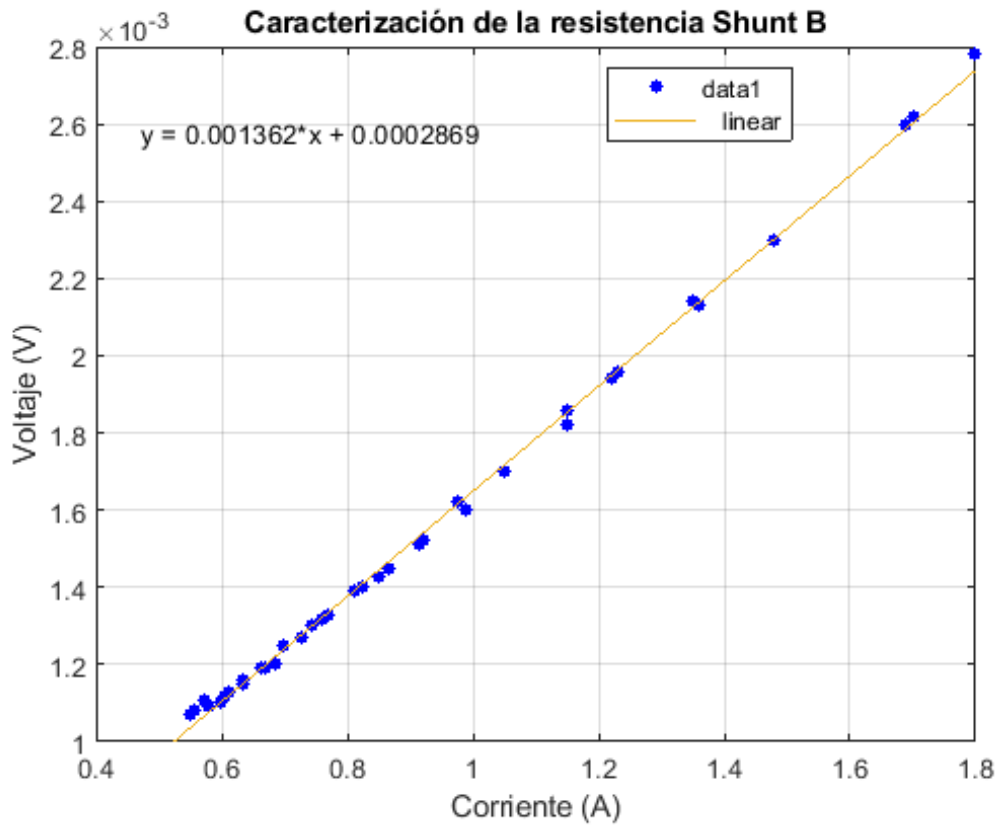


Figura 5-9.: Caracterización ShuntB

Con ayuda de matlab se optine la ecuacion de la recta que mas se ajusta a los datos donde V_{out} = Voltaje de salida de la Shunt, I = Corriente de entrada a la Shunt

$$V_{out} = 0,001362 * I + 0,0002869 \quad (5-2)$$

Shunt C

Corriente (A)	0.557	0.573	0.593	0.631	0.654	0.69	0.717	0.752
Voltaje (V)	0.00106	0.00108	0.0011	0.00115	0.00117	0.00122	0.00126	0.00131
Corriente (A)	0.8	0.838	0.896	0.95	1.03	1.09	1.19	1.29
Voltaje (V)	0.00137	0.00141	0.00149	0.00155	0.00166	0.00175	0.00189	0.00205
Corriente (A)	1.47	1.59	1.8	1.63	1.52	1.37	1.27	1.15
Voltaje (V)	0.0023	0.00246	0.00276	0.00251	0.00237	0.00215	0.00199	0.00183
Corriente (A)	1.07	0.98	0.925	0.86	0.816	0.766	0.737	0.697
Voltaje (V)	0.00172	0.0016	0.00153	0.00144	0.00138	0.00131	0.0013	0.00121
Corriente (A)	0.661	0.633	0.616	0.599	0.558			
Voltaje (V)	0.00119	0.00115	0.00113	0.00111	0.00107			

Tabla 5-3.: Corriente vs Voltaje en la resistencia shunt C

```

x = [ 0.557 0.573 0.593 0.631 0.654 0.69 0.717 0.752 0.8 0.838
      0.896 0.95 1.03 1.09 1.19 1.29 1.47 1.59 1.8 1.63 1.52 1.37
      1.27 1.15 1.07 0.98 0.925 0.86 0.816 0.766 0.737 0.697 0.661
      0.633 0.616 0.599 0.558 ]

y = [ 0.00106 0.00108 0.0011 0.00115 0.00117 0.00122 0.00126
      0.00131 0.00137 0.00141 0.00149 0.00155 0.00166 0.00175
      0.00189 0.00205 0.0023 0.00246 0.00276 0.00251 0.00237
      0.00215 0.00199 0.00183 0.00172 0.0016 0.00153 0.00144
      0.00138 0.00131 0.0013 0.00121 0.00119 0.00115 0.00113
      0.00111 0.00107 ]

plot(x,y,'ob','markersize',4,'markerfacecolor','b'),
grid,xlabel('Corriente (A)'),ylabel('Voltaje (V)'),
title('Caracterización de la resistencia Shunt C')

```

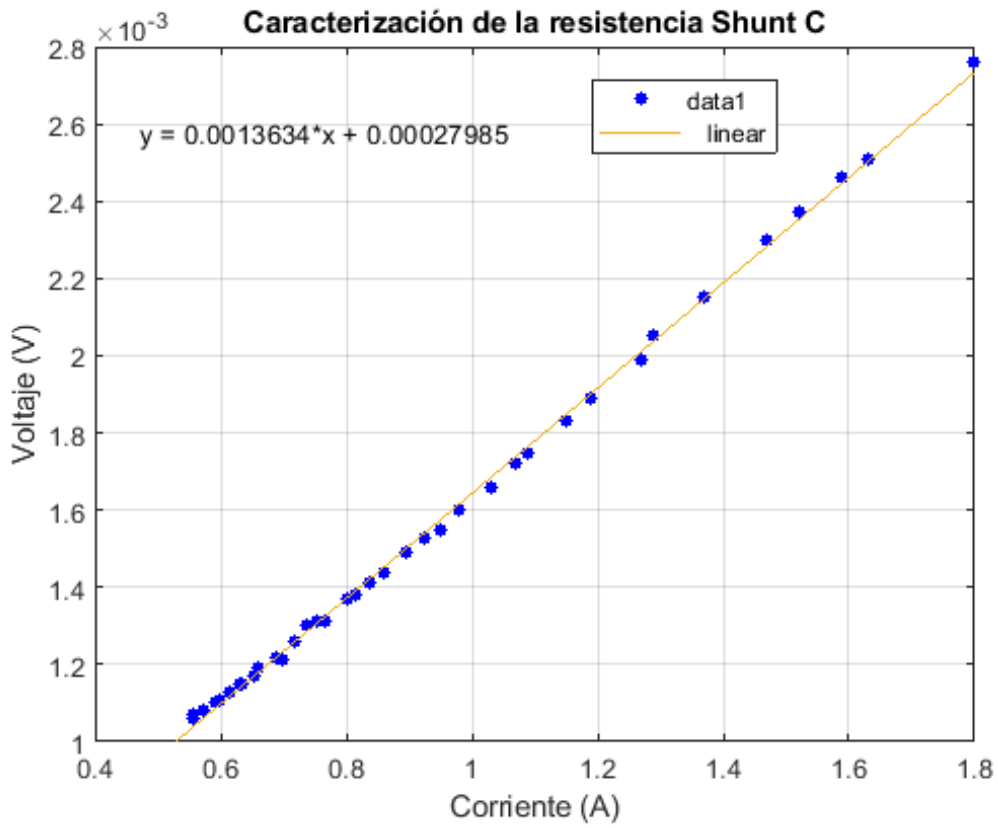


Figura 5-10.: Caracterización ShuntC

Con ayuda de matlab se optine la ecuacion de la recta que mas se ajusta a los datos donde V_{out} = Voltaje de salida de la Shunt, I = Corriente de entrada a la Shunt

$$V_{out} = 0,0013634 * I + 0,00027985 \quad (5-3)$$

5.3.3. Conversión de voltaje

Para obtener el voltaje de entrada del ADE7978, se realizaron los siguientes pasos:

La carga se conecta a la fase siguiendo el diagrama de conexión 5-5. Los pines V1PIN y GND_A, pasan por un divisor de voltaje donde su salida es el pin V1P y VM como se ve en la figura 5-11. El divisor se modela bajo la siguiente ecuación:

$$V1P = \frac{R_2}{R_1 + R_2} * V_{in} \quad (5-4)$$

Donde $R1 = 990150\Omega$, $R2 = 1K\Omega$.

$$V1P = 0,00100893 * V_{in} \quad (5-5)$$

El divisor de voltaje es necesario ya que el conversor ADE7933 solo debe recibir valores en un rango de $\pm 0,5V$.

El voltaje VA es la diferencia de voltaje que hay entre V1P y VM, esta es la señal que el conversor transforma a digital. La salida digital que entrega el conversor tiene un rango de $\pm 5,320,000$ como se ve en la figura 5-12. Esta señal entra al ADE7978 y de ahí en adelante, todos los procesos que se ejecutan, son basados en la conversión anteriormente descrita.

La relación de entrada y salida del conversor ADE7933, consiste en un voltaje pico de entrada de $0,5V$, genera una señal de salida de $5,320,000$.

La siguiente ecuación relaciona la señal de salida del conversor con la señal de entrada al medidor:

$$0,5V \rightarrow 5,320,000.$$

$$V1P \rightarrow DRV$$

Donde $DRV =$ Dato del rango de voltaje del conversor

$$V1P = \frac{DRV * 0,5}{5,320,000} \quad (5-6)$$

$$V1P = DRV * 9,39845 * 10^{-8} \quad (5-7)$$

Reemplazando la ecuación del divisor de voltaje 5-5 en 5-7

$$0,00100893 * V_{in} = DRV * 9,39845 * 10^{-8}$$

$$V_{in} = DRV * 0,00009315311 \quad (5-8)$$

La ecuación 5-8 modela la relación del voltaje de entrada al circuito al rango de voltaje del conversor.

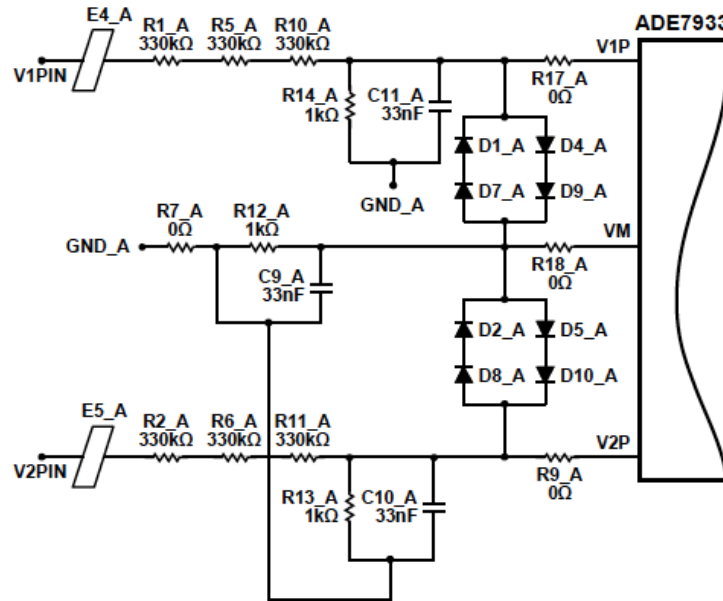


Figura 5-11.: Divisor de voltaje ADC

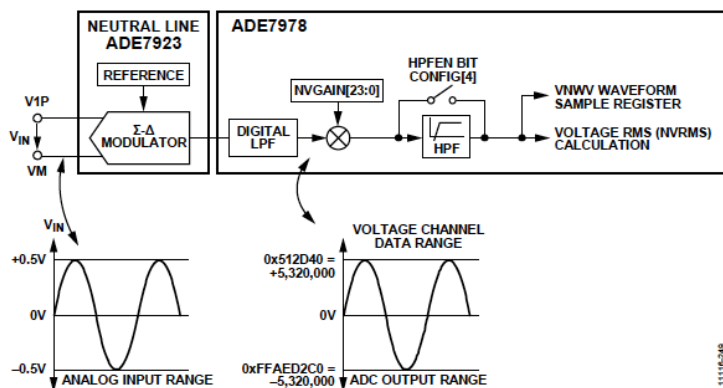


Figura 5-12.: Salida de voltaje del ADE 7978

5.3.4. Conversión de corriente

Para encontrar la relación que hay entre la entrada de corriente y el convertidor ADC fue necesario utilizar la ecuación de la recta arrojada por las muestras de la caracterización de las shunt y también fue necesario hallar la relación de voltaje entre el pin IP e IM que son los usados por el ADC para convertir la señal figura 5-13

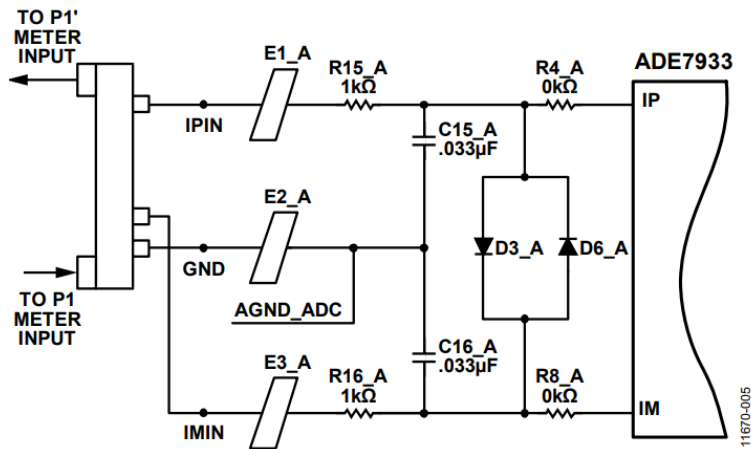


Figura 5-13.: Circuito de protección para los pines IP e IM

Como ya se tiene la relación entre la corriente de entrada y el voltaje de salida en la Shunt se procede hallar el voltaje entre el pin IP e IM resolviendo el circuito por medio del teorema de nodos como se muestra en la figura 5-14, los diodos de protección se eliminan ya que la tarjeta viene sin ellos de fabrica.

Para simplificar el circuito electrónico se remplaza el filtro de ferrita con la resistencia de 1k por R1, como el valor de los condensadores es el mismo, ambos condensadores se simbolizan con la letra C 5-14.

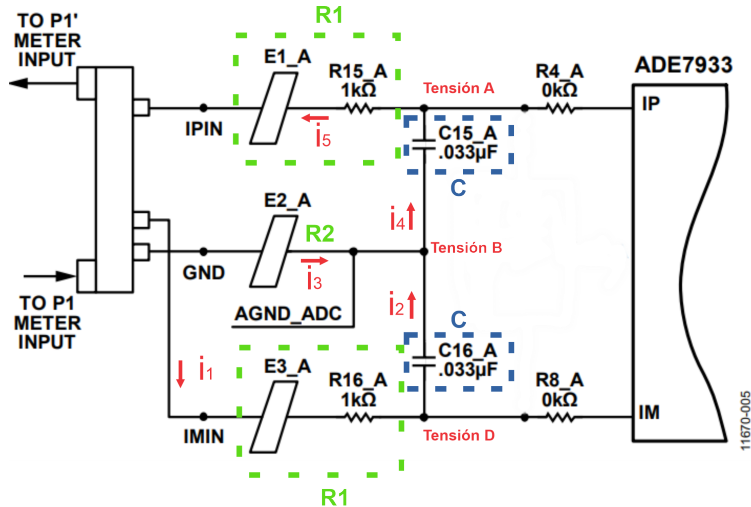


Figura 5-14.: Nodos aplicados al circuito

Se asume que el circuito se alimenta con una fuente de voltaje AC con terminal + en GND e IMIN y terminal – en IPIN resolviéndolo de la siguiente manera :

■ **Tensión D**

$$\mathbf{i}_1 = \mathbf{i}_2$$

$$\frac{V_i}{R_1} - \frac{D}{R_1} = \frac{D}{ZC} - \frac{B}{ZC}$$

$$\frac{B}{ZC} = \frac{D}{ZC} - \frac{V_i}{R_1} + \frac{D}{R_1}$$

$$\frac{B}{ZC} = D\left(\frac{1}{ZC} + \frac{1}{R_1}\right) - \frac{V_i}{R_1}$$

$$\frac{B}{ZC} = D\frac{R_1 + ZC}{R_1 ZC} - \frac{V_i}{R_1}$$

$$B = D\frac{R_1 + ZC}{R_1} - V_i\frac{ZC}{R_1} \quad (5-9)$$

■ **Tensión B**

$$\mathbf{i}_2 + \mathbf{i}_3 = \mathbf{i}_4$$

$$\frac{D}{ZC} - \frac{B}{ZC} + \frac{V_i}{R_2} - \frac{B}{R_2} = \frac{B}{ZC} - \frac{A}{ZC}$$

$$\frac{D}{ZC} + \frac{V_i}{R_2} + \frac{A}{ZC} = B\frac{2}{ZC} + \frac{B}{R_2}$$

$$\frac{D}{ZC} + \frac{V_i}{R_2} + \frac{A}{ZC} = B\left(\frac{2}{ZC} + \frac{1}{R_2}\right)$$

$$\frac{D}{ZC} + \frac{V_i}{R_2} + \frac{A}{ZC} = B\frac{2R_2 + ZC}{R_2 ZC}$$

$$D\frac{R_2}{2R_2 + ZC} + V_i\frac{ZC}{2R_2 + ZC} + A\frac{R_2}{2R_2 + ZC} = B \quad (5-10)$$

■ Tensión A

$$\mathbf{i}_4 = \mathbf{i}_5$$

$$\frac{B}{ZC} - \frac{A}{ZC} = \frac{A}{R_1}$$

$$\frac{B}{ZC} = \frac{A}{R_1} + \frac{A}{ZC}$$

$$\frac{B}{ZC} = A\left(\frac{1}{R_1} + \frac{1}{ZC}\right)$$

$$\frac{B}{ZC} = A \frac{R_1 + ZC}{R_1 ZC}$$

$$B = A \frac{R_1 + ZC}{R_1} \quad (5-11)$$

Remplazando la ecuación de Tensión D 5-9 en la ecuación de tensión B 5-10

$$D \frac{R_1 + ZC}{R_1} - V_i \frac{ZC}{R_1} = D \frac{R_2}{2R_2 + ZC} + V_i \frac{ZC}{2R_2 + ZC} + A \frac{R_2}{2R_2 + ZC}$$

$$A \frac{R_2}{2R_2 + ZC} = D \frac{R_1 + ZC}{R_1} - V_i \frac{ZC}{R_1} - D \frac{R_2}{2R_2 + ZC} - V_i \frac{ZC}{2R_2 + ZC}$$

$$A \frac{R_2}{2R_2 + ZC} = D \left(\frac{R_1 + ZC}{R_1} - \frac{R_2}{2R_2 + ZC} \right) - V_i \left(\frac{ZC}{R_1} + \frac{ZC}{2R_2 + ZC} \right)$$

$$A \frac{R_2}{2R_2 + ZC} = D \frac{(R_1 + ZC)(2R_2 + ZC) - R_1 R_2}{R_1(2R_2 + ZC)} - V_i \frac{ZC(2R_2 + ZC) + R_1 ZC}{R_1(2R_2 + ZC)}$$

$$A = D \frac{(R_1 + ZC)(2R_2 + ZC) - R_1 R_2}{R_1 R_2} - V_i \frac{ZC(2R_2 + ZC) + R_1 ZC}{R_1 R_2} \quad (5-12)$$

Remplazando la ecuación de tensión D 5-9 en la ecuación de tensión A 5-11

$$D \frac{R_1 + ZC}{R_1} - V_i \frac{ZC}{R_1} = A \frac{R_1 + ZC}{R_1}$$

$$A = D - V_i \frac{ZC}{R_1 + ZC} \quad (5-13)$$

Remplazando la ecuación 5-12 en la ecuación 5-13 para dejar D en términos de V_i

$$D \frac{(R_1 + ZC)(2R_2 + ZC) - R_1R_2}{R_1R_2} - V_i \frac{ZC(2R_2 + ZC) + R_1ZC}{R_1R_2} = D - V_i \frac{ZC}{R_1 + ZC}$$

$$D \frac{(R_1 + ZC)(2R_2 + ZC) - R_1R_2}{R_1R_2} - D = V_i \frac{ZC(2R_2 + ZC) + R_1ZC}{R_1R_2} - V_i \frac{ZC}{R_1 + ZC}$$

$$D \left(\frac{(R_1 + ZC)(2R_2 + ZC) - R_1R_2}{R_1R_2} - 1 \right) = V_i \left(\frac{ZC(2R_2 + ZC) + R_1ZC}{R_1R_2} - \frac{ZC}{R_1 + ZC} \right)$$

$$D \left(\frac{(R_1 + ZC)(2R_2 + ZC) - 2R_1R_2}{R_1R_2} \right) = V_i \frac{[ZC(2R_2 + ZC) + R_1ZC][R_1 + ZC] - R_1R_2ZC}{R_1R_2(R_1 + ZC)}$$

$$D = V_i \frac{[ZC(2R_2 + ZC) + R_1ZC][R_1 + ZC] - R_1R_2ZC}{[(R_1 + ZC)(2R_2 + ZC) - 2R_1R_2][R_1 + ZC]} \quad (5-14)$$

Remplazando 5-14 en la ecuación 5-13 para obtener A en términos de V_i

$$A = V_i \frac{[ZC(2R_2 + ZC) + R_1ZC][R_1 + ZC] - R_1R_2ZC}{[(R_1 + ZC)(2R_2 + ZC) - 2R_1R_2][R_1 + ZC]} - V_i \frac{ZC}{R_1 + ZC}$$

$$A = V_i \left(\frac{[ZC(2R_2 + ZC) + R_1ZC][R_1 + ZC] - R_1R_2ZC}{[(R_1 + ZC)(2R_2 + ZC) - 2R_1R_2][R_1 + ZC]} - \frac{ZC}{R_1 + ZC} \right)$$

$$A = V_i *$$

$$\frac{([ZC(2R_2 + ZC) + R_1ZC][R_1 + ZC] - R_1R_2ZC)(R_1 + ZC) - ZC[(R_1 + ZC)(2R_2 + ZC) - 2R_1R_2][R_1 + ZC]}{[(R_1 + ZC)(2R_2 + ZC) - 2R_1R_2][R_1 + ZC][R_1 + ZC]} \quad (5-15)$$

Con ayuda del software Matlab se remplazan los valores y se resuelve la ecuación D y A

```

R1 = 1150;
R2 = 150;
f = 60;
W = 2*pi*f;
C = 33*10^(-9);
ZC = -j/(W*C);

NumD = ( ZC*(2*R2+ZC) + R1*ZC )*(R1+ZC)-R1*R2*ZC
DenD = ((R1+ZC)*(2*R2+ZC)-2*R1*R2)*(R1+ZC)
D= NumD/DenD

NumA = ((ZC*(2*R2+ZC)+R1*ZC)*(R1+ZC)-R1*R2*ZC)*(R1+ZC)-ZC *
(R1+ZC)*(2*R2+ZC)-2*R1*R2)*(R1+ZC)
DenA = ((R1+ZC)*(2*R2+ZC)-2*R1*R2)*(R1+ZC)*(R1+ZC)
A= NumA/DenA

```

$$D = V_i(1,0000 - 0,0000j) \quad (5-16)$$

$$A = V_i(0,0002 + 0,0143j) \quad (5-17)$$

El voltaje que le entra a la tarjeta es la diferencia entre la tensión D y la tensión A

$$VIMIP = D-A$$

$$V_{IM-IP} = V_i(0,9998 - 0,0143j) \quad (5-18)$$

Usando la relación entre corriente y voltaje de las Shunt ecuaciones (5-1,5-2, 5-3) se remplaza para despejar la ecuación en términos de corriente y voltaje entre IM-IP

■ Shunt A

$$V_{IM-IP} = (0,0013805 * I + 0,00025643)(0,9998 - 0,0143j) \quad (5-19)$$

■ Shunt B

$$V_{IM-IP} = (0,001362 * I + 0,0002869)(0,9998 - 0,0143j) \quad (5-20)$$

■ Shunt C

$$V_{IM-IP} = (0,0013634 * I + 0,00027985)(0,9998 - 0,0143j) \quad (5-21)$$

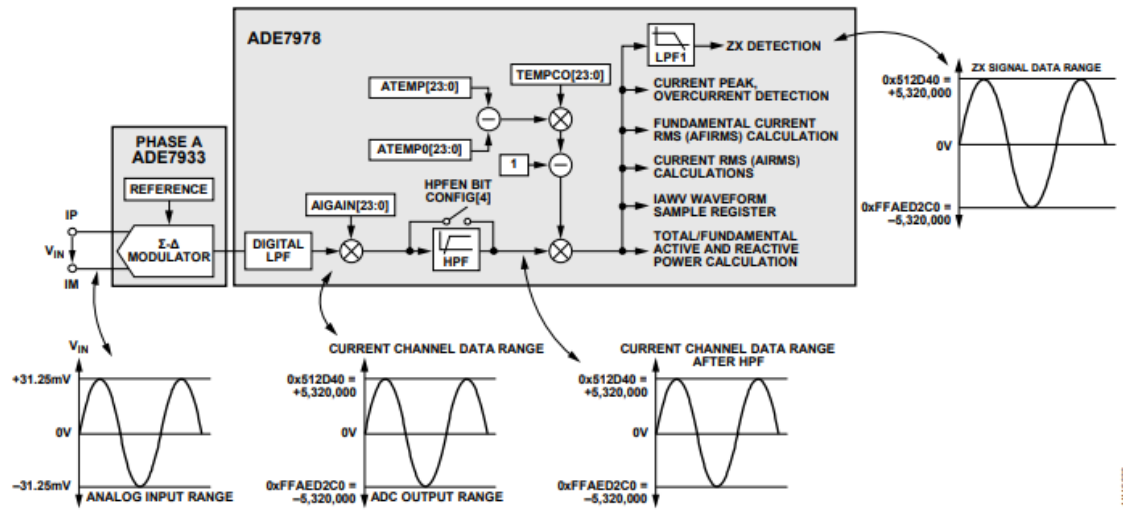


Figura 5-15.: Relacion ADC corriente

Teniendo en cuenta la conversion de salida del ADC figura 5-15 se halla la relacion entre corriente y salida del conversor con la ecuacion

$$31,25mV \rightarrow 5,320,000.$$

$$V_{IM-IP} \rightarrow DRI$$

Donde $DRI =$ Dato del rango de corriente del conversor

$$V_{IM-IP} = \frac{DRI * 0,03125}{5,320,000} \quad (5-22)$$

■ Shunt A

$$\frac{DRI * 0,03125}{5,320,000} = (0,0013805 * I + 0,00025643)(0,9998 - 0,0143j) \quad (5-23)$$

■ Shunt B

$$\frac{DRI * 0,03125}{5,320,000} = (0,001362 * I + 0,0002869)(0,9998 - 0,0143j) \quad (5-24)$$

■ Shunt C

$$\frac{DRI * 0,03125}{5,320,000} = (0,0013634 * I + 0,00027985)(0,9998 - 0,0143j) \quad (5-25)$$

Con ayuda de Matlab se resuelve la ecuación dejándola en términos de $I = f(ADCI)$.

■ Shunt A

```
eqn=(0.0013805*I + 0.00025643 ) *VIPIM ==
      ADCI*0.03125/5320000
solveI=solve(eqn, I)
```

$$I = ADCI * (4,2550e^{-6} + 6,0876e^{-8}j) - 1,8575e^{-1}$$

Esta expresión es la que se iba a usar para convertir la salida del ADCI en términos de corriente, pero como la Raspberry Pi no acepta números imaginarios, es necesario tener una constante de multiplicación para la conversión.

Para resolver esto, se decidió despreciar la parte imaginaria ya que tiene un valor muy pequeño comparado con la parte real

$$I = 4,2550e^{-6} * ADCI - 1,8575e^{-1} \quad (5-26)$$

■ Shunt B

```
eqn=(0.001362*I+0.0002869 ) *VIPIM == ADCI*0.03125/5320000
solveI=solve(eqn, I)
```

$$I = ADCI(4,3128e^{-6} + 6,1703e^{-8}i) - 2,1065e^{-1}$$

En la Shunt B también se cumple la misma condición de la Shunt A.

$$I = 4,3128e^{-6} * ADCI - 2,1065e^{-1} \quad (5-27)$$

■ Shunt C

```
eqn=(0.0013634*I + 0.00027985 ) *VIPIM ==
      ADCI*0.03125/5320000
solveI=solve(eqn, I)
```

$$I = ADI * (4,3084e^{-6} + 6,1639e^{-8}i) - 2,0526e^{-1}$$

En la Shunt C también se cumple la misma condición de la Shunt A.

$$I = 4,3084e^{-6} * ADCI - 2,0526e^{-1} \quad (5-28)$$

5.4. Desarrollo de Software

5.4.1. Implementación del protocolo I2C entre la raspberry y el ADE7978

El protocolo I2C es un estandar internacional para la comunicacion entre dispositivos. Siguiendo la teoria de comunicación I2C se conectó GPIO de la raspberry con el puerto de comunicación del ADE7978 como se muestra en la figura 5-16

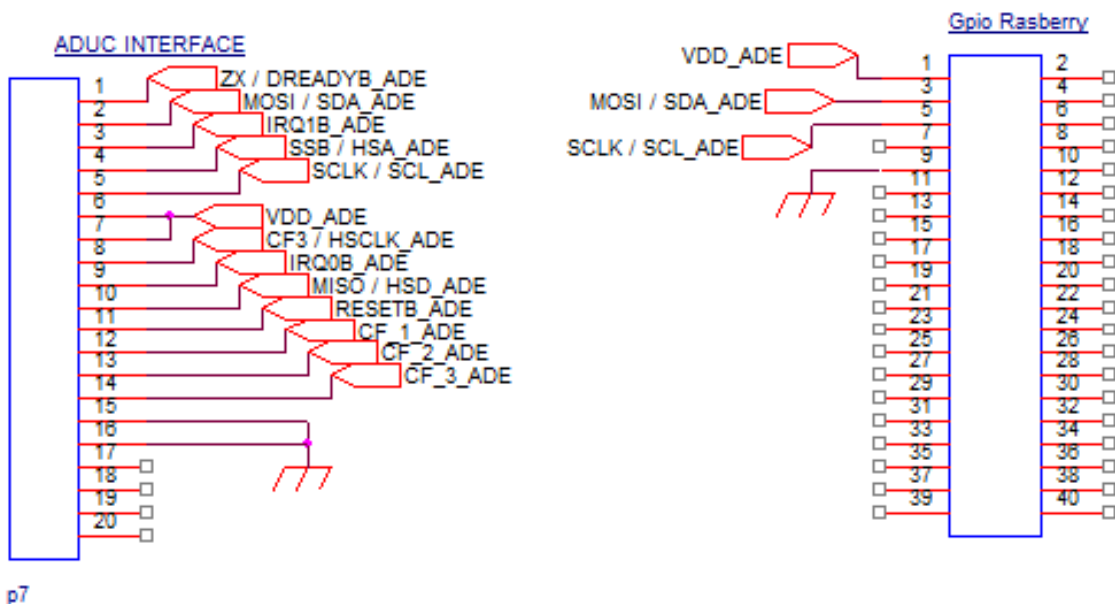


Figura 5-16.: Conexión I2C

El puerto de comunicacion del ADE7978 funciona 100 % como un esclavo a un clock maximo de 400kHz; en la operación de escritura se envia un bit en 0 para indicar que la operación va a iniciar, seguido de la dirección del dispositivo que es de 8 bits, seguido de la dirección del registro que se quiere escribir y por ultimo la información que se quiere escribir en el registro fig: 5-17; para la operación de lectura se debe envia un 0 para indicar que la operación va a iniciar, seguido de la dirección del dispositivo y la dirección del registro que se quiere leer, seguido de otro bit en 0 y la dirección del dispositivo nuevamente, en ese momento se empieza a recibir la información que esta alojada en ese registro fig: 5-18.

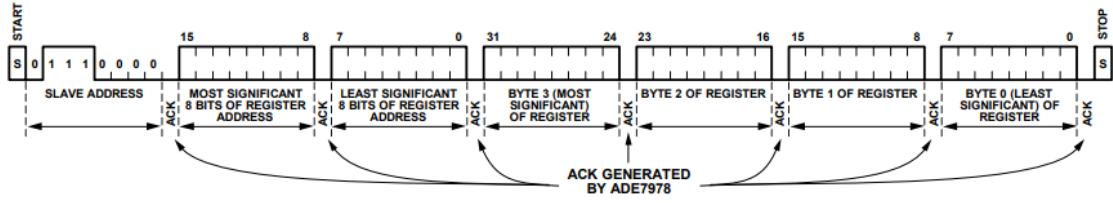


Figura 5-17.: Protocolo de escritura I2C

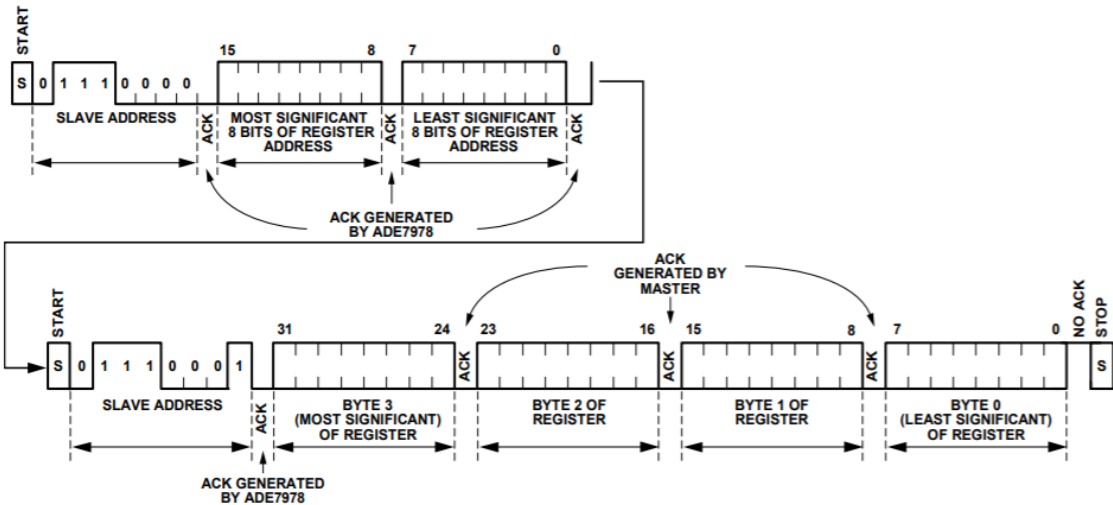


Figura 5-18.: Protocolo de lectura I2C

Con la teoría obtenida del datasheet, se realizó la programación de esta comunicación por medio del lenguaje c++, usando la librería BCM2835 [15], a esta librería fue necesario realizarle un cambio en la función de lectura del puerto I2C, ya que esta librería está desarrollada para enviar direcciones de registro de solo 8 bits y en el caso del ADE 7978 cada dirección de registro es de 16 bits, esta modificación se realizó en el método **bcm2835_i2c read register rs** agregandole un segundo carácter al la operación de envio de la siguiente manera :

```
/* Clear FIFO */
bcm2835_peri_set_bits(control, BCM2835_BSC_C_CLEAR_1 ,
BCM2835_BSC_C_CLEAR_1 );
/* Clear Status */
bcm2835_peri_write(status, BCM2835_BSC_S_CLKT | BCM2835_BSC_S_ERR |
BCM2835_BSC_S_DONE);
```

```

/* Set Data Length */
bcm2835_peri_write(dlen, 1);
/* Enable device and start transfer */
bcm2835_peri_write(control, BCM2835_BSC_C_I2CEN);
bcm2835_peri_write(fifo, regaddr[1]);
bcm2835_peri_write(fifo, regaddr[0]);
bcm2835_peri_write(control, BCM2835_BSC_C_I2CEN | BCM2835_BSC_C_ST);

```

Teniendo el código editado, se instaló la librería como lo recomienda el fabricante, una vez instalada la librería se desarrolló la primera parte de la comunicación en C++ tomando como ejemplo la comunicación que realiza el mismo fabricante

- Importar la librería bcm2835.h
- Iniciar el puerto puente de pines de la raspberry
- Iniciar el puerto de comunicación I2C
- Cargar la dirección del dispositivo esclavo
- Cargar la frecuencia del clock
- Llamar el método de lectura pasandole la dirección del registro, bus de datos y la longitud del mismo
- Terminar la comunicación del puerto I2C y del puerto de la raspberry

Con estos pasos ya se obtiene el dato en el bus, el código de los pasos es el siguiente:

```

//iniciar puerto raspberry
//bcm2835_init();
init = I2C_BEGIN;
if (!bcm2835_init())
{
    printf("Falló bcm2835_init, corra el programa con permisos de
           administrador\n"); //("bcm2835_init failed. Are you running
           as root??\n");
}
// I2C begin if specified
if (init == I2C_BEGIN)
{
    if (!bcm2835_i2c_begin())
    {

```

```

        printf("Falló bcm2835_begin, corra el programa con permisos
               de administrador\n"); //("bcm2835_i2c_begin failed. Are
               you running as root??\n");
    }
}

//Cargar dirección del esclavo
bcm2835_i2c_setSlaveAddress(slave_address);
//Cargar la frecuencia del clock
bcm2835_i2c_setClockDivider(clk_div);

//Cargar variable buf con el Value
bcm2835_i2c_read_register_rs(dir, buf, Len_dato);
//termina la comunicación para no sobresaturar el puerto
bcm2835_i2c_end();
bcm2835_close();

```

5.4.2. Backend Solución en c++

Con la prueba exitosa se comenzó a desarrollar toda la logica del programa para tomar todos los registros de la DSP

- Se creó una clase que contenga todas las propiedades y métodos que describan el funcionamiento de los registros
- Crear un objeto de la clase creada por cada registro de la DSP
- Crear funciones dentro del programa que permitan la manipulacion y el analisis de dichos registros
- Mantener el programa principal en un bucle infinito para que siempre se ejecute.

Se creó una clase con el nombre Registro contenido las siguientes propiedades y métodos

Propiedades

- Address: dirección en exadecimal de la posición en memoria del registro.
- Len dato: tamaño en bytes de la información contenida en el registro.
- Name: Nombre del registro dado por el datasheet.
- Value: Valor actual de la ultima lectura o escritura realizada al registro.

- ConValue: Valor convertido.

Métodos

- Constructores: se crean dos constructores al primero se le pasa el nombre la dirección y la longitud del registro, el segundo constructor se crea sin parametros para inicializar los registros y despues configurarlos.
- GetName: Método para obtener el nombre que tiene el registro.
- GetValue: Método para obtener el valor cargado o leído en el registro.
- GetConValue: Método para obtener el valor convertido cargado en el registro.
- Read: Método para activar el puerto I2C y leer el registro cargando el valor leído en Value.
- Write: Método para activar el puerto I2C, escribir y actualizar el contenido de un registro.
- SetValue: Método para cargar en el registro el valor que se quiere escribir en el ADE
- SetConValue: Método para cargar el valor convertido en el registro.
- Config_Obj: Método para pasarle la configuración de los registros, en este método resive el nombre del registro, la dirección de memoria y el tamaño del dato.

Teniendo las propiedades métodos de la clase declarados en el programa, se realizó la lógica del programa para analizar los datos obtenidos y enviarlos al front, para realizar esto se crearon varios métodos que posteriormente se llamarán en el programa principal, los métodos creados son los siguientes

- Read_all_registers : Método para leer todos los registros configurados.
- Config_registers : Método para crear todos los registros como un objeto de la clase Registro, pasandole a cada uno su nombre, dirección y longitud del dato que guarda en bytes.
- Burst_mode: Método para leer los registros de una sola vez al mismo tiempo.
- Run_DSP: Método para escribir en el registro de inicio de la DSP y ponerla en marcha.
- Stop_DSP: Método para escribir en el registro de inicio de la DSP y apagarla.

- Initializing_the_chipset: Metodo para configurar los registros de la DSP segun el datasheet.
- Read_registers: Metodo para leer los registros deseados.
- SetJsonCurrent: Metodo que convierte los datos de corriente leidos del ADE a formato Json
- SetJsonVoltaje: Metodo que convierte los datos de voltaje leidos del ADE a formato Json

Para mas información de como esta diseñado el programa, visitar el repositorio publico github [16]

5.4.3. Backend Configuración del servidor

Se realizó una investigación de servidores en la nube y se optó por usar Heroku ya que tiene una opción gratuita que permite alojar hasta 5 aplicaciones con un límite de peso de 512MB.

Configuración de la base de datos

Para realizar la configuración de la base de datos en Heroku, se hizo a través del gestor de paquetes de javascript Node Js. En las instrucciones del package.json se ejecuta el comando npm run start el cual ejecuta un archivo javascript con el siguiente código:

```
const jsonServer = require('json-server');
const server = jsonServer.create();
const router = jsonServer.router('db.json');
const middlewares = jsonServer.defaults();
const port = process.env.PORT || 3000;

server.use(middlewares);
server.use(router);

server.listen(port);
```

De esta manera, Node levanta un servidor local en el puerto 3000 y heroku lo expone públicamente a través de la URL <https://json-ade-metering.herokuapp.com/>.

Para configurar el archivo .json con la información, se creó un archivo llamado 'db.json' con una estructura básica inicial para almacenar datos. La estrutura básica se muestra a continuación:

```
{
  "registers": [
    {}
  ]
}
```

De esta manera se habilita la consulta de los registros por medio una petición GET a la URL <https://json-ade-metering.herokuapp.com/registers>. Si se desea insertar (POST), actualizar (PUT) o eliminar (DELETE) información, se apunta al mismo endpoint pero con su respectivo método.

Configuración de la aplicación en Angular 7

La configuración del proyecto en Angular es muy similar a la de la base da datos. Se hace a través del gestor de paquetes de javascript Node Js. De igual manera en el archivo package.json se ejecuta el comando npm run start y acciona el siguiente script:

```
//Install express server
const express = require('express');
const path = require('path');

const app = express();

// Serve only the static files form the dist directory
app.use(express.static('./dist/angular-pro-sidebar'));

app.get('/*', function (req, res) {

  res.sendFile(path.join(__dirname,
    '/dist/angular-pro-sidebar/index.html'));
});

// Start the app by listening on the default Heroku port
app.listen(process.env.PORT || 8080);
```

La aplicación en Angular se habilita en el puerto 8080 y heroku lo expone publicamente por medio de la URL <https://ieee-1459-usta.herokuapp.com/home>.

5.4.4. Backend Solución con Node.js

Se requirió realizar un programa en javascript, que cumpla la función de enviar el archivo db.json que genera el programa en C++, a la base de datos en Heroku. Para la comunicación se usó el paquete "xmlhttprequest", para relajar las peticiones HTTPS a la base de datos. El código que se desarrolló, es el siguiente:

```

setInterval(init, 50)

function init() {
    try {
        var XMLHttpRequest =
            require("xmlhttprequest").XMLHttpRequest;
        var xhr = new XMLHttpRequest();
        const fs = require('fs')
        let rawdata = fs.readFileSync('db.json')
        let registers = JSON.parse(rawdata)
        xhr.open("PUT",
            'https://json-ade-metering.herokuapp.com/registers/1',
            true);
        xhr.setRequestHeader('Content-Type', 'application/json');
        xhr.send(JSON.stringify(registers));
        console.log(registers);
        console.log("ESCRIBE")
    } catch {
        console.log("ERROR")
    }
}

```

El código anteriormente descrito, se ejecuta cada 50 milisegundos a través de una función de javascript llamada "setInterval(callback,timer)", esa función dispara la función init, la cual lee el archivo db.json y hace una petición PUT al servidor para actualizar los registros.

5.4.5. Frontend Solución en Angular

Para la creación de la página web, se usó el framework javascript Angular 7, ya que implementa el lenguaje de programación 'TypeScript' y permite asignar un tipo de variable a las variables de javascript y tener un mayor control del proyecto. De igual manera es necesario saber de HTML5, CSS3 y javascript para la creación de la página.

Para instalar Angular es necesario tener node instalado en el computador. Para instalar node,

por medio de la URL <https://nodejs.org/es/>, se descargó y se siguió el paso a paso del instalador. Figura 5-19



Figura 5-19.: Descarga de Node JS

Una vez instalado Node, se abrió una consola de comandos y se ejecutó el comando 'npm install -g @angular/cli' y de esta manera se instaló angular de forma global en el computador.

Para crear el proyecto en Angular se utilizó el comando 'ng new usta-tesis' y de esta forma, Angular generó todos los archivos y dependencias necesarias para generar la aplicación. Una vez hecha la configuración, se dirigió a la raíz de proyecto ejecutando el comando 'cd usta-tesis', después se ejecutó el comando 'ng serve -o' y este comando levanta un servidor local que por defecto es en la dirección <http://localhost:4200> y la aplicación ya queda visible para empezar a trabajar en el proyecto. Figura 5-20, 5-21

```
[WKMCO2007647:Profile gersanch$ ng new usta-tesis
[?] Would you like to add Angular routing? Yes
[?] Which stylesheet format would you like to use? CSS
```

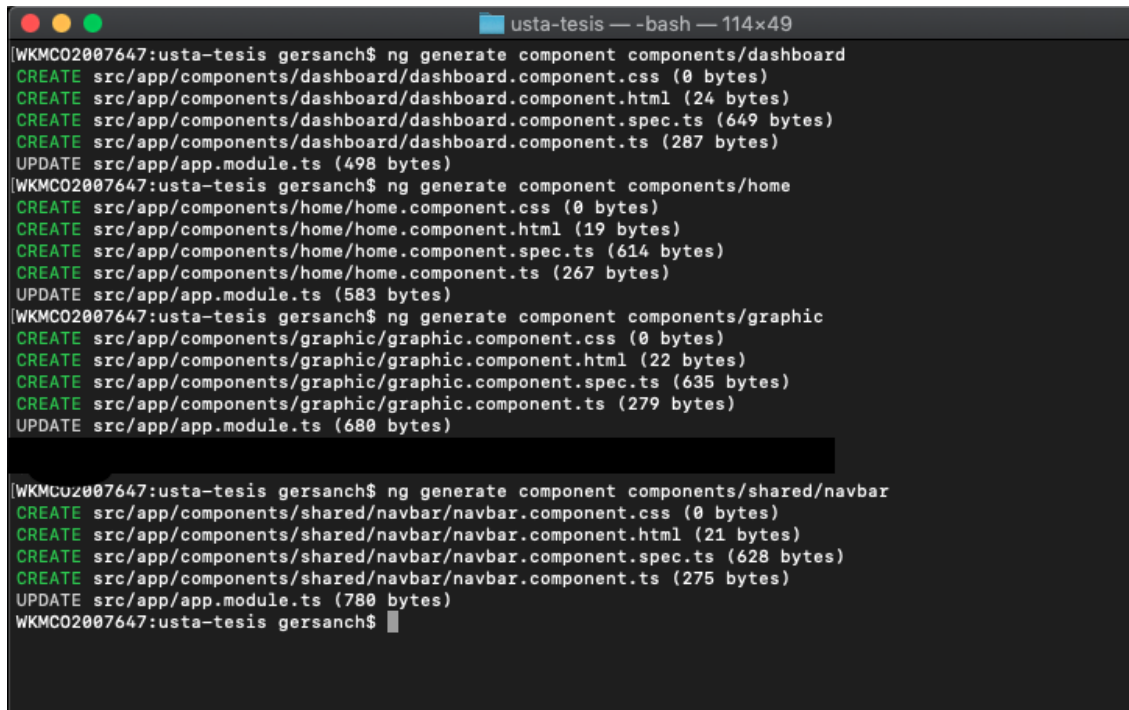
Figura 5-20.: Creación de proyecto en Angular

```
ustat-tesis — node -o TERM_PROGRAM=Apple_Terminal SHELL=/bin/bash TERM=xterm-256color — 114x49
[WKMC02007647:Profile gersanch$ cd ustata-tesis/
[WKMC02007647:usta-tesis gersanch$ ng serve -o
Compiling @angular/core : es2015 as esm2015
Compiling @angular/animations : es2015 as esm2015
Compiling @angular/compiler/testing : es2015 as esm2015
Compiling @angular/animations/browser : es2015 as esm2015
Compiling @angular/core/testing : es2015 as esm2015
Compiling @angular/common : es2015 as esm2015
Compiling @angular/platform-browser : es2015 as esm2015
Compiling @angular/common/http : es2015 as esm2015
Compiling @angular/common/testing : es2015 as esm2015
Compiling @angular/platform-browser-dynamic : es2015 as esm2015
Compiling @angular/platform-browser/testing : es2015 as esm2015
Compiling @angular/router : es2015 as esm2015
Compiling @angular/animations/browser/testing : es2015 as esm2015
Compiling @angular/common/http/testing : es2015 as esm2015
Compiling @angular/forms : es2015 as esm2015
Compiling @angular/platform-browser/animations : es2015 as esm2015
Compiling @angular/platform-browser-dynamic/testing : es2015 as esm2015
Compiling @angular/router/testing : es2015 as esm2015

chunk {main} main.js, main.js.map (main) 60.6 kB [initial] [rendered]
chunk {polyfills} polyfills.js, polyfills.js.map (polyfills) 141 kB [initial] [rendered]
chunk {runtime} runtime.js, runtime.js.map (runtime) 6.15 kB [entry] [rendered]
chunk {styles} styles.js, styles.js.map (styles) 12.4 kB [initial] [rendered]
chunk {vendor} vendor.js, vendor.js.map (vendor) 3 MB [initial] [rendered]
Date: 2020-05-27T19:46:05.383Z - Hash: 656a232ab0f7aa7df32b - Time: 16913ms
** Angular Live Development Server is listening on localhost:4200, open your browser on http://localhost:4200/ **
: Compiled successfully.
```

Figura 5-21.: Levantar servidor local en Angular

En Angular, un componente hace referencia a una sección visual de la página y estos componentes se crean a través del comando 'ng generate component componentName'. Cada componente cuenta con un archivo .html , .ts y .css. Para el proyecto creamos 4 componentes con los comandos de la figura 5-22.



```
[WKMCO2007647:usta-tesis gersanch$ ng generate component components/dashboard
CREATE src/app/components/dashboard/dashboard.component.css (0 bytes)
CREATE src/app/components/dashboard/dashboard.component.html (24 bytes)
CREATE src/app/components/dashboard/dashboard.component.spec.ts (649 bytes)
CREATE src/app/components/dashboard/dashboard.component.ts (287 bytes)
UPDATE src/app/app.module.ts (498 bytes)
[WKMCO2007647:usta-tesis gersanch$ ng generate component components/home
CREATE src/app/components/home/home.component.css (0 bytes)
CREATE src/app/components/home/home.component.html (19 bytes)
CREATE src/app/components/home/home.component.spec.ts (614 bytes)
CREATE src/app/components/home/home.component.ts (267 bytes)
UPDATE src/app/app.module.ts (583 bytes)
[WKMCO2007647:usta-tesis gersanch$ ng generate component components/graphic
CREATE src/app/components/graphic/graphic.component.css (0 bytes)
CREATE src/app/components/graphic/graphic.component.html (22 bytes)
CREATE src/app/components/graphic/graphic.component.spec.ts (635 bytes)
CREATE src/app/components/graphic/graphic.component.ts (279 bytes)
UPDATE src/app/app.module.ts (680 bytes)

[WKMCO2007647:usta-tesis gersanch$ ng generate component components/shared/navbar
CREATE src/app/components/shared/navbar/navbar.component.css (0 bytes)
CREATE src/app/components/shared/navbar/navbar.component.html (21 bytes)
CREATE src/app/components/shared/navbar/navbar.component.spec.ts (628 bytes)
CREATE src/app/components/shared/navbar/navbar.component.ts (275 bytes)
UPDATE src/app/app.module.ts (780 bytes)
WKMCO2007647:usta-tesis gersanch$ ]
```

Figura 5-22.: Creación de componentes en Angular

Con los componentes creados, se empezó a implementar el código necesario para crear la vista, los estilos y la funcionalidad.

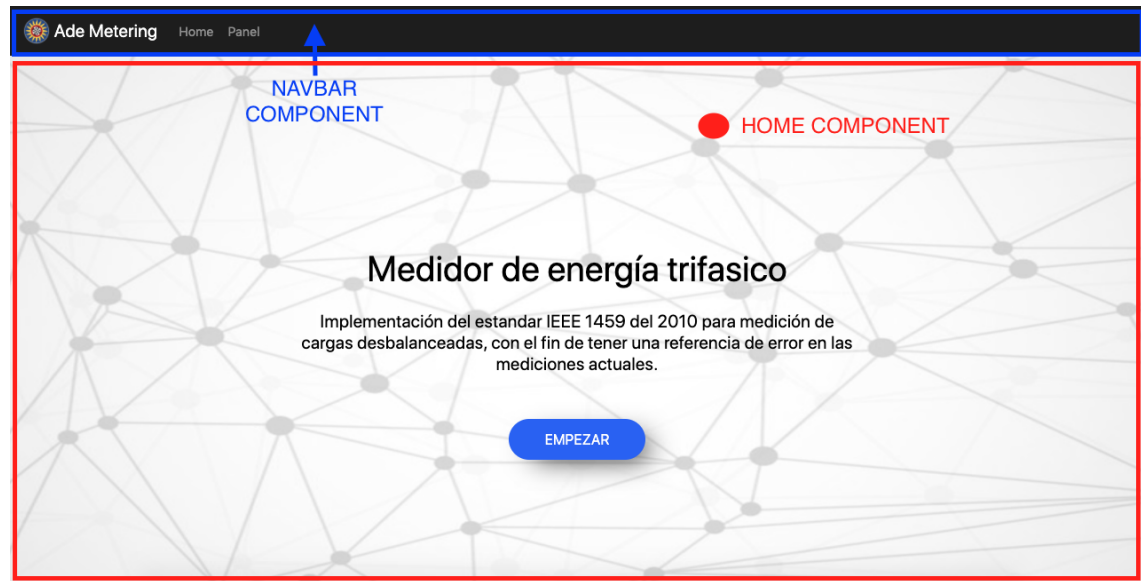


Figura 5-23.: Componentes home y navbar

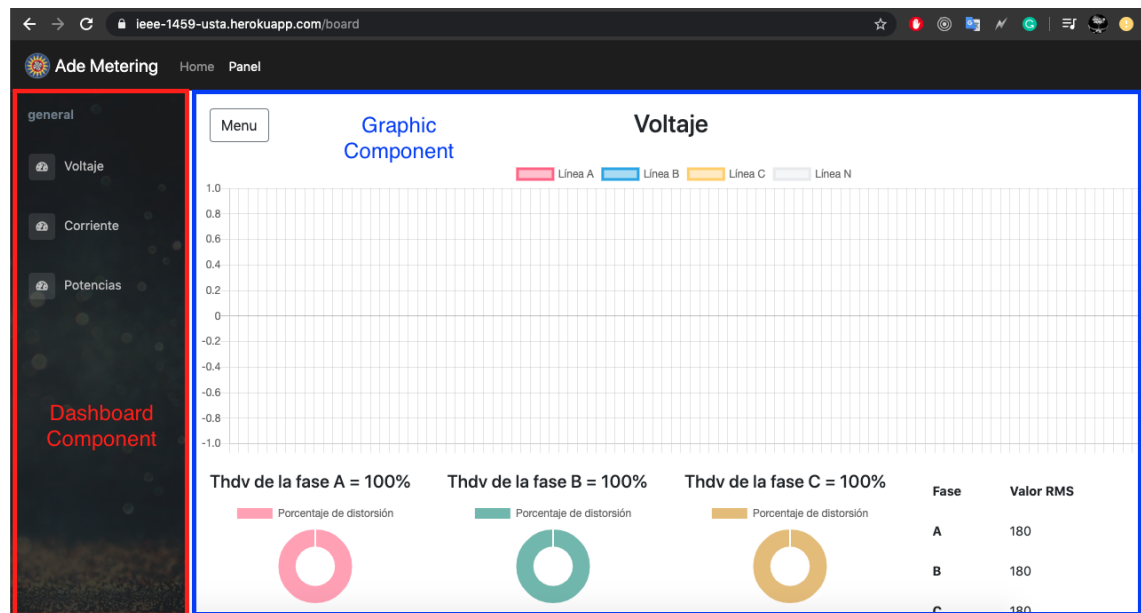


Figura 5-24.: Componentes graphic y dashboard

6. Resultados del proyecto

6.1. Primer Prueba

Se procedió a realizar la primer prueba con nuestro medidor y debido que en ese momento el mundo se encontraba en la pandemia del COVID-19, tocó realizar pruebas con cargas domésticas las cuales fueron las siguientes:

- Bombillo de 9 W.
- Portatil dell.
- Osciloscopio.
- Raspberry.
- TV de 111 W.
- Play Station 3,
- Parlantes.
- Licuadora.
- Licuadora Nutribullet.
- Plancha de 1000 W.

**El valor de referencia es el osciloscopio o multímetro y el experimental es el valor de la tarjeta

Tabla 6-1.: Resultados de la prueba N° 1

CARGA	MULTÍMETRO		TARJETA
	Corriente	Voltaje	Corriente
Bombillo led de 9WT	0,0772	122	0,841756
Portatil, osciloscopio, Raspberry, TV(111W), Play 3, Parlantes	1,4	122	2,484538
Licuadora	2,11	122	3,107830
Licuadora pequeña	1,46	122	2,329137
Licuadora + licuadora pequeña	3,87	121	5,067270
Plancha de 1000W	9,2	118	10,72483
Licuadora + licuadora pequeña + plancha	12,55	116	14,67853

OSCILOSCOPIO	Diferencias de corriente (A)		Diferencia de voltaje(V)		
	Voltaje	Error Absoluto	Error relativo	Error Absoluto	Error relativo
119,93	0,764556821	990 %	2,07	2 %	
119,53	1,084538555	77 %	2,47	2 %	
119,63	0,997830763	47 %	2,37	2 %	
119,87	0,869137564	60 %	2,13	2 %	
118,56	1,197270279	31 %	2,44	2 %	
120	1,524831581	17 %	-2	2 %	
114,5	2,128533554	17 %	1,5	1 %	
**Promedio de diferencia =	1,22381416	177 %	1,568571429	2 %	

Corriente Tarjeta(A) vs Corriente Multímetro(A)

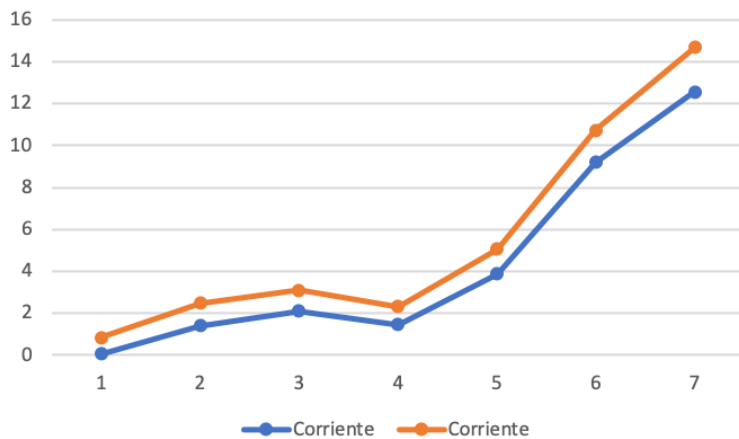


Figura 6-1.: Corriente Tarjeta vs Corriente Multímetro

En esta prueba, solo se comparó los registros de corriente rms y voltaje rms que entrega el software con un amperímetro y un osciloscopio midiendo voltaje. De igual manera, se calculó un error absoluto y relativo para después ajustar los datos.

En la figura **6-1**, la corriente de la tarjeta, tiene presión en su medición más hace falta ajustar su exactitud tomando como referencia otro instrumento de medición que se encuentre calibrado.

Según la tabla **6-1**, el promedio de error de voltaje es de un 2 %. El error de corriente es de 177 %, sin embargo ese valor tan alto es debido a que la medición de una carga que consume baja energía como lo es el bombillo, no está dentro de la tolerancia de energía que admite la tarjeta. En la medición del bombillo hay un error relativo del 990 % con respecto a la corriente del amperímetro; por lo tanto, se procede a realizar pruebas con cargas que consuman más energía.



Figura 6-2.: Cargas utilizadas en la primera prueba

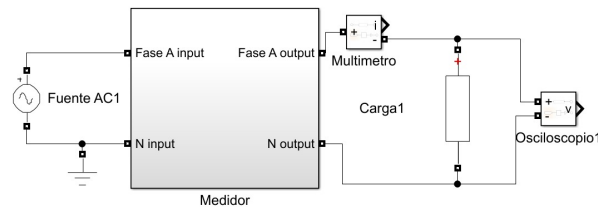


Figura 6-3.: Esquema de conexión utilizado en la primera prueba

6.2. Segunda Prueba

En esta prueba se decidió medir todo el ciclo de lavado de una lavadora, con el fin de obtener datos en distintos escenarios los cuales sería llenado, lavado y centrifugado y tener una medición más estable.

Carga:

- Lavadora whirlpool de 9.8 A.

Ciclos de lavado:

- Heavy
- Regular
- Super wash
- Centrifugado

- Rinse
- Llenado



Figura 6-4.: Carga utilizada en la segunda prueba

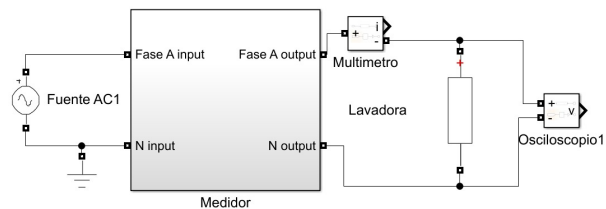


Figura 6-5.: Esquema de conexión utilizado en la segunda prueba

El análisis se realizó con respecto a los ciclos de lavado y en los todos los ciclos los siguientes datos fueron comunes:

- Volatje RMS total con un valor promedio de 121 V en todos los ciclos.
- Volatje RMS Fundamental con un valor promedio de 120,97 V en todos los ciclos.

6.2.1. Análisis en el ciclo heavy

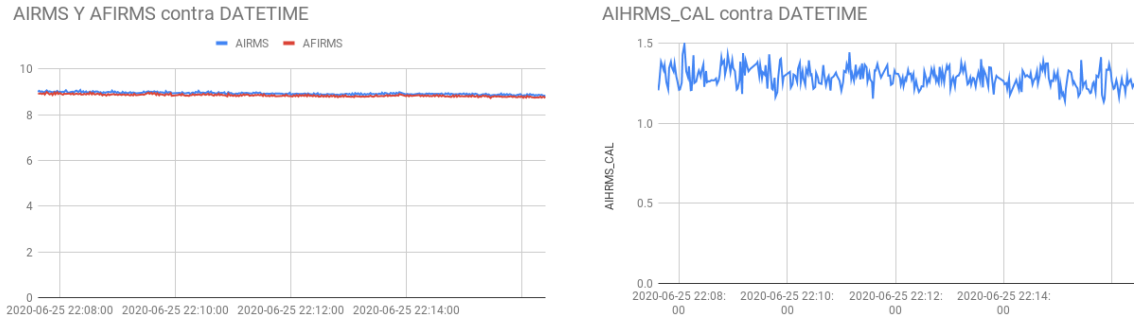


Figura 6-6.: AIRMS, AFIRMS Y AIHRMS-CAL VS DATETIME EN EL CICLO HEAVY

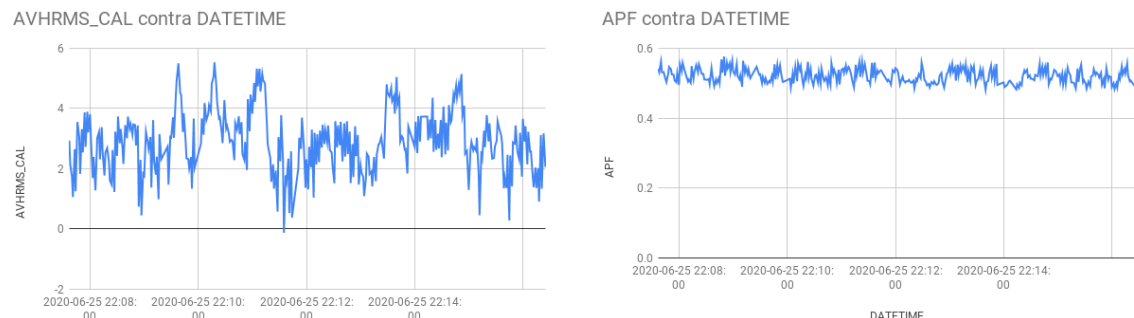


Figura 6-7.: AVHRMS Y APF VS DATETIME EN EL CICLO HEAVY

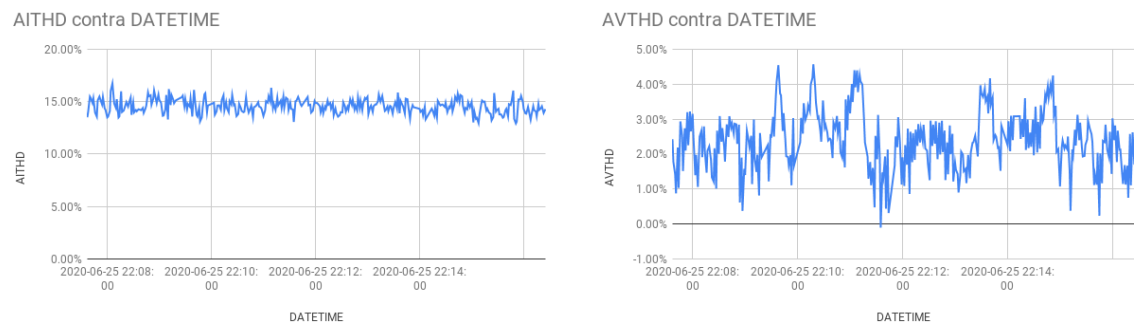
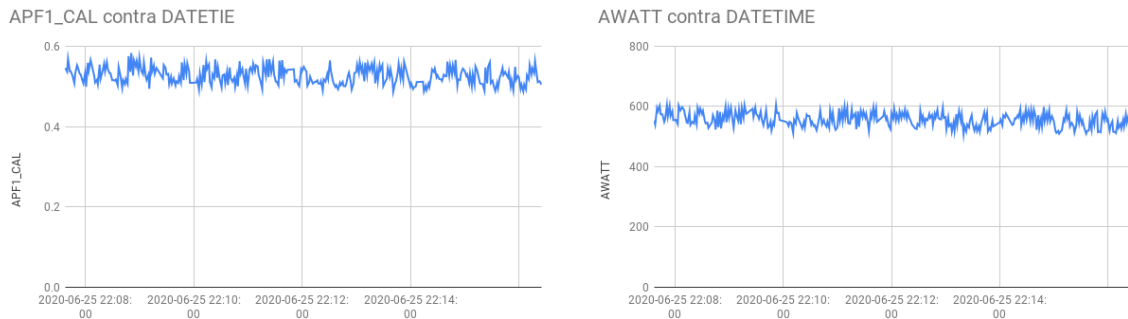
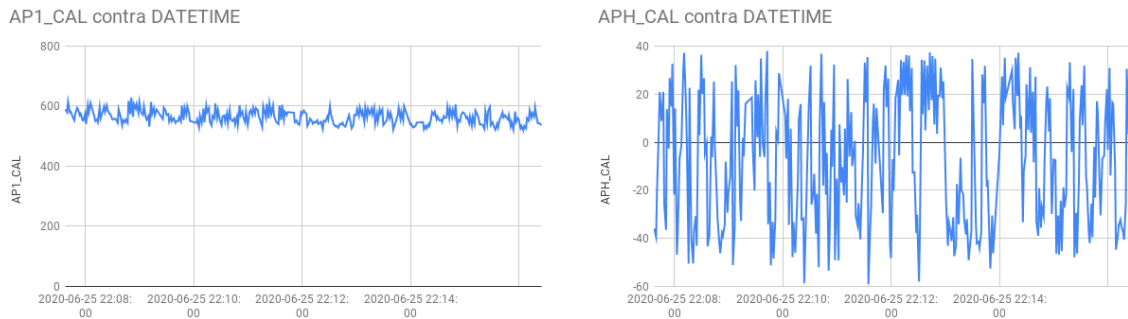
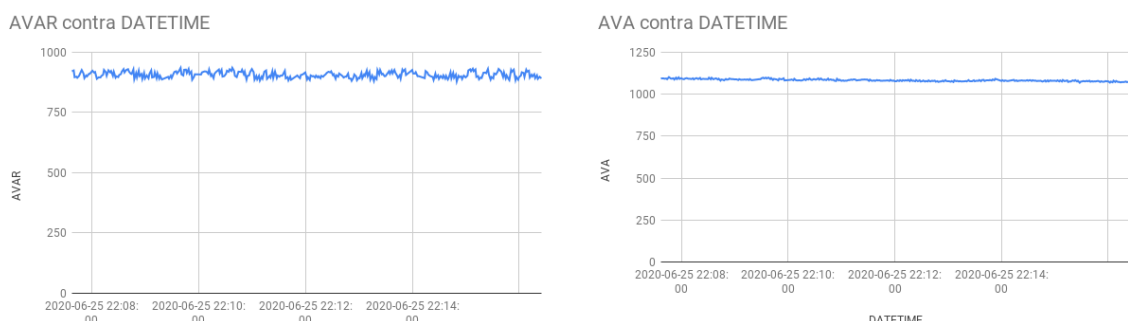


Figura 6-8.: AITHD Y AVTHD VS DATETIME EN EL CICLO HEAVY

**Figura 6-9.: APF1-CAL Y AWATT VS DATETIME EN EL CICLO HEAVY****Figura 6-10.: AP1-CAL Y APH-CAL VS DATETIME EN EL CICLO HEAVY****Figura 6-11.: AVAR Y AVA VS DATETIME EN EL CICLO HEAVY**

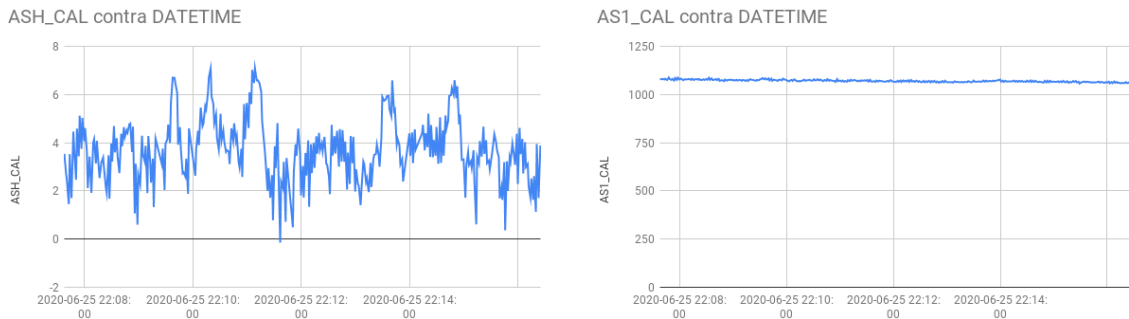


Figura 6-12.: ASH-CAL Y AS1-CAL VS DATETIME EN EL CICLO HEAVY

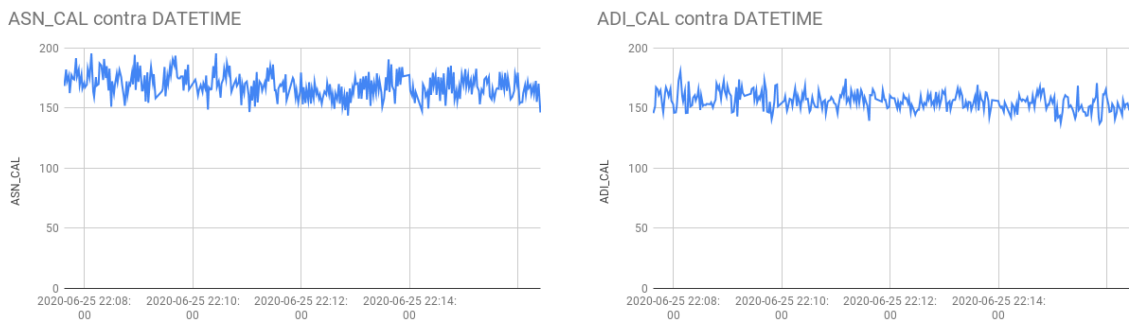


Figura 6-13.: ASN-CAL Y ADI-CAL VS DATETIME EN EL CICLO HEAVY

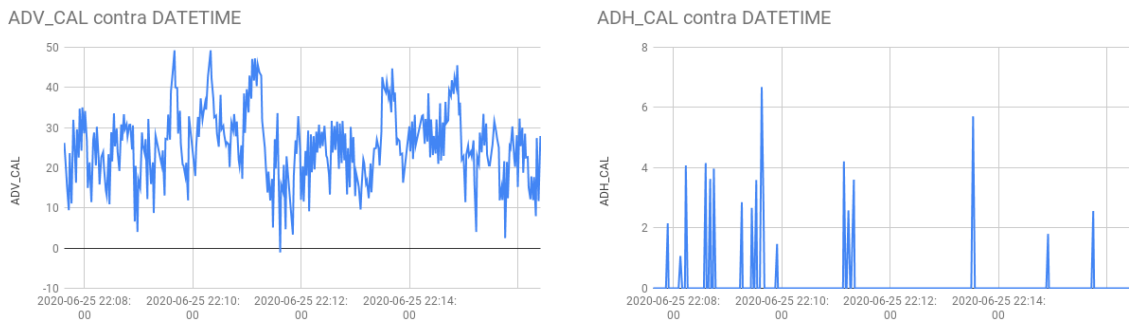


Figura 6-14.: ADV-CAL Y ADH-CAL VS DATETIME EN EL CICLO HEAVY

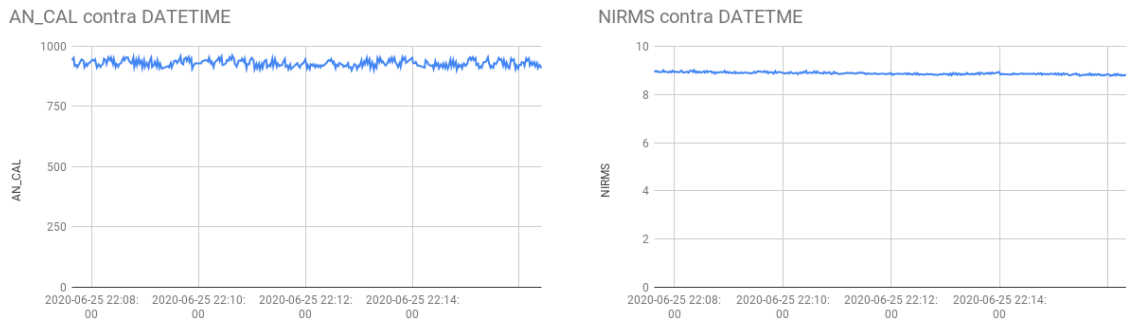


Figura 6-15.: AN-CAL Y NIRMS VS DATETIME EN EL CICLO HEAVY

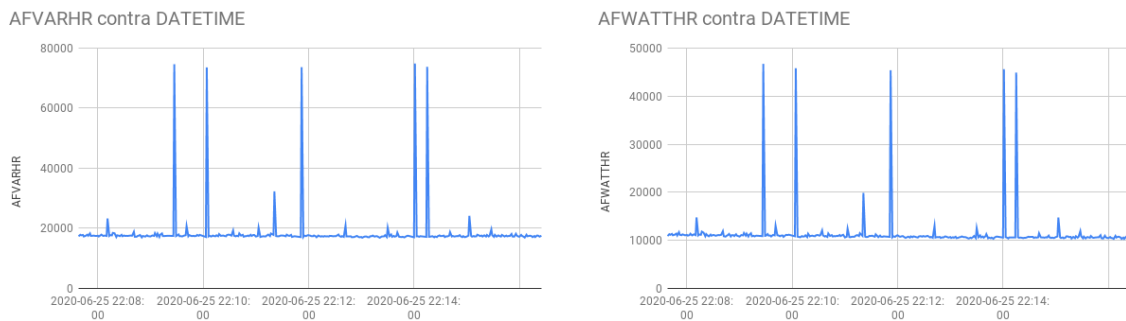


Figura 6-16.: AFVARHR Y AFWATTHR VS DATETIME EN EL CICLO HEAVY

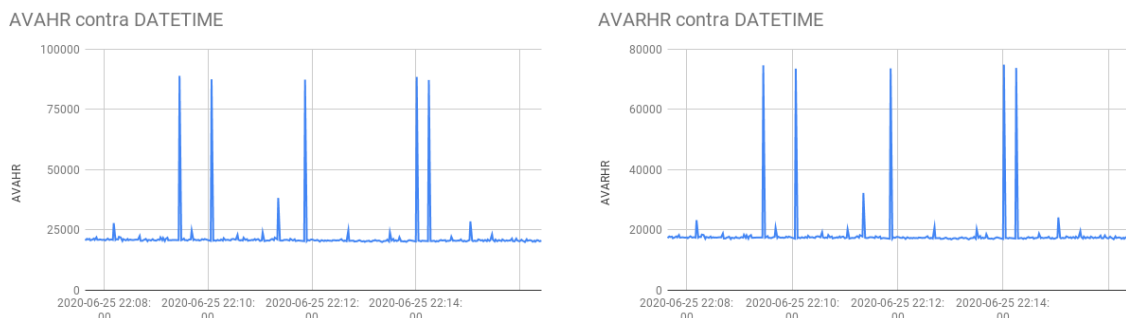


Figura 6-17.: AVAHR Y AVARHR VS DATETIME EN EL CICLO HEAVY

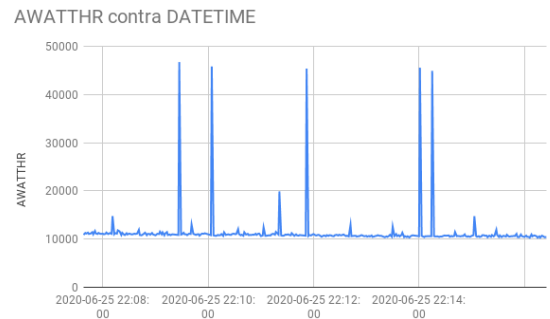


Figura 6-18.: AWATTHR VS DATETIME EN EL CICLO HEAVY

6.2.2. Análisis en el ciclo regular

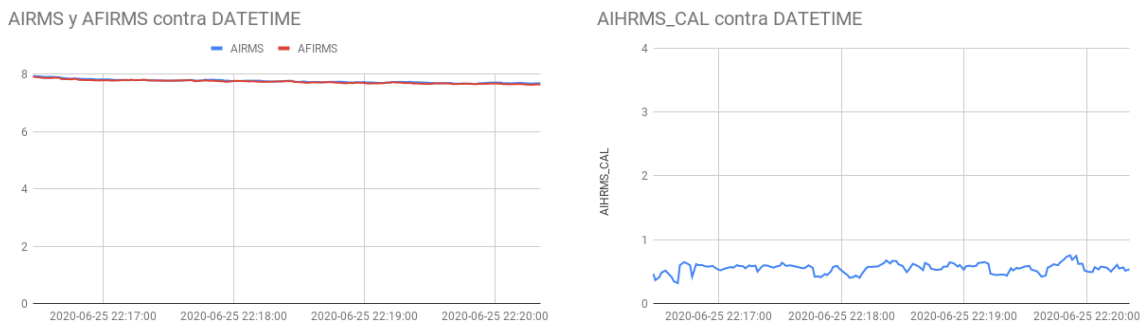


Figura 6-19.: AIRMS, AFIRMS Y AIHRMS-CAL VS DATETIME EN EL CICLO REGULAR

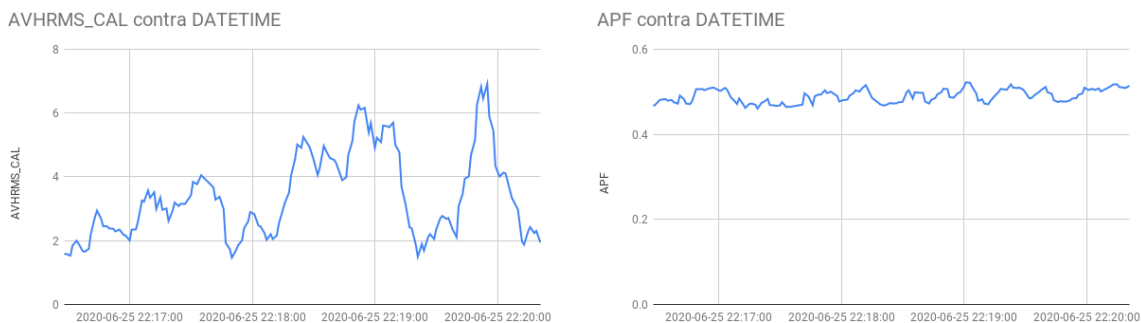
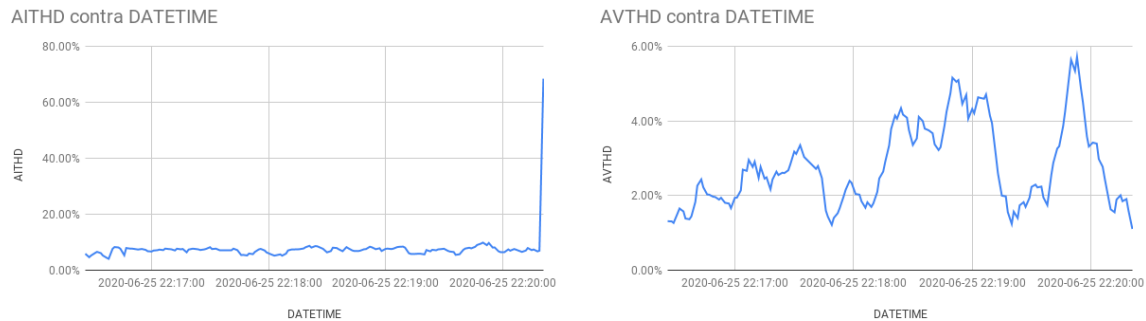
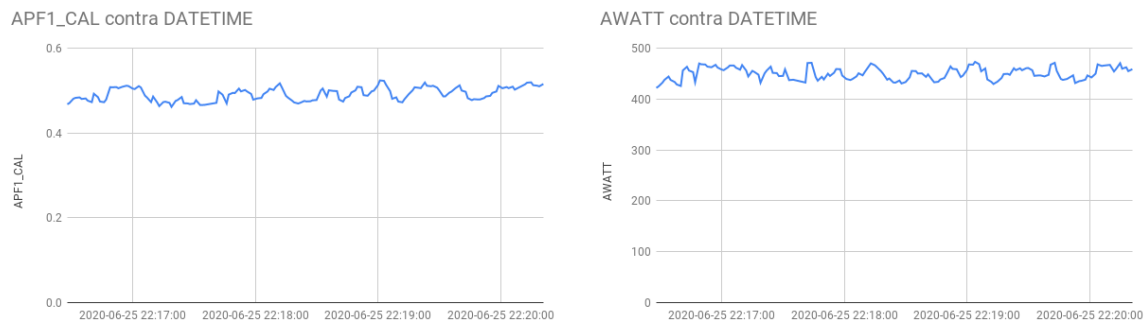
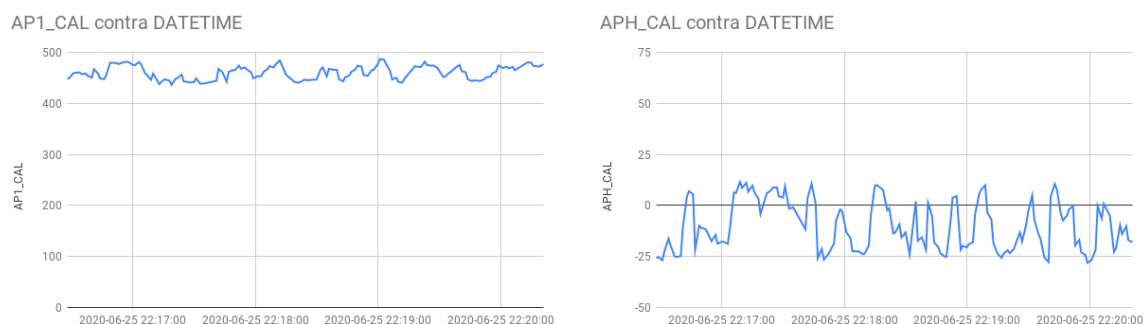


Figura 6-20.: AVHRMS Y APF VS DATETIME EN EL CICLO REGULAR

**Figura 6-21.: AITHD Y AVTHD VS DATETIME EN EL CICLO REGULAR****Figura 6-22.: APP1-CAL Y AWATT VS DATETIME EN EL CICLO REGULAR****Figura 6-23.: AP1-CAL Y APH-CAL VS DATETIME EN EL CICLO REGULAR**

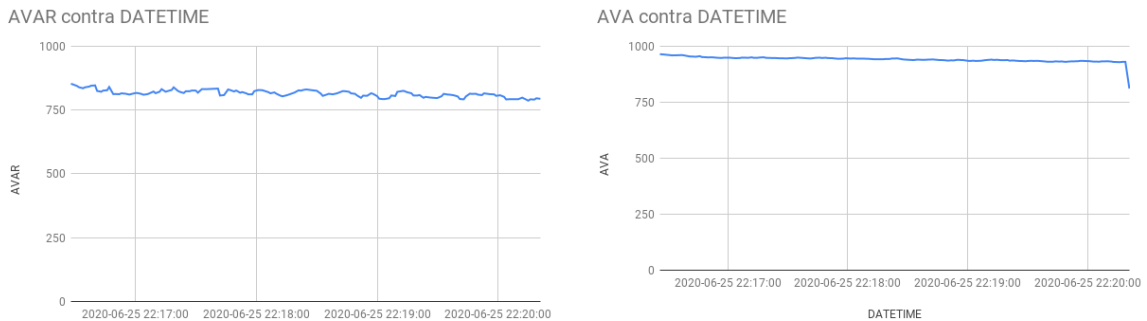


Figura 6-24.: AVAR Y AVA VS DATETIME EN EL CICLO REGULAR

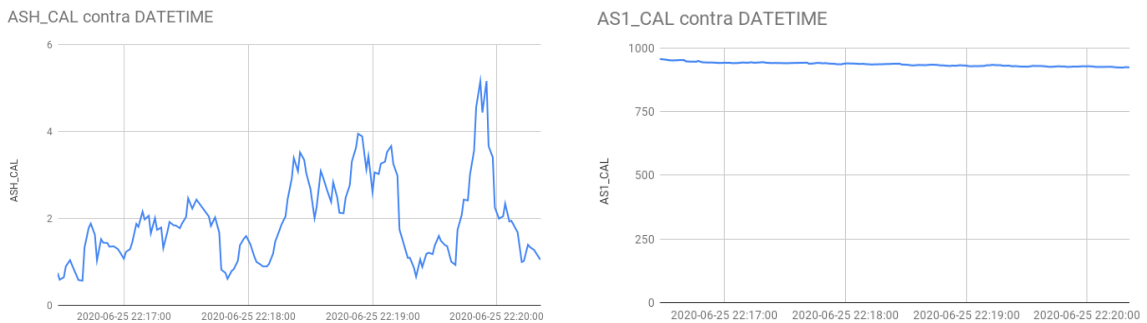


Figura 6-25.: ASH-CAL Y AS1-CAL VS DATETIME EN EL CICLO REGULAR

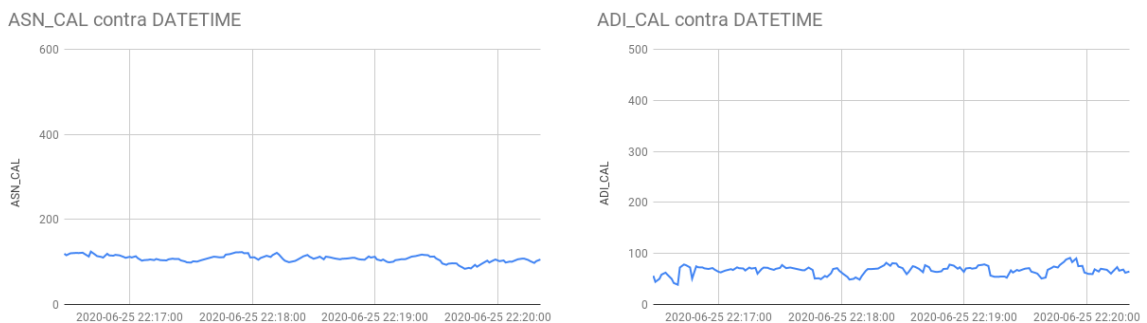
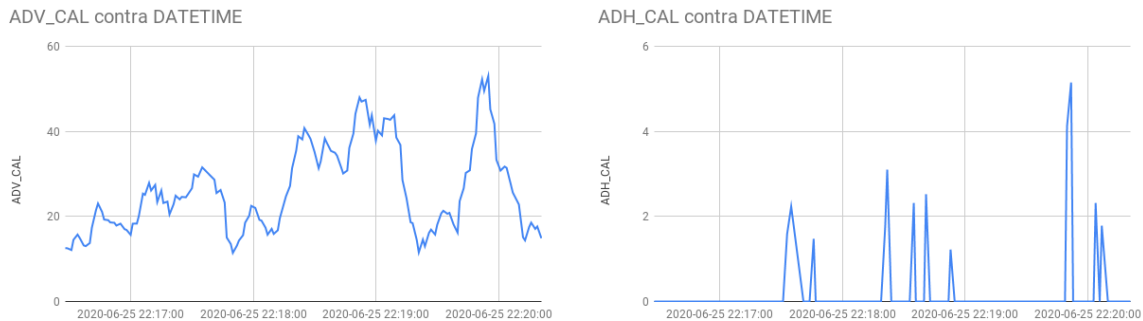
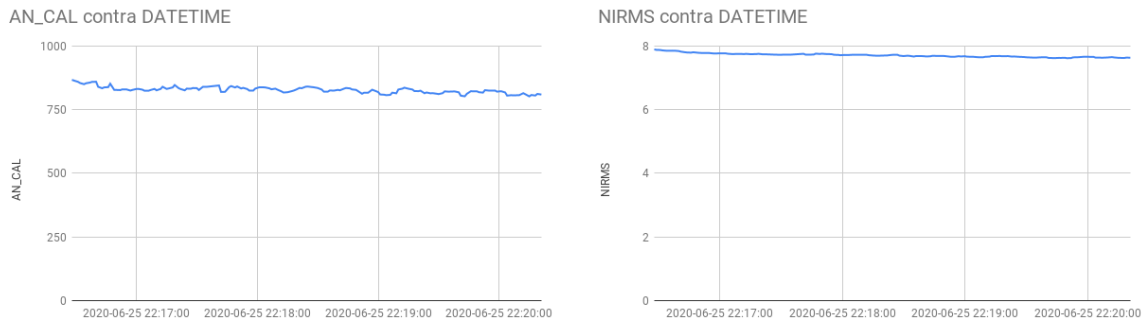
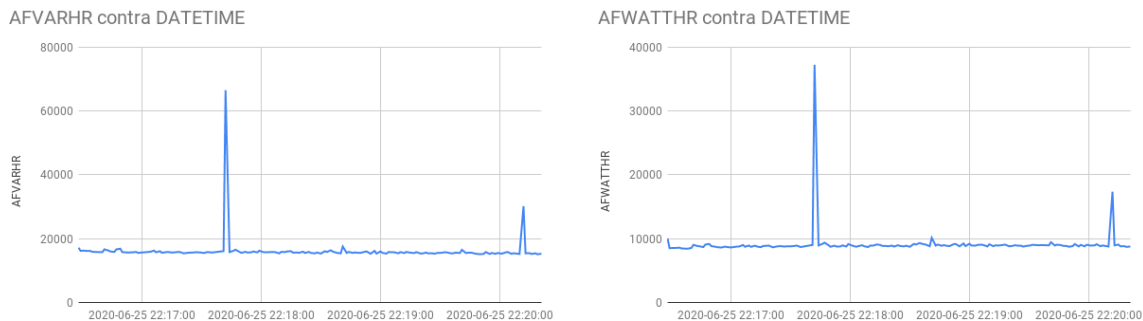


Figura 6-26.: ASN-CAL Y ADI-CAL VS DATETIME EN EL CICLO REGULAR

**Figura 6-27.: ADV-CAL Y ADH-CAL VS DATETIME EN EL CICLO REGULAR****Figura 6-28.: AN-CAL Y NIRMS VS DATETIME EN EL CICLO REGULAR****Figura 6-29.: AFVARHR Y AFWATTHR VS DATETIME EN EL CICLO REGULAR**

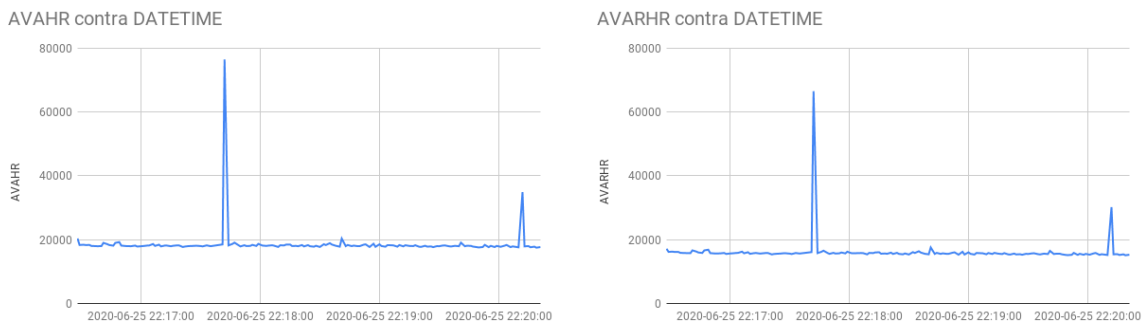


Figura 6-30.: AVAHR Y AVARHR VS DATETIME EN EL CICLO REGULAR

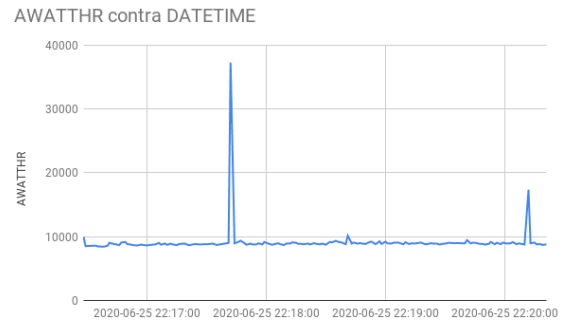


Figura 6-31.: AWATTHR VS DATETIME EN EL CICLO REGULAR

6.2.3. Análisis en el ciclo super wash

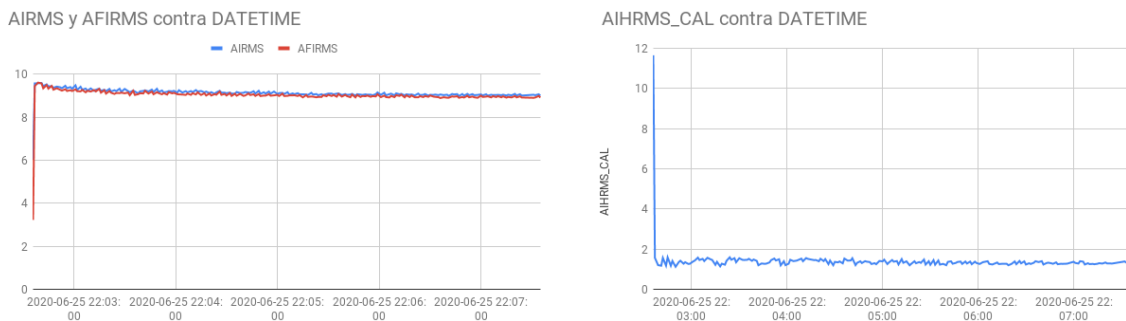


Figura 6-32.: AIRMS, AFIRMS Y AIHRMS-CAL VS DATETIME EN EL CICLO SUPER WASH

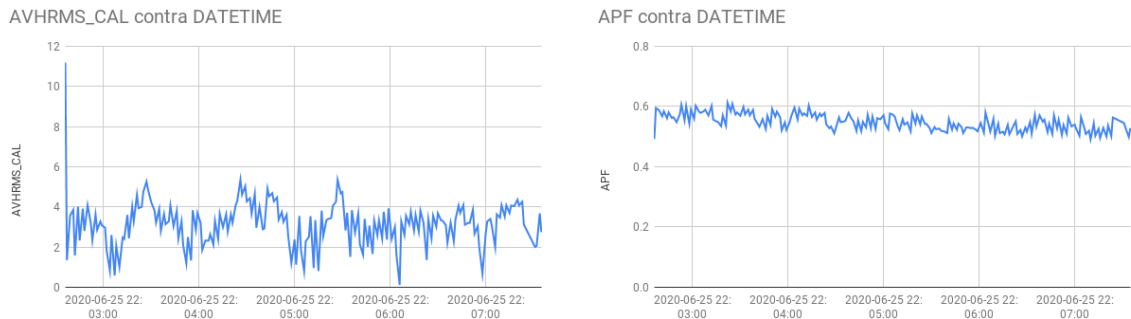


Figura 6-33.: AVHRMS Y APF VS DATETIME EN EL CICLO SUPER WASH

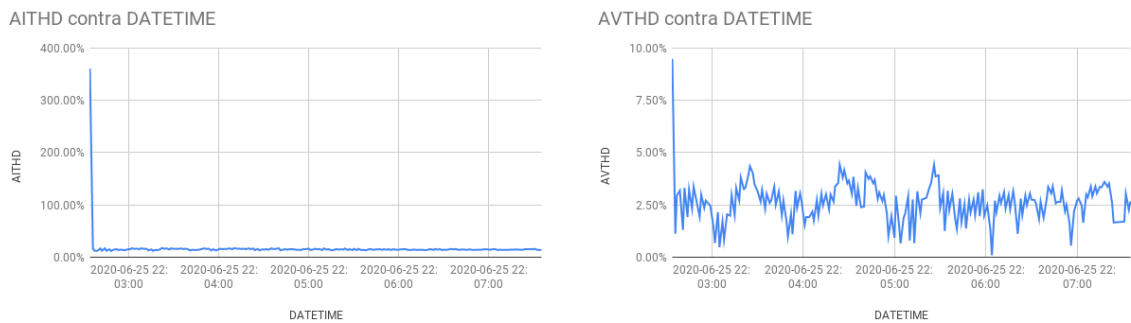


Figura 6-34.: AITHD Y AVTHD VS DATETIME EN EL CICLO SUPER WASH

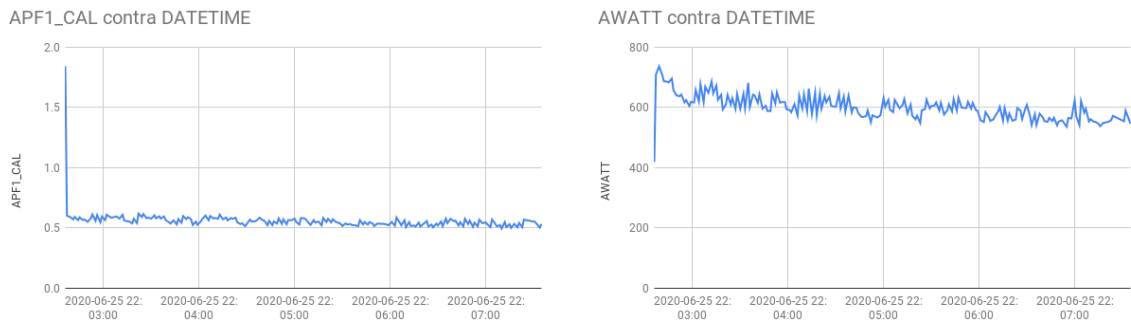


Figura 6-35.: APF1-CAL Y AWATT VS DATETIME EN EL CICLO SUPER WASH

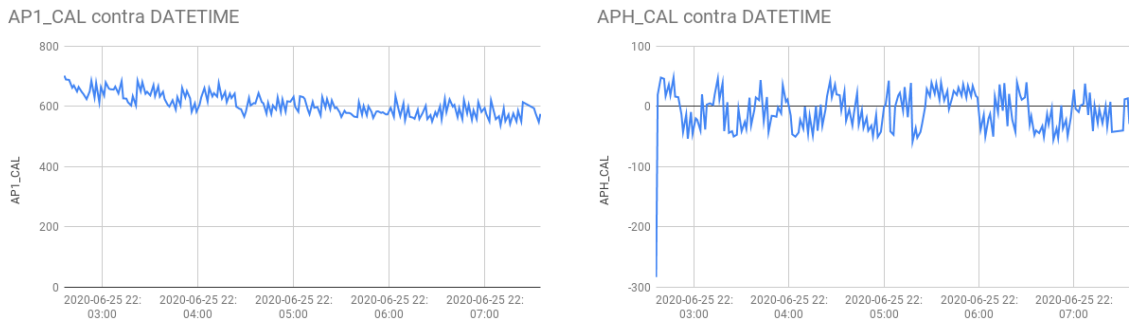


Figura 6-36.: AP1-CAL Y APH-CAL VS DATETIME EN EL CICLO SUPER WASH

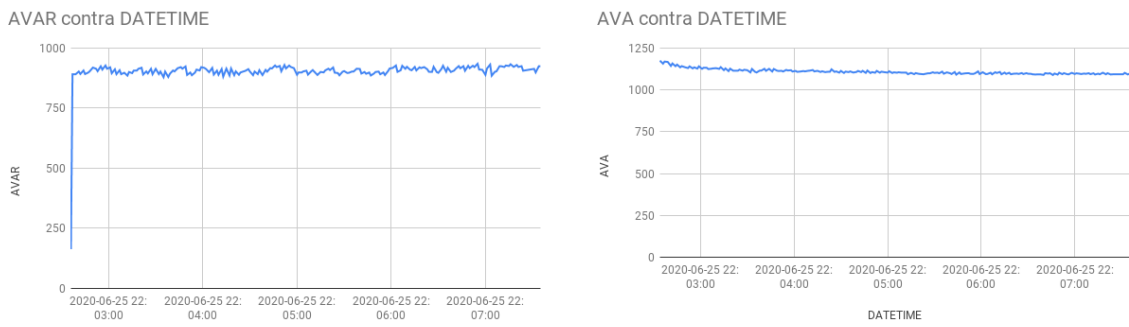


Figura 6-37.: AVAR Y AVA VS DATETIME EN EL CICLO SUPER WASH

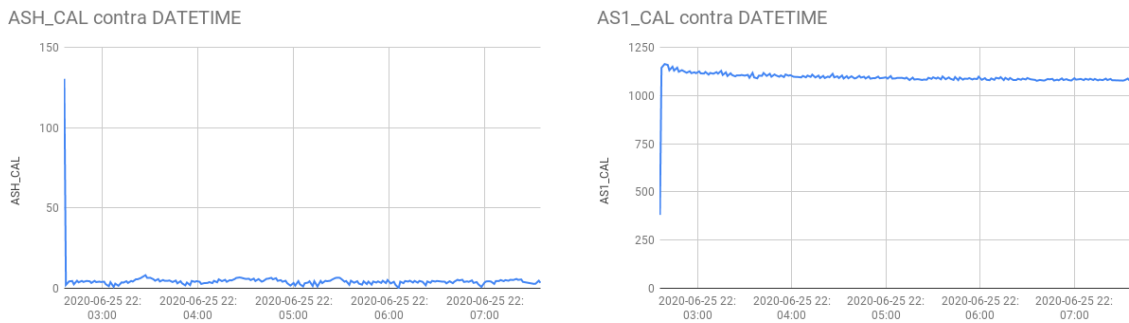


Figura 6-38.: ASH-CAL Y AS1-CAL VS DATETIME EN EL CICLO SUPER WASH

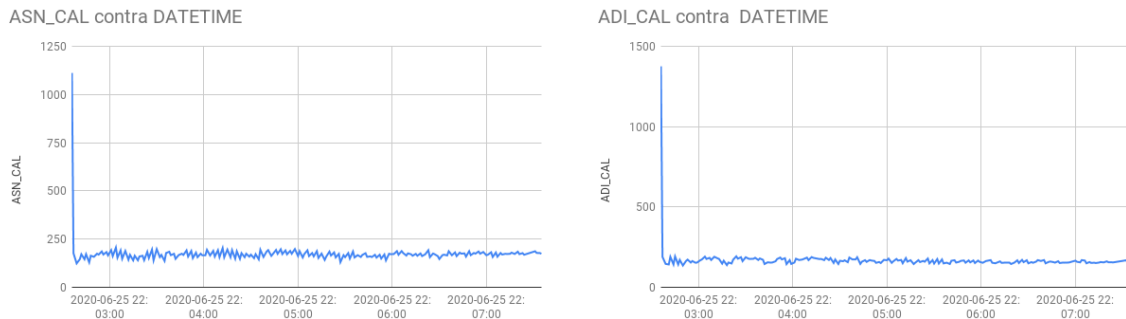


Figura 6-39.: ASN-CAL Y ADI-CAL VS DATETIME EN EL CICLO SUPER WASH

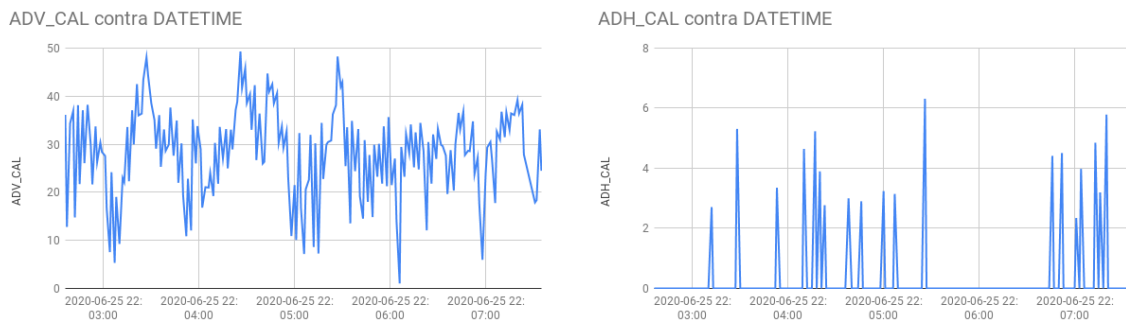


Figura 6-40.: ADV-CAL Y ADH-CAL VS DATETIME EN EL CICLO SUPER WASH

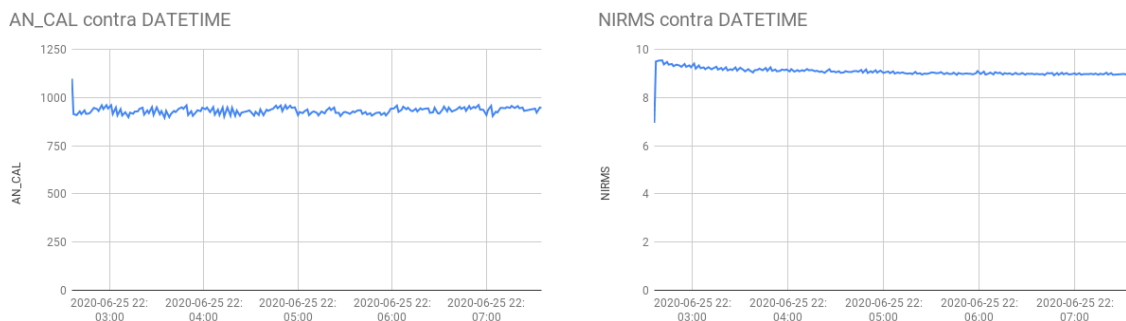


Figura 6-41.: AN-CAL Y NIRMS VS DATETIME EN EL CICLO SUPER WASH

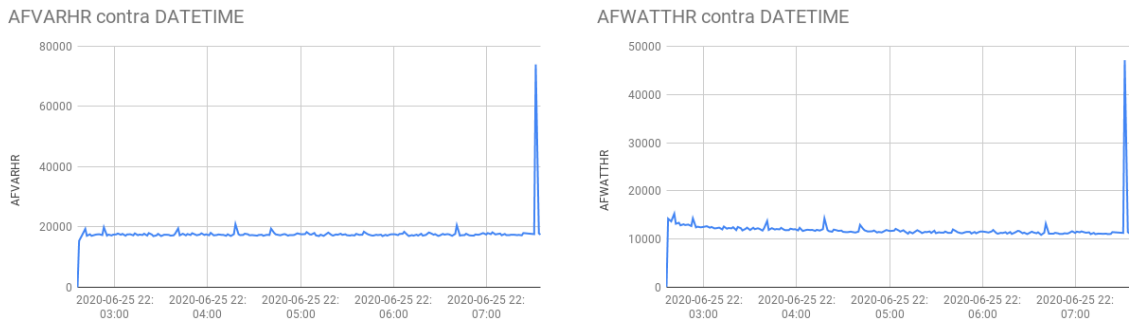


Figura 6-42.: AFVARHR Y AFWATTHR VS DATETIME EN EL CICLO SUPER WASH

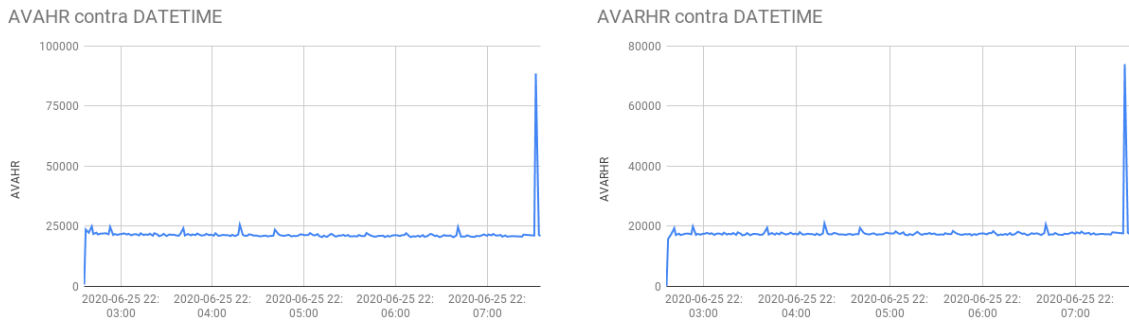


Figura 6-43.: AVAHR Y AVARHR VS DATETIME EN EL CICLO SUPER WASH

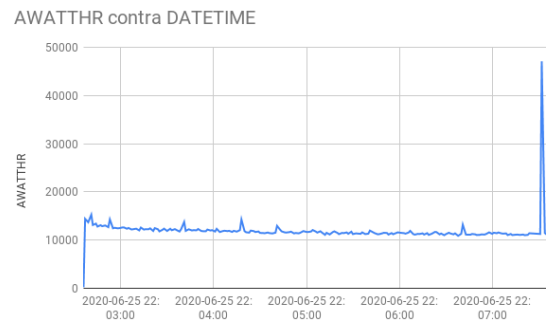


Figura 6-44.: AWATTHR VS DATETIME EN EL CICLO SUPER WASH

6.2.4. Análisis en el ciclo centrífugado

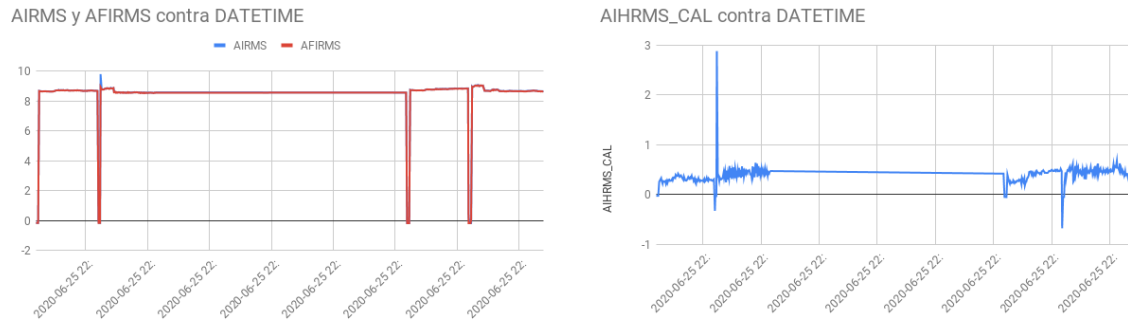


Figura 6-45.: AIRMS, AFIRMS Y AIHRMS-CAL VS DATETIME EN EL CICLO CENTRÍFUGADO

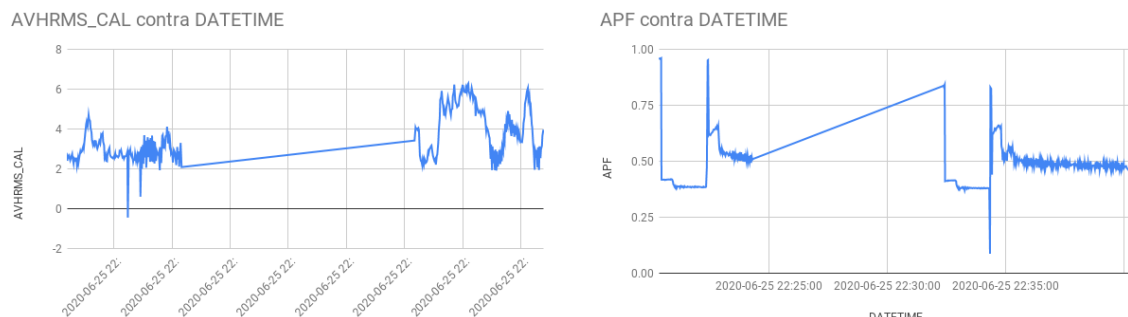


Figura 6-46.: AVHRMS Y APF VS DATETIME EN EL CICLO CENTRÍFUGADO

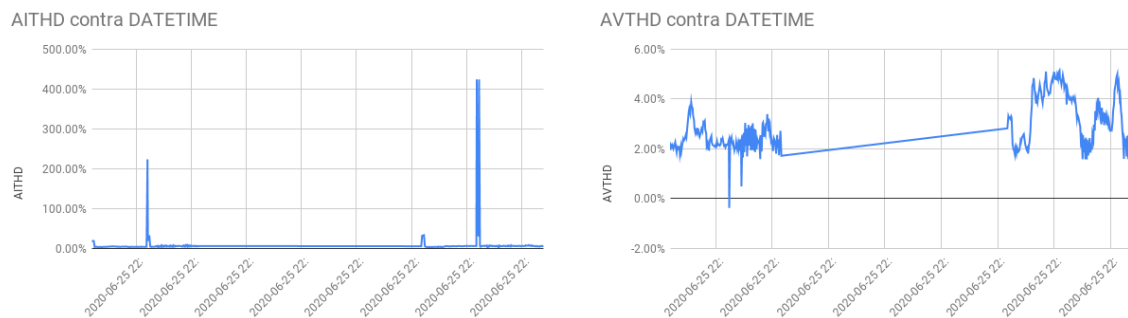


Figura 6-47.: AITHD Y AVTHD VS DATETIME EN EL CICLO CENTRÍFUGADO

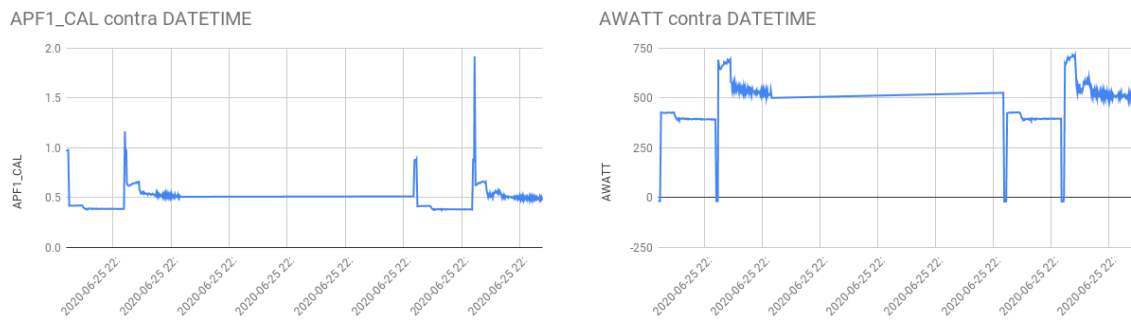


Figura 6-48.: APF1-CAL Y AWATT VS DATETIME EN EL CICLO CENTRIFUGADO

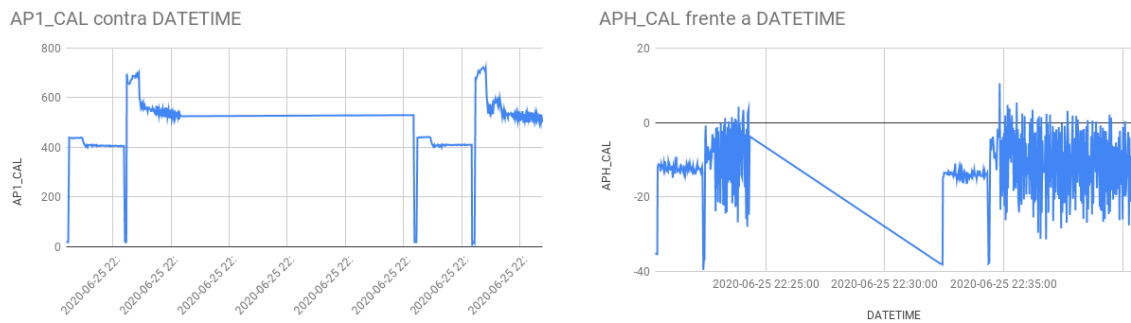


Figura 6-49.: AP1-CAL Y APH-CAL VS DATETIME EN EL CICLO CENTRIFUGADO

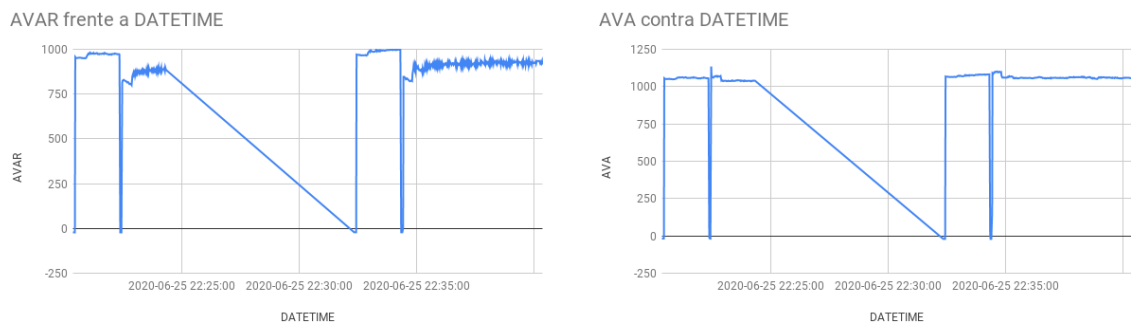


Figura 6-50.: AVAR Y AVA VS DATETIME EN EL CICLO CENTRIFUGADO

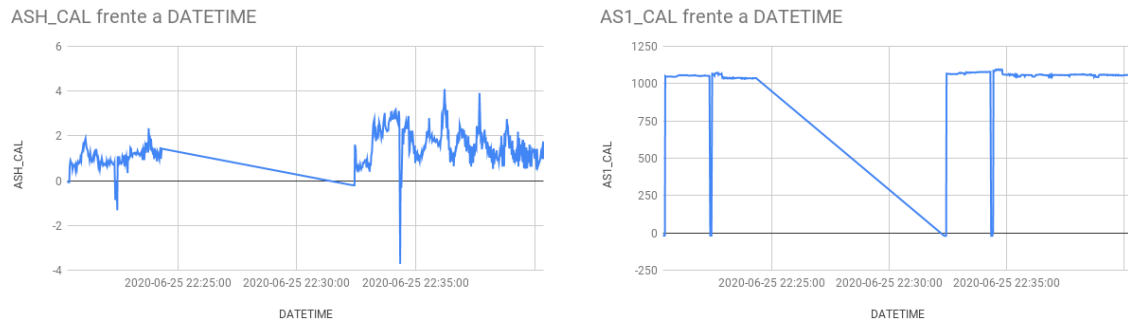


Figura 6-51.: ASH-CAL Y AS1-CAL VS DATETIME EN EL CICLO CENTRIFUGADO

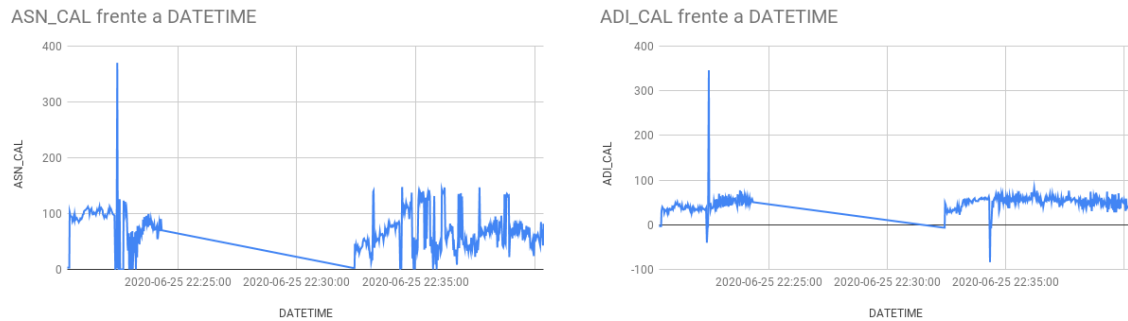


Figura 6-52.: ASN-CAL Y ADI-CAL VS DATETIME EN EL CICLO CENTRIFUGADO

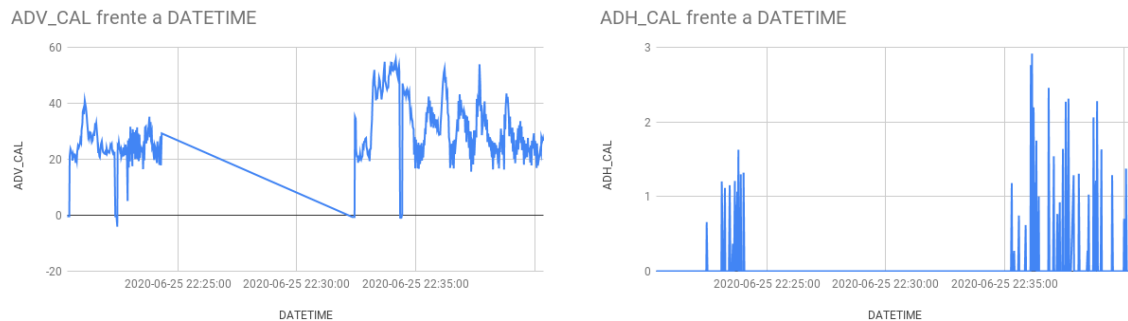


Figura 6-53.: ADV-CAL Y ADH-CAL VS DATETIME EN EL CICLO CENTRIFUGADO

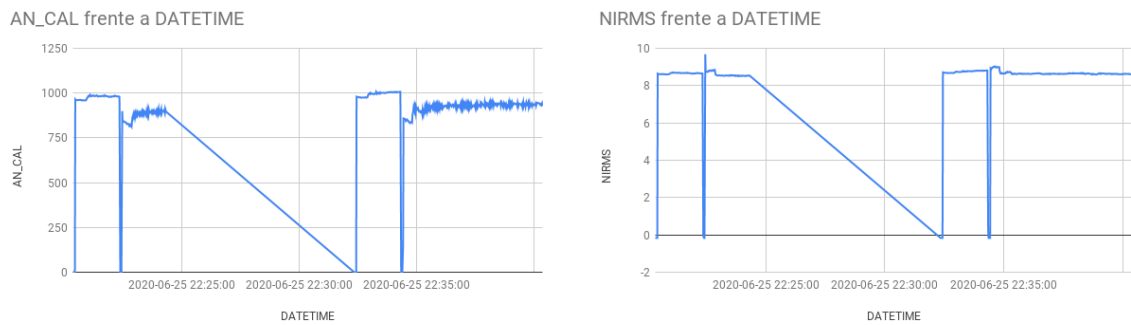


Figura 6-54.: AN-CAL Y NIRMS VS DATETIME EN EL CICLO CENTRIFUGADO

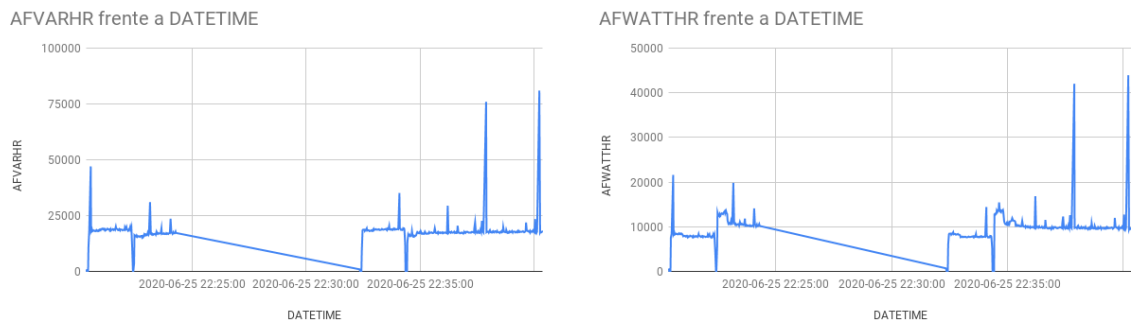


Figura 6-55.: AFVARHR Y AFWATTHR VS DATETIME EN EL CICLO CENTRIFUGADO

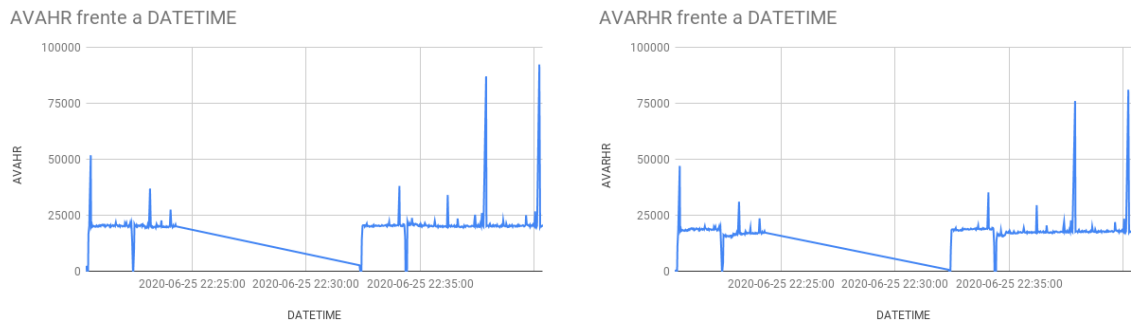


Figura 6-56.: AVAHR Y AVARHR VS DATETIME EN EL CICLO CENTRIFUGADO

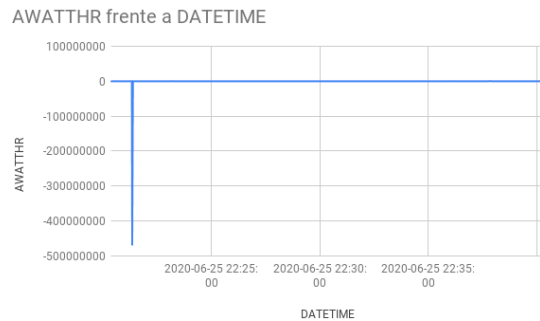


Figura 6-57.: AWATTHR VS DATETIME EN EL CICLO CENTRIFUGADO

6.2.5. Análisis en el ciclo rinse

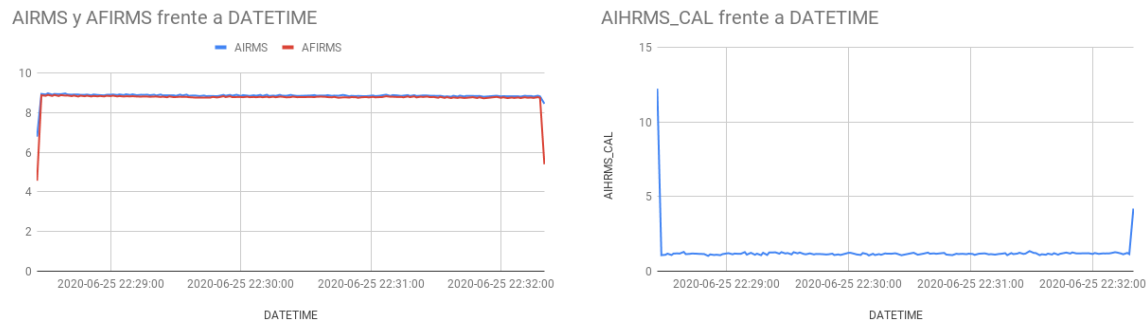


Figura 6-58.: AIRMS, AFIRMS Y AIHRMS-CAL VS DATETIME EN EL CICLO RINSE

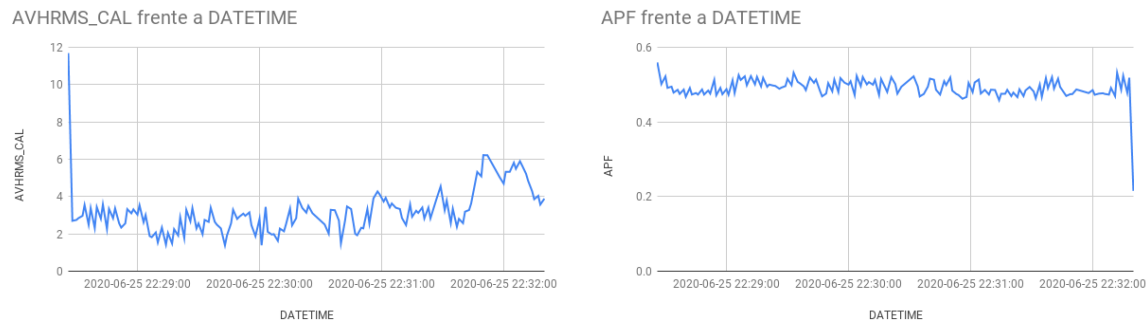


Figura 6-59.: AVHRMS Y APF VS DATETIME EN EL CICLO RINSE

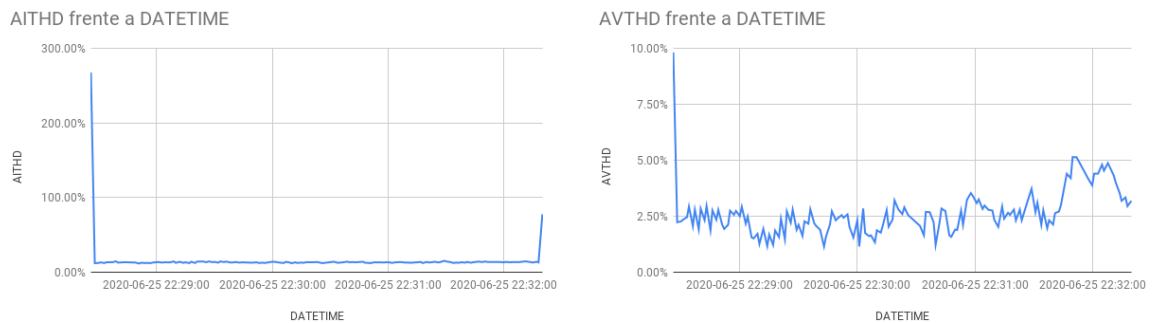


Figura 6-60.: AITHD Y AVTHD VS DATETIME EN EL CICLO RINSE

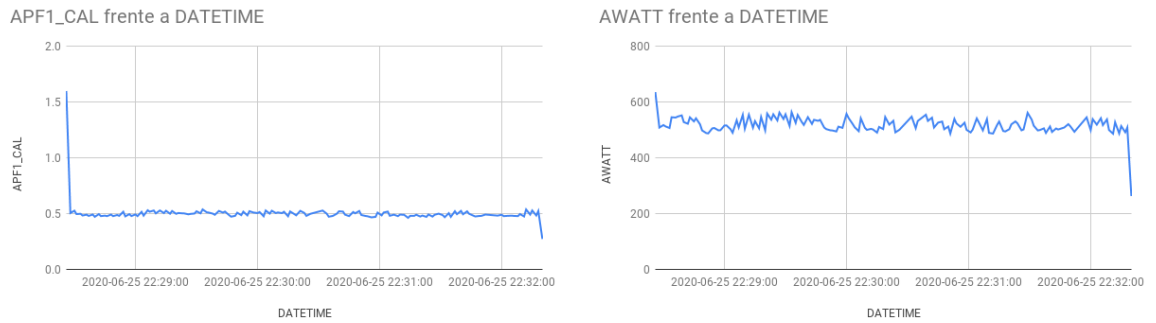


Figura 6-61.: APF1-CAL Y AWATT VS DATETIME EN EL CICLO RINSE

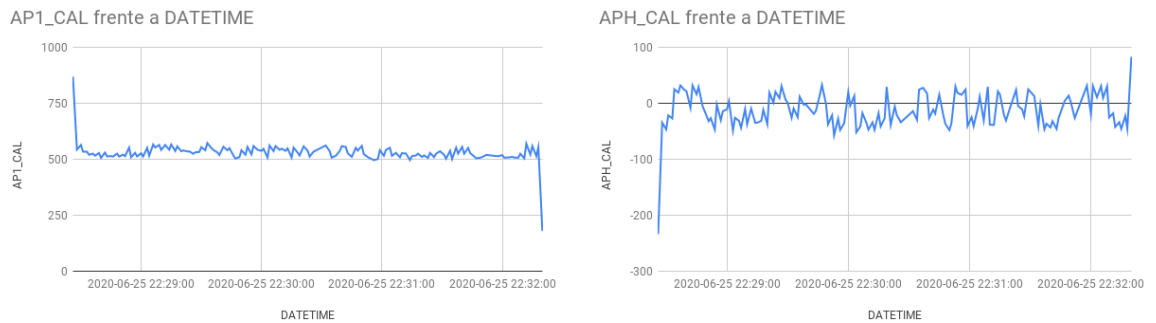


Figura 6-62.: AP1-CAL Y APH-CAL VS DATETIME EN EL CICLO RINSE

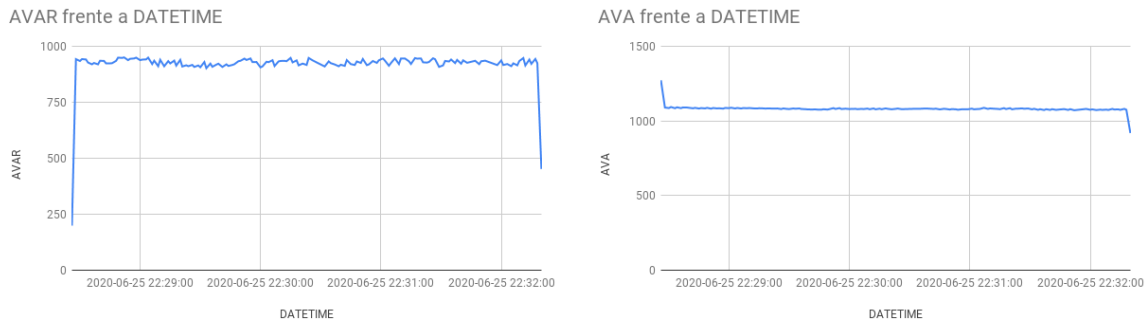


Figura 6-63.: AVAR Y AVA VS DATETIME EN EL CICLO RINSE

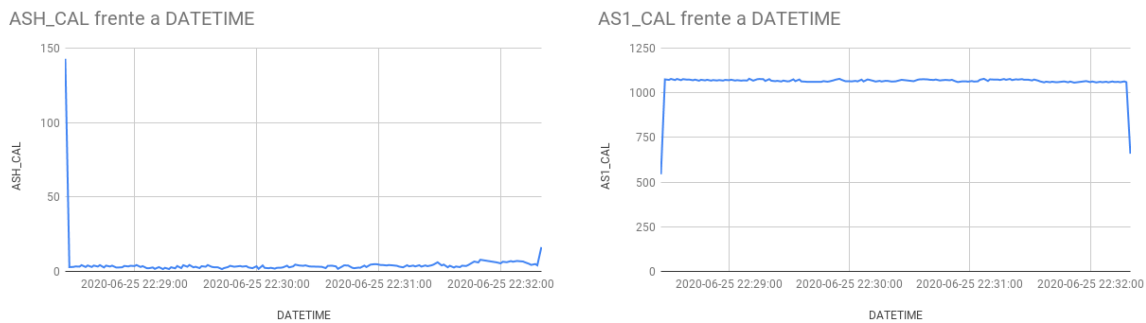


Figura 6-64.: ASH-CAL Y AS1-CAL VS DATETIME EN EL CICLO RINSE

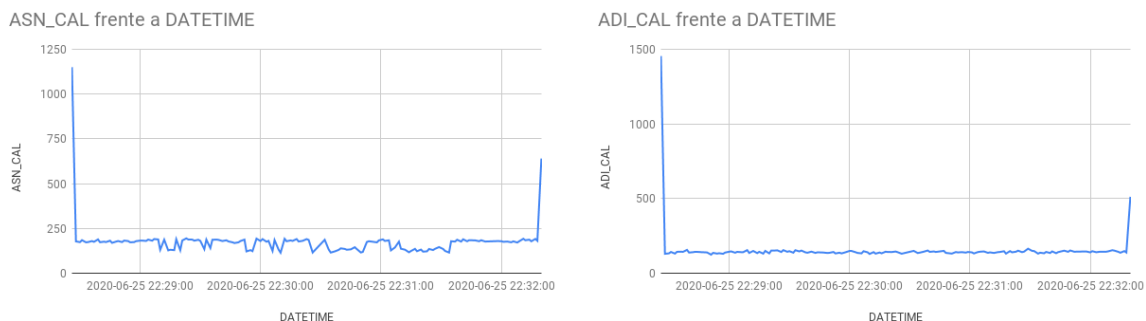


Figura 6-65.: ASN-CAL Y ADI-CAL VS DATETIME EN EL CICLO RINSE

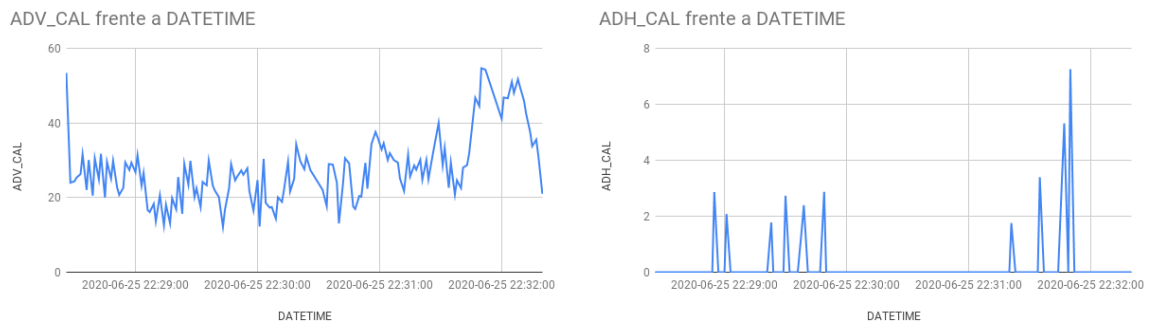


Figura 6-66.: ADV-CAL Y ADH-CAL VS DATETIME EN EL CICLO RINSE

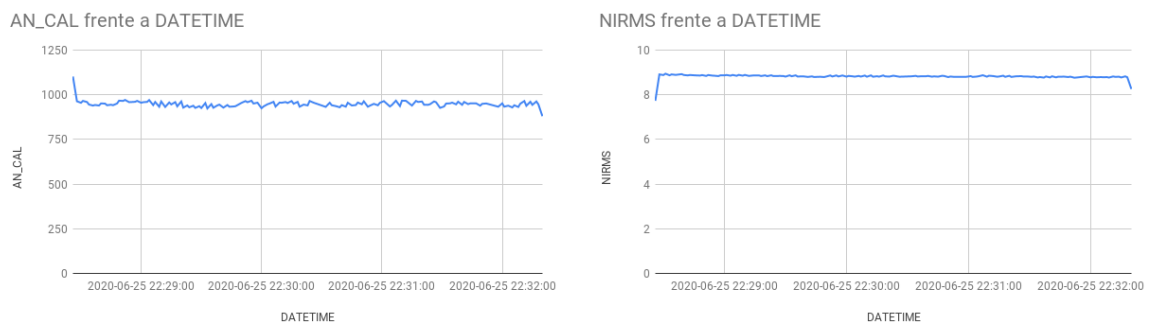


Figura 6-67.: AN-CAL Y NIRMS VS DATETIME EN EL CICLO RINSE

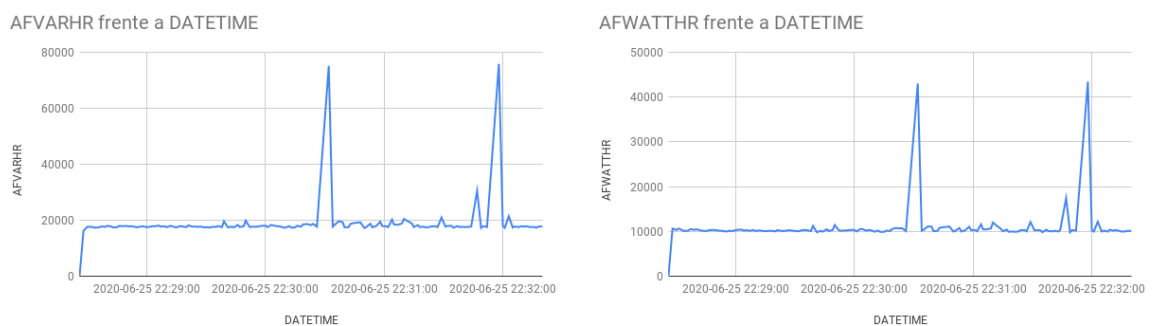


Figura 6-68.: AFVARHR Y AFWATTHR VS DATETIME EN EL CICLO RINSE

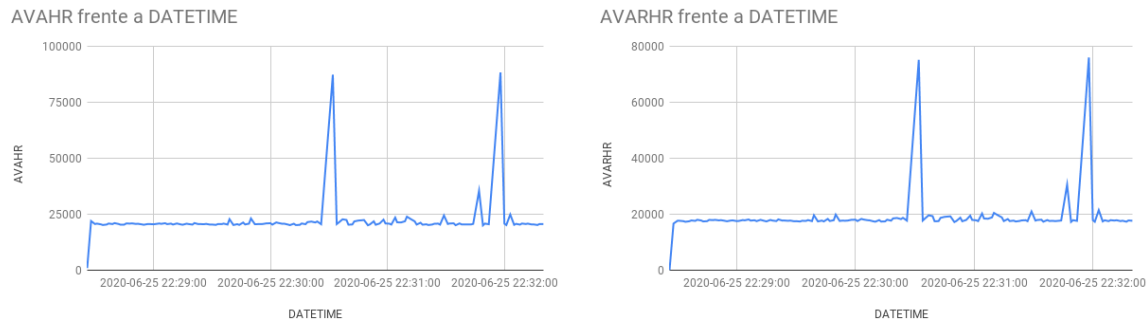


Figura 6-69.: AVAHR Y AVARHR VS DATETIME EN EL CICLO RINSE

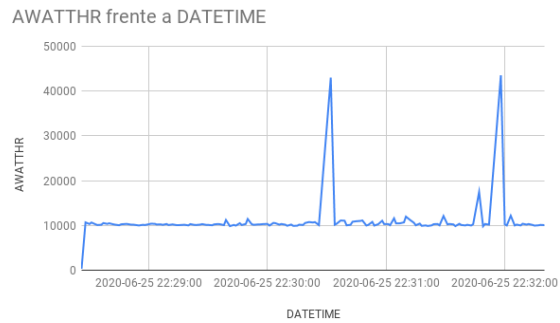


Figura 6-70.: AWATTHR VS DATETIME EN EL CICLO RINSE

6.2.6. Análisis en el ciclo llenado

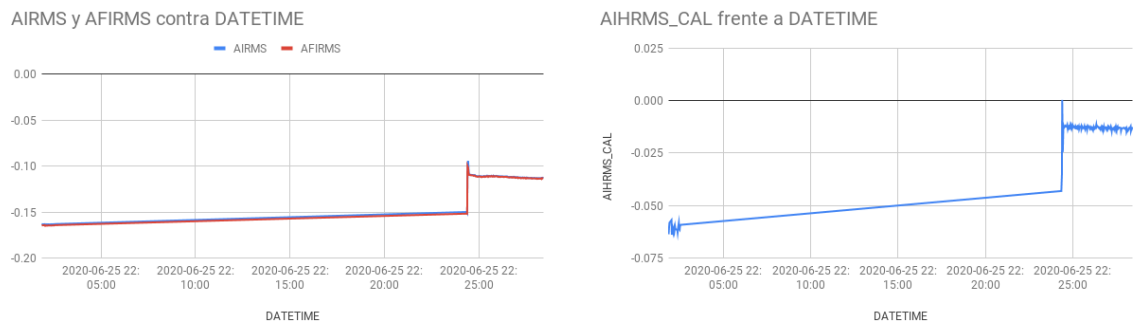


Figura 6-71.: AIRMS, AFIRMS Y AIHRMS-CAL VS DATETIME EN EL CICLO LLENADO

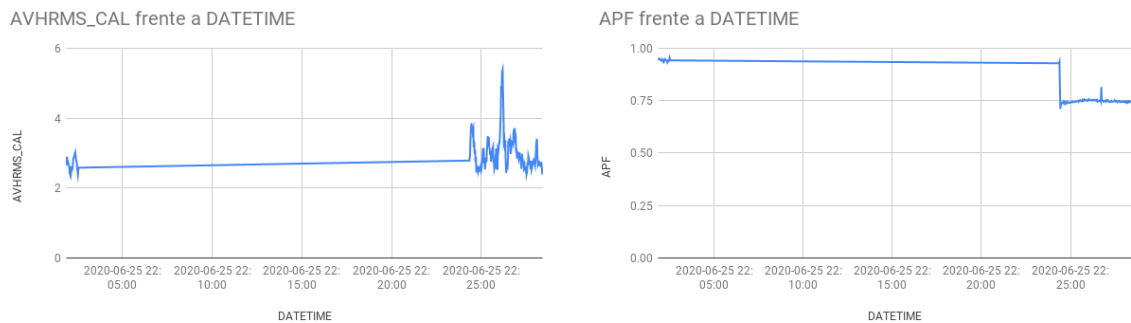


Figura 6-72.: AVHRMS Y APF VS DATETIME EN EL CICLO LLENADO

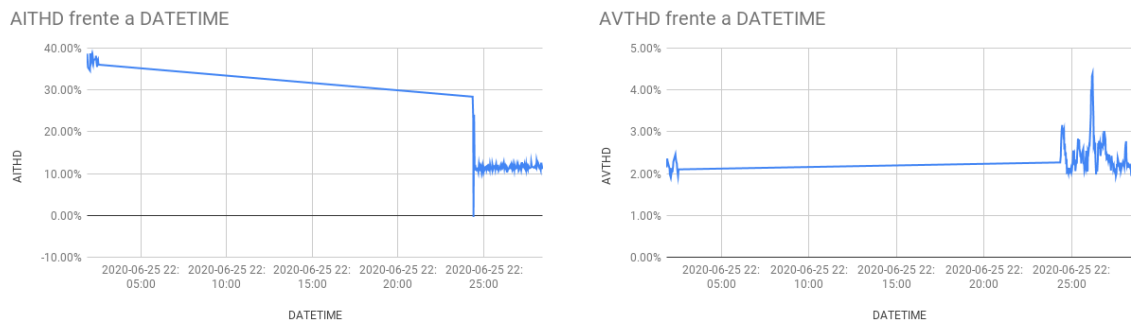


Figura 6-73.: AITHD Y AVTHD VS DATETIME EN EL CICLO LLENADO

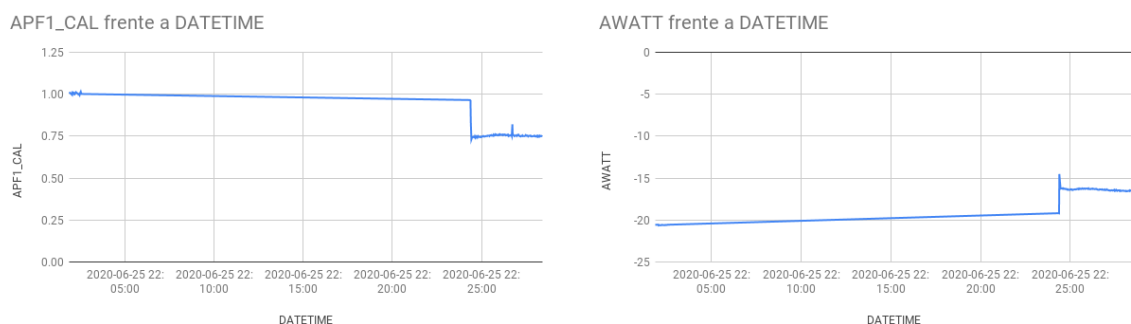


Figura 6-74.: APF1-CAL Y AWATT VS DATETIME EN EL CICLO LLENADO

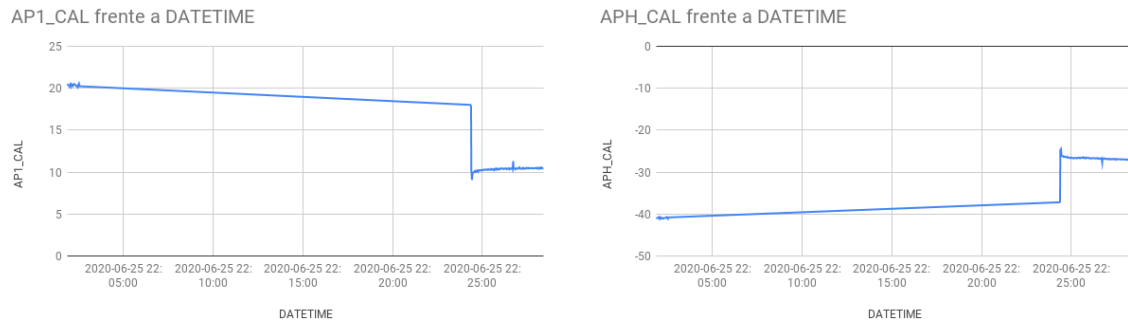


Figura 6-75.: AP1-CAL Y APH-CAL VS DATETIME EN EL CICLO LLENADO

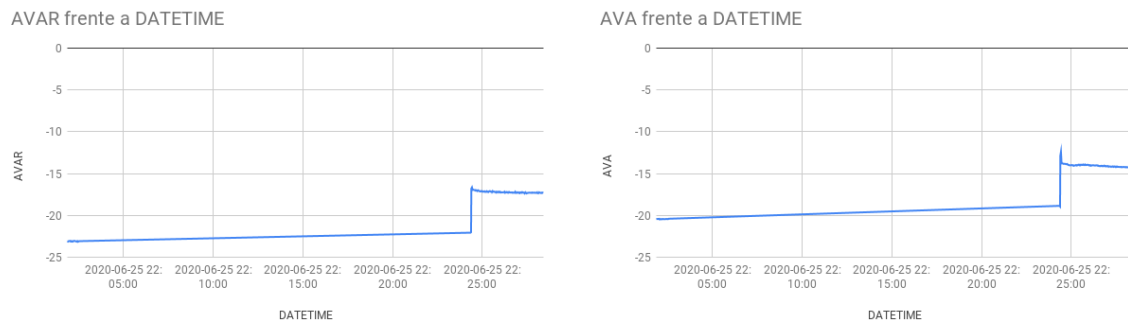


Figura 6-76.: AVAR Y AVA VS DATETIME EN EL CICLO LLENADO

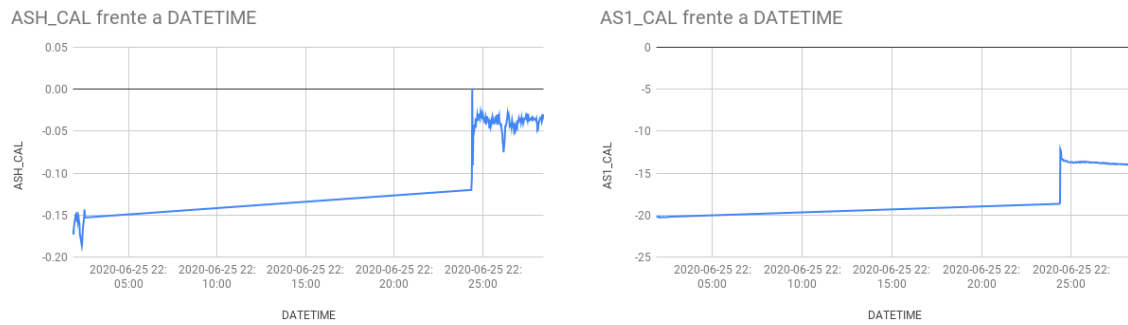


Figura 6-77.: ASH-CAL Y AS1-CAL VS DATETIME EN EL CICLO LLENADO

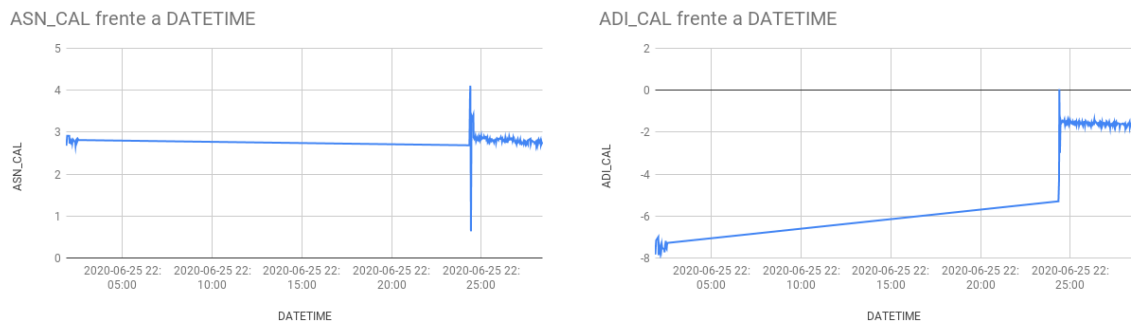


Figura 6-78.: ASN-CAL Y ADI-CAL VS DATETIME EN EL CICLO LLENADO

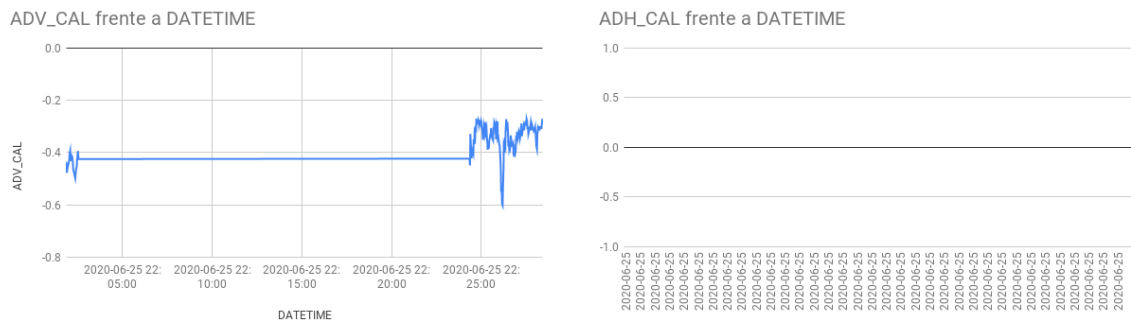


Figura 6-79.: ADV-CAL Y ADH-CAL VS DATETIME EN EL CICLO LLENADO

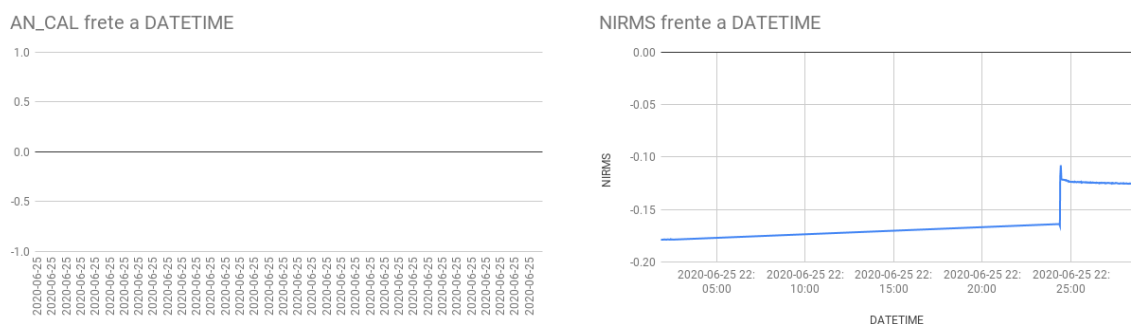


Figura 6-80.: AN-CAL Y NIRMS VS DATETIME EN EL CICLO LLENADO

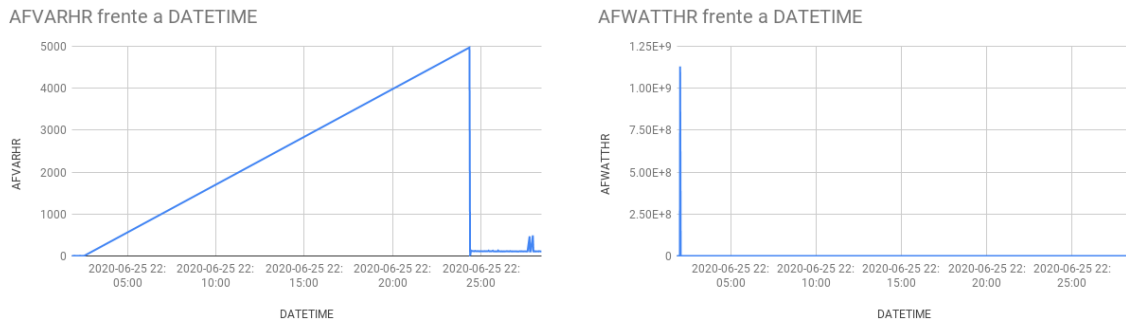


Figura 6-81.: AFVARHR Y AFWATTHR VS DATETIME EN EL CICLO LLENADO

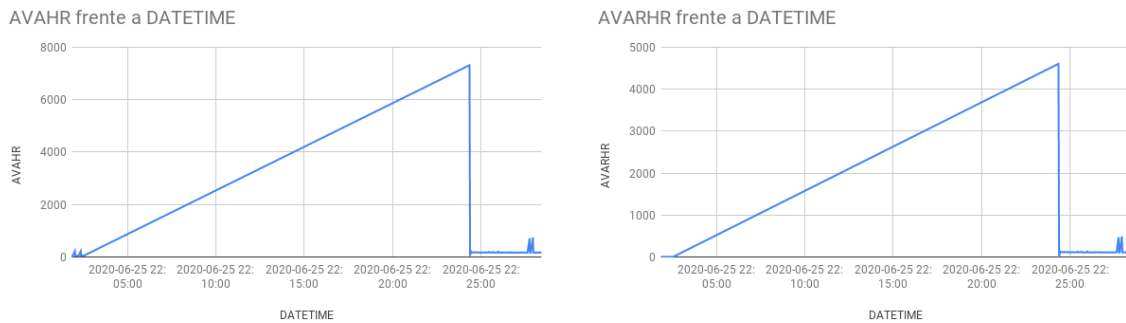


Figura 6-82.: AVAHR Y AVARHR VS DATETIME EN EL CICLO LLENADO

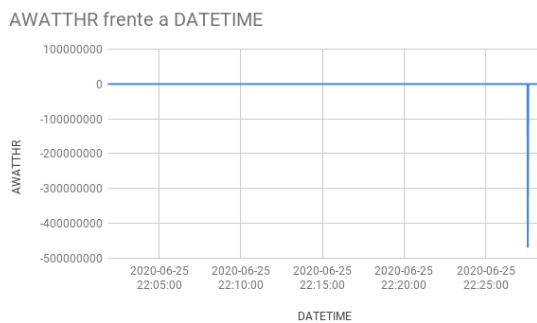


Figura 6-83.: AWATTHR VS DATETIME EN EL CICLO LLENADO

Con esta prueba, se obtuvo una caracterización más del medidor, la cuál para un funcionamiento estable y preciso de la tarjeta, es necesario que las cargas consuman como mínimo 1

Amperio, sin embargo, debido a la alta frecuencia con la que el ADE7978 hace la medición, hay ocasiones en que los datos presentan un valor fuera del rango.

Completada la prueba monofásica, se procedió a realizar la prueba trifásica desbalanceada con el fin de tener cubierto todos los casos de medición que se planteó en este proyecto.

6.3. Tercer Prueba

Para esta prueba se utilizó una red trifásica doméstica y a cada fase se conectó a una carga. las tres cargas son tienen un consumo distinto para así probar y medir el caso trifásico desbalanceado.

A continuación se describe las cargas que se usaron:

- FASE A - 2 pantallas, 1 cpu, 2 portatiles y una Raspberry.
- FASE B - Caminadora eléctrica.
- FASE C - Lavadora samsung.



Figura 6-84.: Cargas utilizadas en la tercera prueba

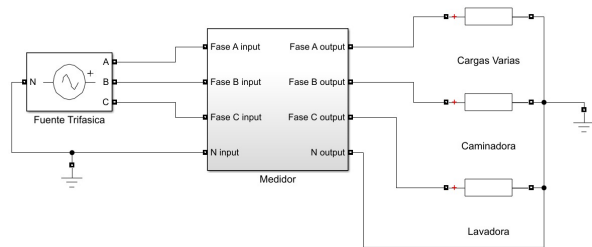


Figura 6-85.: Esquema de conexión utilizado en la tercera prueba

6.3.1. Resultados de la prueba

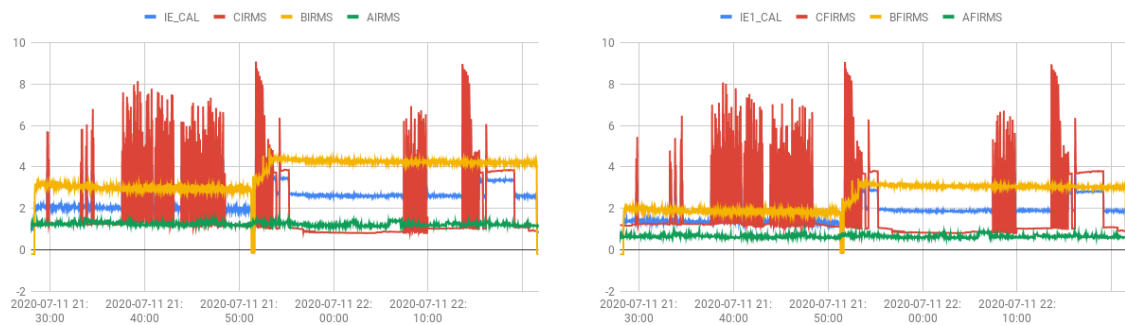


Figura 6-86.: CORRIENTE RMS Y CORRIENTE FUNDAMENTAL

Las variaciones que se ven en la señal CIRMS es debido a los distintos ciclos que tiene la lavadora mientras realizaba su ciclo de lavado.

La caminadora se le hizo una variación en la velocidad por lo cual se ve una subida en la gráfica de corriente BIRMS.

La carga en la fase A no tuvo ninguna variación durante la medición por lo cual la señal AIRMS es estable.

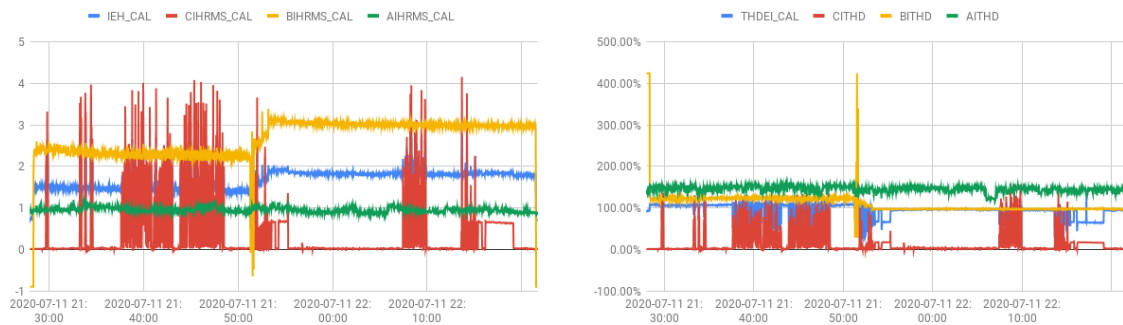


Figura 6-87.: CORRIENTE ARMÓNICA Y DISTORSIÓN ARMÓNICA DE CORRIENTE

En la gráfica **6-89**, se ve las distorsiones en corriente que presentan las cargas que en los medidores actuales no tienen en cuenta, sin embargo este medidor lo analiza al momento de medir.

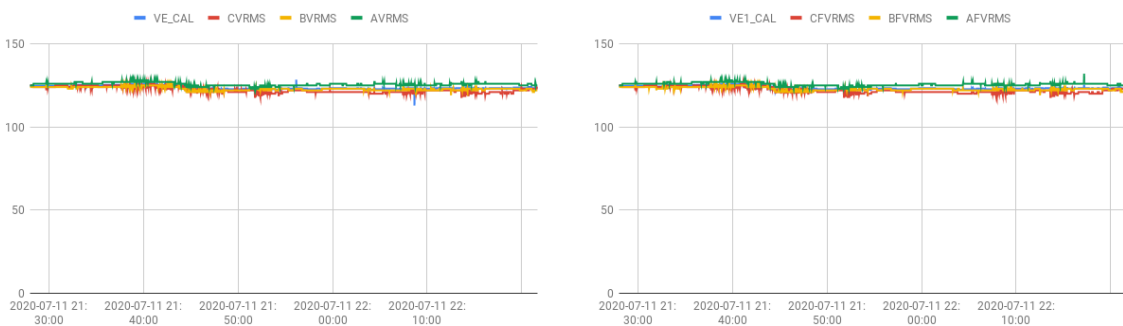


Figura 6-88.: VOLTAJE RMS Y VOLTAJE FUNDAMENTAL

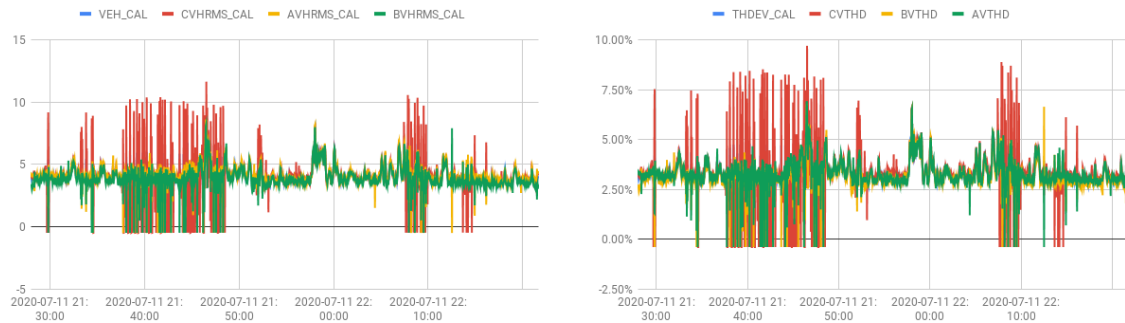


Figura 6-89.: VOLTAJE ARMÓNICA Y DISTORSIÓN ARMÓNICA DE VOLTAJE

En la gráfica **6-89**, se ve las distorsiones en voltaje que presentan las cargas que en los medidores actuales no tienen en cuenta, sin embargo este medidor lo analiza al momento de medir.

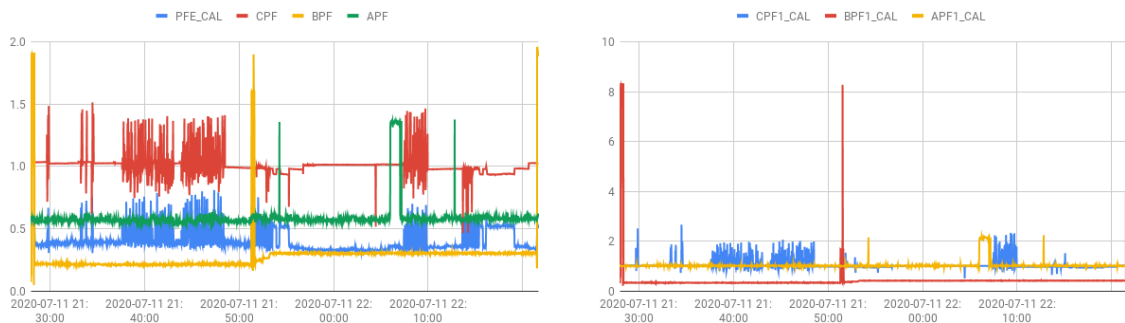


Figura 6-90.: FACTOR DE POTENCIA TOTAL Y FACTOR DE POTENCIA FUNDAMENTAL

En la gráfica **6-90**, se evidencia un error en la medición del factor de potencia ya que hay valores superiores a 1.

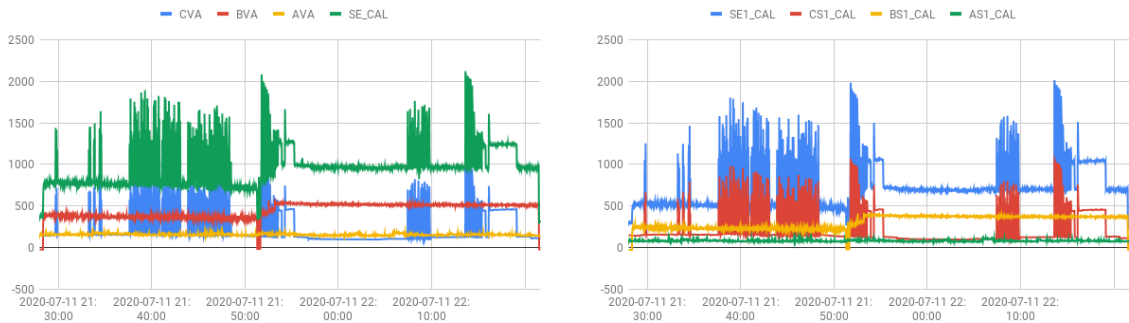


Figura 6-91.: POTENCIA APARENTE TOTAL Y POTENCIA APARENTE FUNDAMENTAL

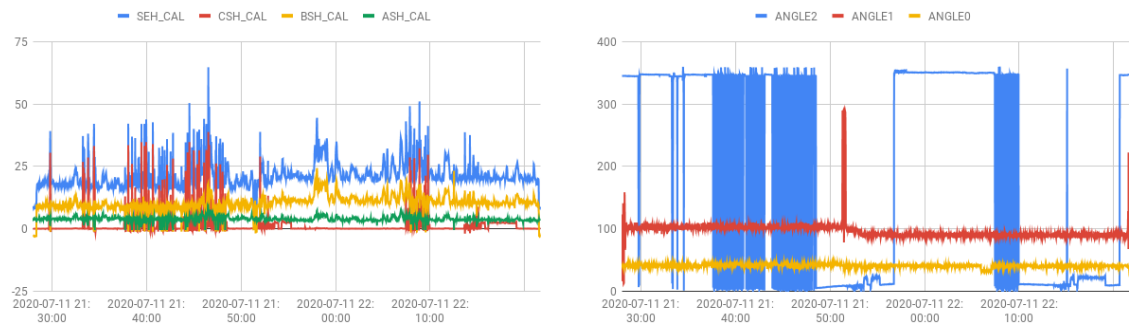


Figura 6-92.: POTENCIA APARENTE ARMÓNICA Y ÁNGULO DE DESFASE ENTRE FASES

En la gráfica de los ángulos de desfase, las etiquetas se interpretan de la siguiente manera:

- ANGLE 0 - ángulo de desfase entre la fase A y B.
- ANGLE 1 - ángulo de desfase entre la fase B y C.
- ANGLE 2 - ángulo de desfase entre la fase C y A.

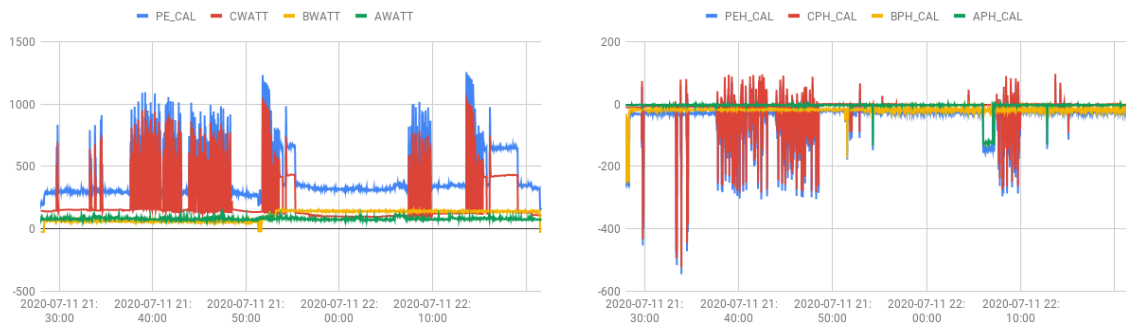


Figura 6-93.: POTENCIA ACTIVA TOTAL Y POTENCIA ACTIVA ARMÓNICA

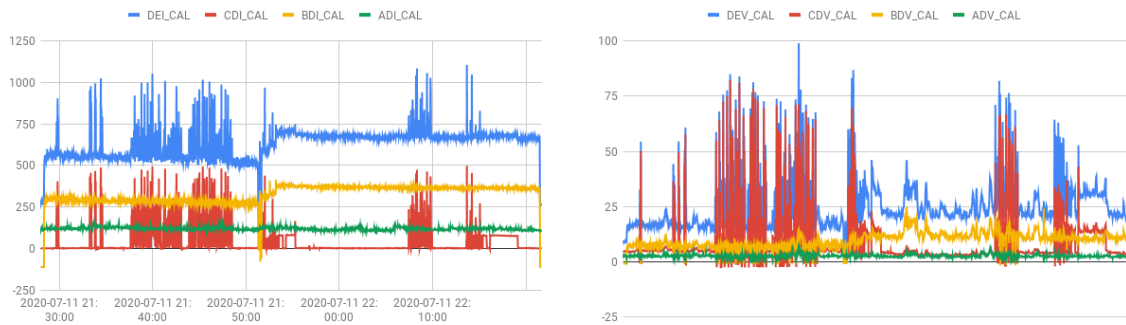


Figura 6-94.: DISTORSIÓN DE POTENCIA (VAR) EN CORRIENTE Y VOLTAJE

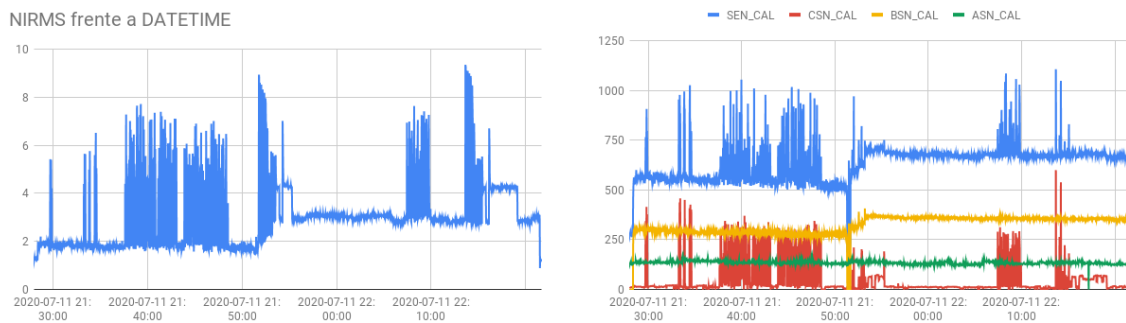


Figura 6-95.: CORRIENTE RMS EN NEUTRO Y POTENCIA (VAR) NO ACTIVA

En las gráficas de potencia, se analiza que el consumo de energía es acorde a la corriente que consume la carga.

7. Conclusiones

- El proyecto propuesto, como ya se explicó, consiste en cuatro fases, mediante cada una de ellas se obtiene información de mucha utilidad para cumplir los objetivos de este trabajo. Como primera fase, se explican los parámetros, variables y formulas necesarias para emplear la norma IEEE14-59-2010 (1459-2010 IEEE Standard Definitions for the Measurement of Electric Power Quantities Under Sinusoidal, Nonsinusoidal, Balanced, or Unbalanced Conditions., n.d.), la cuál es la base para lograr el objetivo principal del proyecto. Define la forma en la que se debe medir cualquier tipo de carga monfásica y trifásica; la siguiente etapa trata de la identificación de un procesador que lea y descomponga la señal de voltaje y corriente de cada fase y así poder hacer el tratamiento de datos con el estandar IEEE 1459; luego continúa la implementación del hardware garantizando una conexión segura y optima; posteriormente se desarrolla un software acorde al proyecto que permita tomar las mediciones, realizar el tratamiento de datos y enviarlos al servidor para al final ser visualizados por medio de una página web; con esta información, se crea un análisis de datos que resume toda la información obtenida y procesada donde se muestra un escenario de la vida cotidiana y finalmente permite ver las distorsiones que la carga presenta y así obtener una medición más precisa que es lo que se busca en este proyecto.
- Por otro lado, se planteo una metodología que describe el paso a paso de las actividades a desarrollar y llevar a cabo la implementación de un medidor de energía trifásica para sistemas eléctricos no lineales basado en la norma IEEE14-59-2010 (1459-2010 IEEE Standard Definitions for the Measurement of Electric Power Quantities Under Sinusoidal, Nonsinusoidal, Balanced, or Unbalanced Conditions., n.d.). Asimismo, se define y se suministra las herramientas necesarias para la recopilación y estructuración del medidor, se precisan los objetivos y los resultados que se conseguirán al final de cada fase.
- Tanto el proyecto como la metodología se implementaron con un foco orientado a la optimización y mejoramiento de la medición energética y debido a su conectividad con internet, abre una gran oportunidad para que sistemas de redes eléctricas inteligentes o fuentes de energía renovable puedan utilizar este sistema de medición.
- Cómo se evidenció en la primera prueba del medidor, al momento de medir el bombillo con un consumo de 9 vatios, el medidor presentó un alto porcentaje de error en su medición, por lo tanto se optó por realizar pruebas con cargas que tuvieran un mayor consumo y con cargas de 1 A, el medidor empieza a funcionar de manera optima, por lo tanto el rango de medición del medidor es de 1 A rms a 15 A rms.

- El medidor se diseñó con la shunt propuesta debido a que fue la mas adsequible en el momento, sin embargo, la ventaja de este medidor es que se puede adaptar a cualquier tamaño de medición tan solo cambiando la resistencia shunt y asegurando un voltaje de entrada en la dsp de +/- 31.25mV haciendo el dispositivo muy versatil para implementar en cualquier sector.
- El ade-7978 no realiza el análisis de estandar IEEE14-59-2010 (1459-2010 IEEE Standard Definitions for the Measurement of Electric Power Quantities Under Sinusoidal, Nonsinusoidal, Balanced, or Unbalanced Conditions., n.d.), sin embargo, entrega los datos necesarios para realizar el tratamiento de datos a travez de un procesador de datos y así cumplir con el estandar.
- Se optó por usar el lenguaje de programación c++ ya que es un lenguaje de programación de bajo nivel, permite acceder mejor a los registros y hacer un mejor uso de la memoria en el procesador. En el desarrollo de la página web, se usó angular ya que este cuenta con el lenguaje Typescript y nos permite tipar los datos con el fin de tener un sistema robusto.
- El medidor tiene conectividad a internet, por lo tanto el proyecto cuenta con IoT (internet de las cosas) y esto implica que el análisis que tuvo en su arquitectura de software fuera complejo. Para un mejor desempeño es necesario contar con altos conocimientos en arquitectura de software para garantizar que no halla perdida de datos, sin embargo no se posee dicho conocimiento por lo que queda cómo mejora del proyecto ya que este presenta pequeñas fallas en su medición y es debido a que la frecuencia con la que el ADE 7978 adquiere los datos es muy alta y no contamos con un procesador que vaya a la misma velocidad y a la vez cuente con tarjeta wifi para enviar los datos al servidor.
- Debido a que se terminó el desarrollo del medidor en una época de pandemia mundial por el covid-19, no fue posible realizar una comparación de mediciones con el AEMC 45b y el circutor, sin embargo se creó un banco de datos y pruebas, el cuál tiene todas las mediciones que se tomaron; posteriormente este banco permite a futuro realizar una comparación con los medidores de referencia propuestos.
- Durante el desarrollo del proyecto, se evidenció que la planeación que se hizo en el anteproyecto estuvo mal diseñada ya que se tuvieron inconvenientes como el de escoger el dispositivo correcto que cumpliera con la norma IEEE 1459, tiempo de compra y respuesta por parte del FODEIN para la financiación del proyecto, el lenguaje de programación, protocolo de comunicación y representación de los datos del dispositivo. Por lo tanto, los inconvenientes ya mencionados impactaron en el tiempo de entrega del proyecto y en su complejidad. El objetivo principal es emplear la norma IEEE 1459 en un medidor de energía, sin embargo, la arquitectura de hardware y software paso a

ser más compleja debido a que los datos se mostraron por medio de una página web en donde se tuvieron que analizar factores como, velocidad de ejecución, tiempo de respuesta en envío y lectura de datos y comunicación de dispositivos entre otros. Acorde a todo lo que no se tuvo en cuenta en la planeación, se llegó a la conclusión que este proyecto de grado cumple con todos los requerimientos que una tesis de pregrado y postgrado a su vez requieren.

8. Trabajo Futuro

Como continuación de este proyecto de grado y como en cualquier otro proyecto de investigación, se extienden distintas líneas de investigación que quedan abiertas y en las que es posible continuar trabajando. Durante la ejecución de este proyecto, se han encontrado algunas mejoras futuras que se han dejado abiertas; alguna de ellas, están relacionadas con este trabajo de tesis y son las interrogantes que se han ido generando mediante la ejecución del proyecto. Otras son más globales, sin embargo no son objeto de este proyecto de grado; estas mejoras o líneas de investigación pueden servir para retomarlas posteriormente o como opción para otros investigadores de realizar un proyecto de grado a partir de este.

A continuación se listan algunos trabajos futuros que se pueden realizar apartir de los resultados de esta investigación o que, por enfocarnos en otros alcances distintos a los objetivos principales, no han podido ser aplicados con la suficiente profundidad. Igualmente, se recomienda algunos desarrollos específicos para apoyar y mejorar el medidor y la metodología propuestos.

Entre los posibles trabajos futuros se sobresalen los siguientes:

- Realizar una investigación y busqueda de un micro procesador que permita obtener los datos de la dsp a medida que esta va refrescando sus lecturas con el fin de tener la representación de la señal sinusoidal de voltaje y corriente.
- Crear una aplicación móvil en donde los usuarios puedan ver el consumo de energía de una manera más rápida en vez de ingresar a la página web.
- Mejorar la arquitectura actual a una donde muchos clientes puedan usar este sistema de medición y este pueda responder de manera optima.
- Implementar un respaldo de datos localmente en dado caso que el internet falle y este pueda ser sincronizado a la base de datos en la nube, una vez se restaure el internet.

Bibliografía

- [1] M. Youhannaei, M. E. Honarmand, S. Ouni, R. Mehri, H. Mokhtari, and J. Talebi. Performance evaluation of energy meters in nonsinusoidal environment based on ieee 1459 standard. In *22nd International Conference and Exhibition on Electricity Distribution (CIRED 2013)*, pages 1–4, 2013.
- [2] A. J. Berrisford. The harmonic impact project — ieee-1459 power definitions trialed in revenue meters. In *2018 IEEE International Instrumentation and Measurement Technology Conference (I2MTC)*, pages 1–5, 2018.
- [3] V Vera. Eolicat. url<https://dspace.ups.edu.ec/bitstream/123456789/1875/4/03>, 2012.
- [4] Ned Mohan. *Electric drives*. MNPERE, 2003.
- [5] IEEE Power. Ieee standard definition for the measurement of electric power quantities under sinusoidal, nonsinusoidal, balanced, or unbalanced conditions. *IEEE*, 2010.
- [6] IBM Research. Software development. url <https://www.ibm.com/topics/software-development>, 2019.
- [7] Margaret Rouse. object-oriented programming (oop). url <https://searchapparchitecture.techtarget.com/definition/object-oriented-programming-OOP>, 2020.
- [8] P. Christensson. Web development. url <https://techterms.com>, 2013.
- [9] Alex Rodriguez. Restful wev services: The basics. *IBM developeWorks*, 2008.
- [10] pjbevel@gmail.com. the fourier trabsform. <http://www.thefouriertransform.com>, 2010.
- [11] José García Fernández. El teorema de muestreo y sus aplicaciones. *UNIVERSIDAD DE SEVILLA*, 2010.
- [12] Ana Lucía Schmidt. Fft: Transformada rápida de fourier. *Universidad Nacional del Sur, Avda. Alem 1253, Argentina*, 2013.
- [13] Gonzalo Salgueiro David Hanes. *IoT Fundamentals: NEtworking Technologies, Protocols, and Use Cases for he Internet of Things*. CISCO, 2017.
- [14] Raspberry Pi. Datasheet raspberry pi 4 model b. *Raspberry Pi*, 2019.

- [15] Mike McCauley. C library for broadcom bcm 2835 as used in raspberry pi.
<https://www.airspayce.com/mikem/bcm2835/>, 2020.
- [16] German Sanchez Kevin Carrillo. Rasberry pi con ade 7978.
<https://github.com/kevinfcc26/C-ADE7978>, 2020.

A. Anexo: Certificación de software de la raspberry

CERTIFICACIÓN DE SOFTWARE

UNIVERSIDAD SANTO TOMÁS

UNIDAD DE INVESTIGACIÓN

NIT. 860012357-6

CERTIFICA:

Una vez verificados los requerimientos de existencia y calidad de la tipología "Software" del Modelo de Medición de Grupos de Investigación, Desarrollo Tecnológico o de Innovación y del reconocimiento de investigadores del Sistema Nacional de Ciencia, Tecnología e Innovación de Colciencias. El siguiente producto cumple con todos los requerimientos exigidos:

Datos Software	
Tipo	Entidad productora (X) Proyecto Colciencias ()
Título del producto o proceso:	Aplicación de escritorio para lectura de datos del ADE 7978 con protocolo de comunicación I2C
Fecha de registro	
Número del registro aprobado por la Dirección Nacional de los Derechos de Autor:	
Descripción del análisis:	El software fue diseñado para adquirir datos del ADE 7978, creando una solución hecha en C++ y únicamente puede ser ejecutada en sistemas Linux basados en Raspbian
Diseño:	Se plantea el diseño de un software que permita la lectura de registros entregados por el ADE 7978 con el protocolo de comunicación I2C. Se realiza el tratamiento de datos a los registros entregados por el ADE 7978 aplicando en el STD IEEE1459 2010 en dichos registros. Finalmente, esta información se guarda en una Base de datos en MySql server. Este programa se ejecuta a través de un bash, llamando al archivo ejecutable i2c

A Anexo: Certificación de software de la raspberry

	Este programa se ejecuta y queda escuchando todos los cambios que ocurrán en la tarjeta hasta que se cancele el programa								
Implementación:	El software fue implementado utilizando el lenguaje de programación de bajo nivel C++, utilizando librerías externas y de código abierto mysql.h y bcm2835.h								
Validación	El sistema es validado con el funcionamiento completo del prototipo del medidor, el sistema es estable y continuo.								
Datos investigador (es)									
Proyecto de investigación)	Diseño e implementación de un medidor de energía trifásico								
Investigador principal o gestor	Kevin Fabian Carrillo Carrillo, German Andrés Sánchez Motta								
Investigador (es)	<table border="1" style="width: 100%; border-collapse: collapse;"> <thead> <tr> <th style="text-align: left;">Nombre</th><th style="text-align: left;">Identificación</th></tr> </thead> <tbody> <tr> <td>Kevin Fabian Carrillo Carrillo</td><td>1074134831</td></tr> <tr> <td>German Andrés Sánchez Motta</td><td>1026589195</td></tr> <tr> <td>Edwin Francisco Forero García</td><td>91490251</td></tr> </tbody> </table>	Nombre	Identificación	Kevin Fabian Carrillo Carrillo	1074134831	German Andrés Sánchez Motta	1026589195	Edwin Francisco Forero García	91490251
Nombre	Identificación								
Kevin Fabian Carrillo Carrillo	1074134831								
German Andrés Sánchez Motta	1026589195								
Edwin Francisco Forero García	91490251								
Grupo(s) de investigación	Grupo de investigación MEM (Modelado Electrónica y Monitoreo)								
Código GrupLAC									

□

Esta certificación se expide a solicitud del (los) interesado (s) el 5 de octubre del 2020 por el representante legal.

Atentamente,

Firma

Nombre

Cargo

Dirección

Teléfono

Figura A-1.: Certificación de software raspberry

B. Anexo: Certificación de software del servicio web(API)

CERTIFICACIÓN DE SOFTWARE

UNIVERSIDAD SANTO TOMÁS
UNIDAD DE INVESTIGACIÓN
NIT. 860012357-6

CERTIFICA:

Una vez verificados los requerimientos de existencia y calidad de la tipología "Software" del Modelo de Medición de Grupos de Investigación, Desarrollo Tecnológico o de Innovación y del reconocimiento de investigadores del Sistema Nacional de Ciencia, Tecnología e Innovación de Colciencias. El siguiente producto cumple con todos los requerimientos exigidos:

Datos Software	
Tipo	Entidad productora (X) Proyecto Colciencias ()
Título del producto o proceso:	API de consumo para obtener los valores del ADE 7978
Fecha de registro	
Número del registro aprobado por la Dirección Nacional de los Derechos de Autor:	
Descripción del análisis:	Se plantea el diseño de un servicio web que permita descargar la información de los registros del ADE 7978
Diseño:	El software fue diseñado para consultar la base de datos donde están almacenados los registros del ADE 7978 y exponerlos públicamente a través de un servicio
Implementación:	El servicio web fue implementado utilizando el lenguaje de programación JavaScript a través del framework node.js y utilizando la librería de npm MySql. Este servicio va a estar alojado en un servidor en la nube y se estará ejecutando a cada instante

B Anexo: Certificación de software del servicio web(API)

Validación	El sistema es validado con el funcionamiento completo del prototipo del medidor, el sistema es estable y continuo.	
Datos investigador (es)		
Proyecto de investigación)	Diseño e implementación de un medidor de energía trifásico	
Investigador principal o gestor	Kevin Fabian Carrillo Carrillo, German Andrés Sánchez Motta	
Investigador (es)	Nombre	Identificación
	Kevin Fabian Carrillo Carrillo	1074134831
	German Andrés Sánchez Motta	1026589195
	Edwin Francisco Forero Garcia	91490251
Grupo(s) de investigación	Grupo de investigación MEM (Modelado Electrónica y Monitoreo)	
Código GrupLAC		

Esta certificación se expide a solicitud del (los) interesado (s) el 5 de octubre del 2020 por el representante legal.

Atentamente,

Firma

Nombre

Cargo

Dirección

Teléfono

Figura B-1.: Certificación de software del servicio web

C. Anexo: Certificación de software de la página web

CERTIFICACIÓN DE SOFTWARE

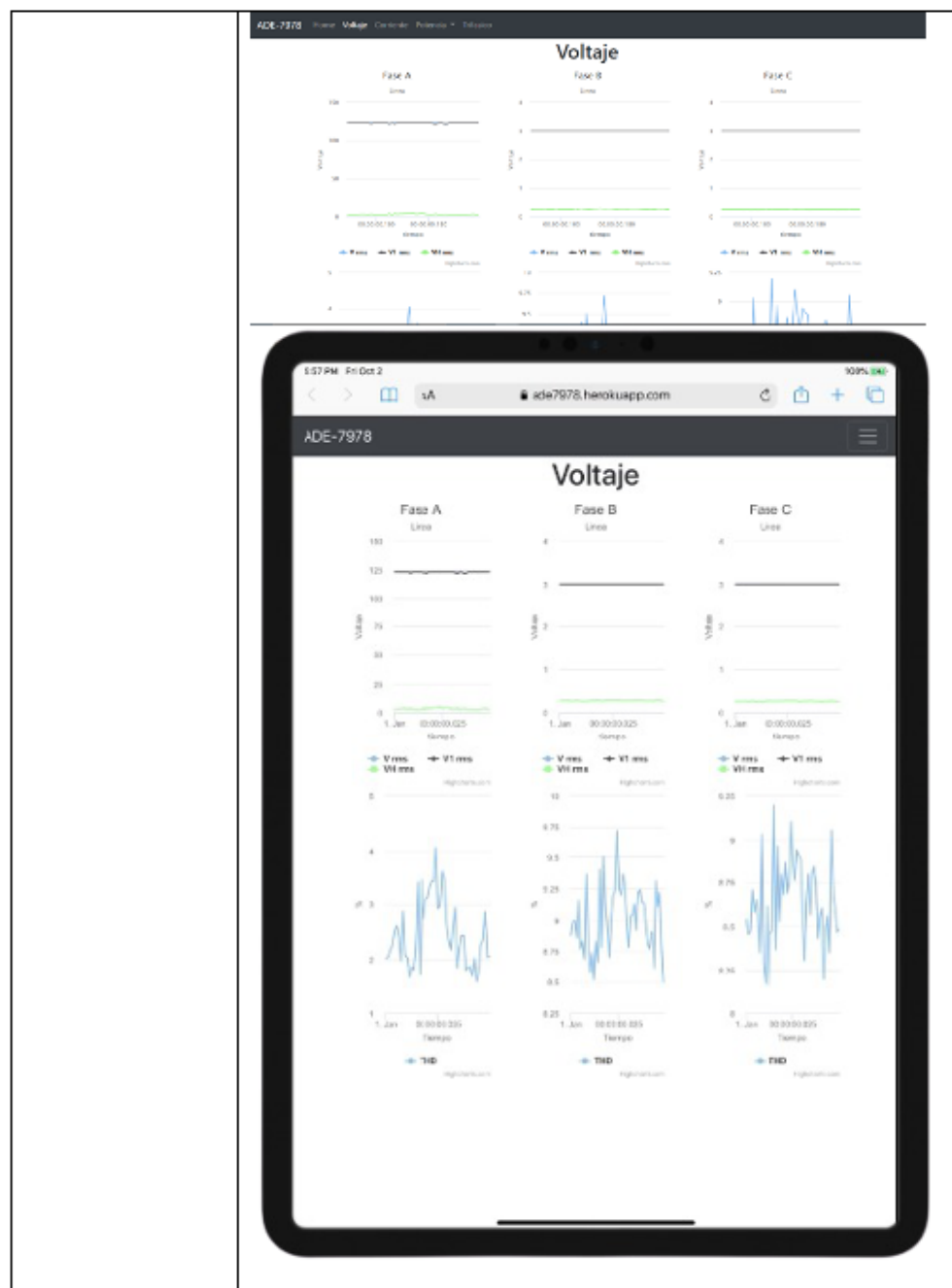
**UNIVERSIDAD SANTO TOMÁS
UNIDAD DE INVESTIGACIÓN
NIT. 860012357-6**

CERTIFICA:

Una vez verificados los requerimientos de existencia y calidad de la tipología "Software" del Modelo de Medición de Grupos de Investigación, Desarrollo Tecnológico o de Innovación y del reconocimiento de investigadores del Sistema Nacional de Ciencia, Tecnología e Innovación de Colciencias. El siguiente producto cumple con todos los requerimientos exigidos:

Datos Software	
Tipo	Entidad productora (X) Proyecto Colciencias ()
Título del producto o proceso:	Página web de mediciones energéticas ADE 7978
Fecha de registro	
Número del registro aprobado por la Dirección Nacional de los Derechos de Autor:	
Descripción del análisis:	Se plantea el diseño de una página web responsive donde puedan ser visualizados los valores en tiempo real de un medidor de energía.
Diseño:	El software fue diseñado para mostrar los valores de voltaje, corriente y potencias que son consumidos a través de una API
Implementación:	La página web se implementa utilizando el framework JavaScript Angular (10.0.5) donde se consume la API de los datos a mostrar y estos datos se visualizan en gráficas que se van refrescando cada segundo con los valores nuevos

C Anexo: Certificación de software de la página web



									
Validación	El sistema es validado con el funcionamiento completo del prototipo del medidor, el sistema es estable y continuo.								
Datos investigador (es)									
Proyecto de investigación)	Diseño e implementación de un medidor de energía trifásico								
Investigador principal o gestor	Kevin Fabian Carrillo Carrillo, German Andrés Sánchez Motta								
Investigador (es)	<table border="1" style="width: 100%; border-collapse: collapse;"> <thead> <tr> <th style="text-align: center;">Nombre</th><th style="text-align: center;">Identificación</th></tr> </thead> <tbody> <tr> <td>Kevin Fabian Carrillo Carrillo</td><td>1074134831</td></tr> <tr> <td>German Andrés Sánchez Motta</td><td>1026589195</td></tr> <tr> <td>Edwin Francisco Forero García</td><td>91490251</td></tr> </tbody> </table>	Nombre	Identificación	Kevin Fabian Carrillo Carrillo	1074134831	German Andrés Sánchez Motta	1026589195	Edwin Francisco Forero García	91490251
Nombre	Identificación								
Kevin Fabian Carrillo Carrillo	1074134831								
German Andrés Sánchez Motta	1026589195								
Edwin Francisco Forero García	91490251								
Grupo(s) de investigación	Grupo de investigación MEM (Modelado Electrónica y Monitoreo								
Código GrupLAC									

Esta certificación se expide a solicitud del (los) interesado (s) el 5 de octubre del 2020 por el representante legal.

Atentamente,

Firma

Nombre

Cargo

Dirección

Teléfono

Figura C-1.: Certificación de software de la página web